

Влияние радиуса пульсарной трубы на изгибное гамма излучение полярных областей радиопульсаров с недипольным магнитным полем

Барсуков Д.П., Цыган А.И.
ФТИ им. А.Ф. Иоффе РАН

Аннотация

Рассматривается влияние радиуса пульсарной трубы открытых силовых линий магнитного поля на изгибное гамма-излучение поллярных областей радиопульсара с недипольным магнитным полем. Пульсар рассматривается в модели "polar cap" со свободным истечением зарядов с поверхности нейтронной звезды. Учитывается влияние недипольности магнитного поля как на радиус кривизны силовых линий, так и на величину электрического поля. При рассмотрении генерации электрон-позитронных пар учитывается только рождение пар квантами изгибного излучения в магнитном поле. Показано, что наличие небольшой недипольности позволит радиопульсару не выключаться даже при значительном уменьшении радиуса пульсарной трубы. Например пульсар с $B = 10^{13}$ Гс и $P = 0.5$ сек при наличии 20% ($\nu = 0.2$) недипольности будет продолжать работать даже при уменьшении радиуса пульсарной трубы в 5 раз. Также показано, что в зависимости электростатического потенциала в диоде от параметра недипольности ν может наблюдаться максимум при значениях $\nu = 0.5 - 0.7$. Показано, что профиль импульса в нетеплового рентгеновского излучения при $\nu = 0.5 - 0.7$ может выглядеть практически также, как при $\nu = 0.1 - 0.2$.

Уменьшение радиуса пульсарной трубы может быть вызвано структурой токов в магнитосфере, которая приводит к тому, что пульсарный диод на поверхности нейтронной звезды занимает лишь малую часть пульсарной трубы, в остальной же части размещается внешний "annular gap" [1]. На размер пульсарной трубы влияет также наличие околопульсарного диска. Рассмотрено влияние на гамма-излучение поллярных областей радиопульсара с недипольным магнитным полем околопульсарного диска в модели [2]. Рассмотрен также случай, когда изменение радиуса пульсарной трубы вызвано внешним магнитным полем [3]. В качестве источника магнитного поля может выступать как магнитный белый карлик, так и околопульсарный диск. Рассматривается также случай увеличения радиуса пульсарной трубы, что по-видимому также может быть вызвано токами в магнитосфере [4], околопульсарным диском [5] или внешним магнитным полем [3].

Работа поддержана программой "Ведущие научные школы РФ"(грант НШ-9879.2006.2).

- радиопульсар рассматривается согласно модели Голдрайха-Джулиана со свободным истечением электронов с поверхности нейтронной звезды
- пульсарный диод располагается на поверхности нейтронной звезды (модель "polar cap")

Изменение радиуса пульсарной трубы

Искажение магнитосферы радиопульсара учитывается только в изменении радиуса пульсарной трубы $\theta_0 a$. Всюду считается, что сечение пульсарной трубы имеет форму круга и не учитывается смещение центра пульсарной трубы относительно оси главного диполя \vec{m} . Параметр d описывает уменьшение радиуса пульсарной трубы по сравнению с его значением в случае чисто дипольного магнитного поля.

$$d = \frac{\theta_0}{\theta_{0 \text{ dip}}}, \text{ где } \theta_{0 \text{ dip}} = \sqrt{\frac{\Omega a}{c}}$$

При этом поток магнитного поля F через пульсарную трубку считается равным:

$$F = F_{\text{dip}} d^2, \text{ где } F_{\text{dip}} = B_0 \pi \theta_0^2 a^2$$

здесь F_{dip} – величина потока магнитного поля через пульсарную трубку в случае чисто дипольного магнитного поля.

Все рассмотренные далее варианты искаженной трубы симметричны относительно плоскости $(\vec{\Omega}, \vec{m})$. Поэтому радиус пульсарной трубы находится следующим образом. А именно, ищутся силовые линии магнитного поля начинающиеся в точках

$$\vec{x} = a (\vec{e}_m \cos \mu + \vec{e}_n \sin \mu), \quad 0 \leq \mu \leq 2\pi$$

здесь a – радиус нейтронной звезды, $\vec{e}_m = \frac{\vec{m}}{m}$ – единичный вектор вдоль оси главного диполя, \vec{e}_n – единичный вектор, перпендикулярный векторам $\vec{\Omega}$ и \vec{m} . В качестве угла θ_0 , обозначающего границу пульсарной трубы, берется значение μ , соответствующее последней силовой линии не пересекающей световой цилиндр.

Влияние внешнего магнитного поля

Влияние внешнего магнитного поля на работу радиопульсара с дипольным магнитным полем было рассмотрено в [3].

Для нахождения радиуса пульсарной трубки ищутся силовые линии магнитного поля [3]:

$$\vec{B}(\vec{r}) = \frac{3(\vec{m}\vec{r})\vec{r} - \vec{m}r^2}{r^5} + \vec{B}_c$$

вектор \vec{B}_c лежит в плоскости векторов \vec{m} и $\vec{\Omega}$,
 β – угол между вектором \vec{B}_c и осью вращения пульсара $\vec{\Omega}$,

$$\alpha_b = \frac{B_c}{B_0} \left(\frac{\Omega a}{c} \right)^{-3}$$

В случае когда у нас есть осевая симметрия, уравнение силовых линий можно найти аналитически и радиус пульсарной трубы оказывается равным [3]

$$d = \sqrt{\frac{1 - \alpha_b}{1 - \frac{\alpha_b}{\eta_{LC}^3}}}, \text{ при } \beta = \pi$$

$$d = \max \left(\sqrt[6]{\frac{27}{4} \frac{\alpha_b}{1 + \frac{\alpha_b}{\eta_{LC}^3}}}, \sqrt{\frac{1 + \alpha_b}{1 + \frac{\alpha_b}{\eta_{LC}^3}}} \right), \text{ при } \beta = 0$$

здесь η_{LC} – радиус светового цилиндра (измеренный в радиусах нейтронной звезды)

$$\eta_{LC} = \left(\frac{\Omega a}{c} \right)^{-1}$$

здесь $2\alpha_b$ – отношение напряженности магнитного поля B_c к напряженности поля главного диполя на световом цилиндре в точке касания его последней замкнутой силовой линией.

Влияние околопульсарного диска

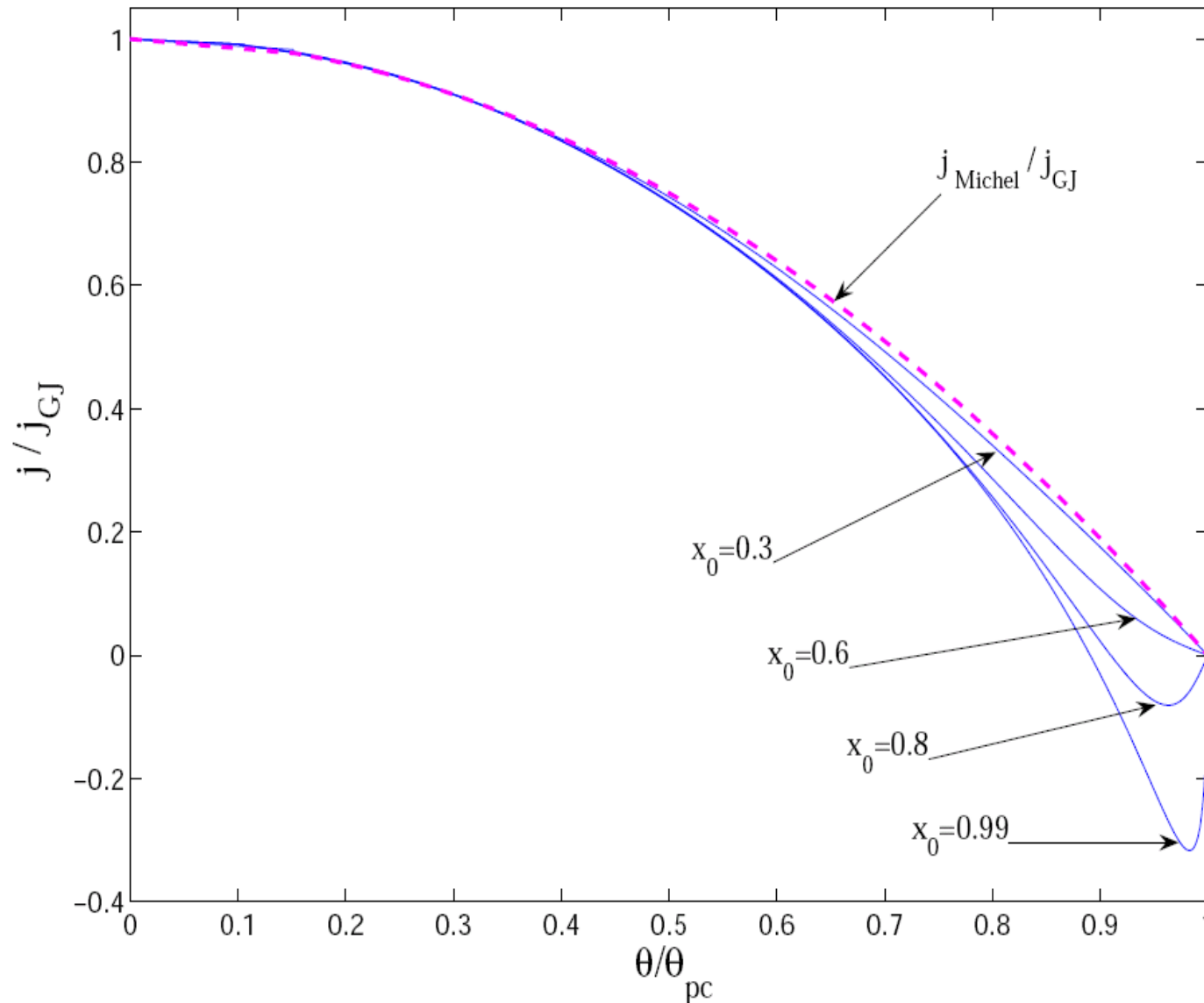
В случае если вблизи радиопульсара находится околопульсарный диск, то его взаимодействие с магнитосферой пульсара может приводить к появлению электрических токов, что в некоторых ситуациях может вызвать изменение всей структуры магнитосферы и, как минимум, радиуса пульсарной трубы [2, 7, 8, 5]. В данной работе рассматривается влияние диска только в модели [2]. При нахождении радиуса пульсарной трубы магнитное поле считается равным

$$B_r = \frac{2m}{r^3} \left(\sin \theta \cos \phi \sin \chi + \frac{2}{\pi} \cos \chi \cos \theta \left(\arctan(X) + \frac{1 - Y}{X} \right) \right)$$
$$B_\theta = \frac{m}{r^3} \left(-\cos \theta \cos \phi \sin \chi + \frac{2}{\pi} \cos \chi \sin \theta \left(\arctan(X) + \frac{\operatorname{ctg}^2 \theta}{X} \left(\frac{Y X^2}{\cos^2 \theta} \frac{r^2 + b^2}{b^2} - 1 \right) \right) \right)$$
$$B_\phi = \frac{m}{r^3} \sin \phi \sin \chi$$

$$X = b |\cos \theta| \sqrt{2 / ((r^2 - b^2) + r^2 / Y)}, \quad Y = r^2 / \sqrt{(r^2 - b^2)^2 + 4b^2 r^2 \cos^2 \theta}$$

здесь все величины даны в сферической системе координат (r, θ, ϕ) с осью Oz направленной вдоль оси вращения пульсара $\vec{\Omega}$, b – внутренний радиус диска.

Влияние магнитосферных токов



В работе [1] был найден профиль тока в пульсарной трубке. Видно, что он очень похож на профиль тока, соответствующего модели кольцевого зазора.

- влияние внешних факторов на структуру магнитосферы пульсара учитывается только в изменении радиуса пульсарной трубы
- сечение пульсарной трубы всюду считается кругом
- пренебрегается сдвигом центра пульсарной трубы относительно оси главного диполя

Недипольное магнитное поле

Недипольность магнитного поля описывается используя следующую модель [6]. Предполагается, что нейтронная звезда радиуса a обладает магнитным дипольным моментом \vec{m} (так что поле на её магнитном полюсе равно $B_0 = 2m/a^3$). Угол между вектором \vec{m} и осью вращения пульсара $\vec{\Omega}$ считается равным χ . В дальнейшем всюду предполагается $\chi = 10^\circ$.

На расстоянии $a \Delta$ ($\Delta < 1$) от поверхности (вглубь зезды) в области полюса нейтронной звезды располагается дополнительный магнитный диполь с магнитным моментом \vec{m}_1 . Вектор \vec{m}_1 перпендикулярен вектору \vec{m} , угол между \vec{m}_1 и плоскостью $(\vec{\Omega}, \vec{m})$ равен γ . Параметр Δ всюду в дальнейшем полагается равным 0.1, что примерно соответствует толщине коры нейтронной звезды, и как предполагается, не приводит к быстрому распаду дополнительного диполя \vec{m}_1 .

Введем сферическую систему координат ($\eta = r/a$, θ , ϕ). При этом направим ось z — вдоль вектора \vec{m} , а ось x — вдоль вектора \vec{m}_1 . Тогда используя малоугловое приближение $\theta \ll 1$ выражение для суммарного магнитного поля $\vec{B} = \vec{B}_0 + \vec{B}_1$ записывается в следующем виде:

$$B_r = \frac{B_0}{\eta^3}, \quad B_\theta = \frac{B_0}{\eta^3} \left(\frac{\theta}{2} + \mu \cos \phi \right), \quad B_\phi = -\frac{B_0}{\eta^3} \mu \sin \phi$$

где $\mu = \nu \left(\frac{\Delta \eta}{\eta - 1 + \Delta} \right)^3$, $\nu = B_1/B_0$

Для нахождения кривизны силовых линий магнитного поля используется

$$\rho_c = 2\eta a \left(\frac{3}{2}\theta + \mu \left(\left(\frac{3(1 - \Delta)}{\eta - 1 + \Delta} \right) - \frac{1}{2} \right) \right)^{-1}$$

Электрическое поле

В случае тонкой пульсарной трубки (когда высота диода $z_c = \eta_c - 1$ много больше радиуса трубы θ_s) электростатический потенциал может быть записан в следующем виде [9]:

$$\Phi = \frac{\Omega F}{2\pi c} (1 - \xi^2) \left(\left(1 - \frac{k}{\eta^3} \right) f(\eta) - (1 - k)f(1) \right)$$

где F – магнитный поток через пульсарную трубку, ξ – расстояние поперек трубы ($\xi = 1$ соответствует границе трубы, а $\xi = 0$ – центральной силовой линии магнитного поля)

$$f(\eta) = (\cos \chi + \mu \sin \chi \cos \gamma) \frac{1}{\sqrt{1 + \mu^2}}$$

плотность электрического заряда в трубке можно найти по формуле (8) из [9]

$$\rho = \frac{\Omega B}{2\pi c} (1 - k)f(1)$$

здесь B – значение напряженности магнитного поля в точке (η, ξ, ϕ) .

Электрическое поле

В случае если $z_c \ll 1$, $z_c \ll \Delta$, $\theta \ll 1$ и $\sin \beta \ll \frac{\theta_s}{z_c}$ или $\frac{z_c}{\theta_s}$, где β – угол между вектором магнитного поля и поверхностью нейтронной звезды, потенциал (10) из [9] может быть переписан в следующем виде:

$$\Phi = 2\Phi_0 K_1 \sum_{i=1}^{\infty} \frac{1}{\gamma_i^2} \left(z + \frac{F(z, \gamma_i)}{\gamma_i} \right) \frac{2}{k_i J_1(k_i)} J_0(k_i \xi)$$

где $\Phi_0 = \frac{\Omega a}{c} B_s a$, B_s – величина магнитного поля в точке ($\eta = 1$, $\xi = 0$, $\phi = 0$), $\theta_s a$ – радиус пульсарной трубы (на поверхности нейтронной звезды), χ – угол между \vec{m} и $\vec{\Omega}$, $\gamma_i = \frac{k_i}{\theta_s}$ и k_i – корни уравнения $J_0(k) = 0$

$$F(z, \gamma) = - \frac{(1 - e^{-\gamma z}) (1 + e^{-\gamma(z_c - z)})}{1 + e^{-\gamma z_c}}$$

$$\begin{aligned} K_0 &= \frac{1}{\sqrt{1 + \nu^2}} \left((1 - k) \cos \chi + (1 + \frac{k}{2}) \nu \sin \chi \cos \gamma \right) \\ K_1 &= \frac{1}{\sqrt{1 + \nu^2}} \left(3k + \frac{3\nu}{\Delta} \frac{\nu}{1 + \nu^2} (1 - \Delta)(1 - k) \right) \cos \chi \\ &\quad - \frac{3\nu}{\Delta} \frac{1}{(1 + \nu^2)^{3/2}} \left(1 - \Delta + \frac{k}{2} + \frac{k}{2} \nu^2 \Delta \right) \sin \chi \cos \gamma \end{aligned}$$

и плотность электрического заряда в трубке вычисляется по следующей формуле

$$\rho = \frac{\Omega B}{2\pi c} A(\xi) \quad A(\xi) = -K_0 - K_1 \sum_{i=0}^{\infty} \frac{1}{\gamma_i} \frac{1 - e^{-\gamma_i z_c}}{1 + e^{-\gamma_i z_c}} \frac{2}{k_i J_1(k_i)} J_0(k_i \xi)$$

Изгибное излучение

Интенсивность изгибного излучения вычисляется по следующей формуле:

$$\frac{dN}{dtd\gamma} = \frac{\sqrt{3}}{2\pi} \alpha_F \frac{c}{\rho_c} \beta \Gamma F \left(\frac{\gamma}{\gamma_c} \right) \frac{1}{\gamma_c}$$

$$\gamma_c = \frac{3}{4\pi} \frac{\lambda_c}{\rho_c} \beta \Gamma^3$$

$$F(\xi) = \int_{\xi}^{+\infty} K_{5/3}(s) ds$$

здесь $\frac{dN}{dtd\gamma} d\gamma$ – число фотонов с энергией γ в интервале $d\gamma$, испускаемых электроном в точке x за 1 с,

$\gamma = \frac{\hbar\omega}{mc^2}$ – энергия фотона в единицах mc^2 , ω – его частота, Γ – лоренц-фактор электрона в точке x ,

$\beta = \frac{\sqrt{\Gamma^2 - 1}}{\Gamma}$, $\lambda_c = \frac{h}{mc^2}$ – комптоновская длина волны электрона, α_F – постоянная тонкой структуры,

ρ_c – радиус кривизны силовых линий магнитного поля в точке x .

Коэффициент поглощения фотона

При вычислении коэффициента поглощения фотона, используется следующее выражение:

$$k(x, \gamma, \Psi) = \frac{3}{16} \sqrt{\frac{3}{2}} \alpha_F \frac{2\pi}{\lambda_c} \frac{B}{B_{cr}} \sin \Psi \exp \left(-\frac{8}{3} \frac{B_{cr}}{B\gamma \sin \Psi} \right)$$

где γ – энергия фотона в единицах mc^2 , $B = B(x)$ – величина магнитного поля в точке x , Ψ – угол между импульсом гамма-кванта и вектором магнитного поля \vec{B} . При $\gamma \leq 2$ коэффициент k считается равным нулю.

$$k(x, \gamma, \Psi) = 0 , \text{ при } \gamma \leq 2$$

нужно отметить, что данное выражение не корректно вблизи порога

$$\gamma \sin \Psi \sim 2 \div 4$$

Высота верхней обкладки пульсарного диода

Высота верхней обкладки пульсарного диода z_c выбирается таким образом, чтобы коэффициент умножения электрон-позитронных пар Q был равен 0.1 в точке $(z = z_c, \xi = \frac{1}{2}, \phi = 0)$

$$Q \left(z = z_c, \xi = \frac{1}{2}, \phi = 0 \right) = 0.1$$

Если в интервале $0 \leq z_c < 2$ не удалось найти значения z_c удовлетворяющего вышеприведенному условию, то пульсар считается выключенным. В этом случае при нахождении интенсивности гамма-излучения формально полагалось значение z_c равное 2

$$z_c = 2$$

- при нахождении интенсивности гамма-излучения пульсара учитывается только изгибное излучение первичных позитронов
- при нахождении высоты верхней обкладки пульсарного диода учитывается только генерация электрон-позитронных пар, связанная с поглощением в магнитном поле фотонов изгибного излучения первичных электронов
- при нахождении коэффициента умножения Q электрон-позитронных пар и интенсивности гамма-излучения магнитное поле считается чисто дипольным на больших высотах (и совпадающим с полем главного диполя \vec{m})
- не учитывается рост потенциала вызванный Аронсовским членом на больших высотах для выключенных радиопульсаров
- пренебрегается всеми эффектами ОТО, кроме учета вклада общерелятивистского эффекта увлечения инерциальных систем отсчета в электрическое поле

Используемые значения параметров

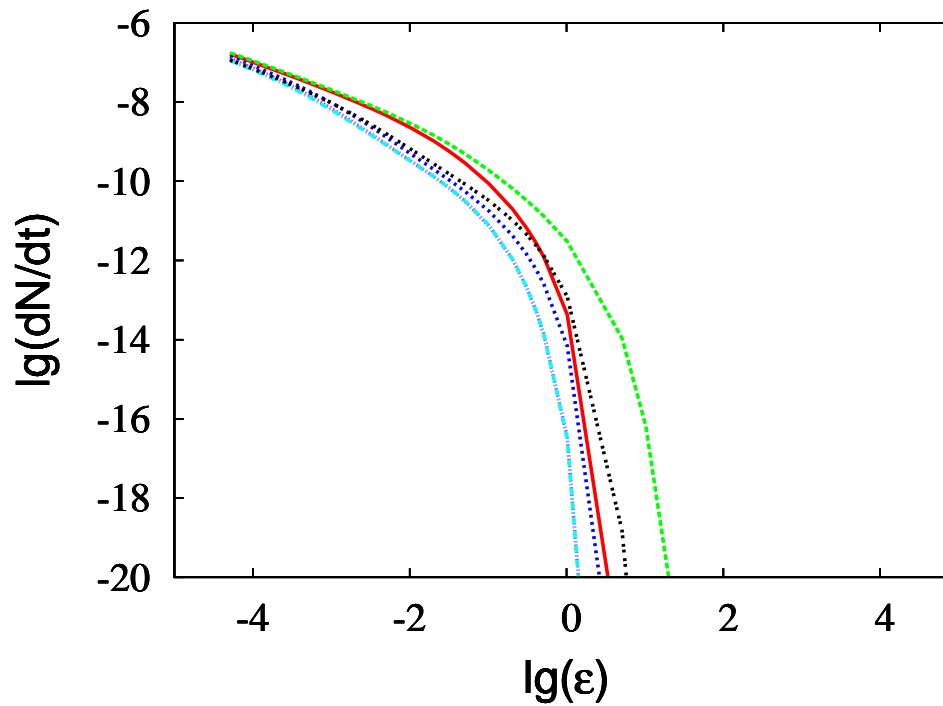
$$B = 0.2 \ B_{cr}, \ P = 0.5 \text{ c}$$

$$\chi = 10^\circ, \Delta = 0.1, \ k = 0.15$$

ν	$z_c, 10^{-2}$	$\Gamma, 10^5$	ν	$z_c, 10^{-2}$	$\Gamma, 10^5$
$d = 0.2, \gamma = \pi$			$d = 0.2, \gamma = \frac{\pi}{2}$		
0.0	200.0	26.1	0.0	200.0	26.1
0.1	200.0	29.5	0.1	200.0	26.8
0.2	2.72	9.77	0.2	5.21	11.5
0.3	1.54	7.87	0.3	2.23	7.71
0.4	1.15	7.50	0.4	1.50	7.13
0.5	0.98	7.79	0.5	1.21	7.32
0.6	0.94	8.83	0.6	1.10	8.18
0.7	1.05	11.7	0.7	1.16	10.4
0.8	0.79	8.69	0.8	0.98	9.30
$d = 0.363, \gamma = \pi, \frac{\Omega b}{c} = \frac{1}{3}$			$d = 0.5, \gamma = \pi$		
0.0	200.0	85.9	0.0	200.0	163.0
0.1	3.21	14.5	0.1	1.93	14.1
0.2	1.31	9.49	0.2	1.12	9.35
0.3	0.94	8.17	0.3	0.85	8.01
0.4	0.78	7.91	0.4	0.72	7.78
0.5	0.70	8.43	0.5	0.66	8.41
0.6	0.70	10.4	0.6	0.67	11.0
0.7	0.73	13.4	0.7	0.61	10.3
0.8	0.54	7.56	0.8	0.50	6.96

ν	$z_c, 10^{-2}$	$\Gamma, 10^5$	ν	$z_c, 10^{-2}$	$\Gamma, 10^5$
$d = 0.71, \gamma = \pi, \alpha_b = \frac{1}{2}, \beta = \pi$			$d = 1.0, \gamma = \pi$		
0.0	45.3	230.0	0.0	14.7	248.0
0.1	1.59	13.5	0.1	1.47	12.9
0.2	1.03	8.99	0.2	0.90	8.74
0.3	0.81	7.76	0.3	0.80	7.72
0.4	0.69	7.64	0.4	0.70	7.80
0.5	0.65	8.48	0.5	0.66	9.03
0.6	0.68	12.4	0.6	0.75	16.8
0.7	0.56	8.62	0.7	0.54	7.63
$d = 1.22, \gamma = \pi, \alpha_b = \frac{1}{2}, \beta = 0$			$d = 1.5, \gamma = \pi$		
0.0	9.47	239.0	0.0	6.0	245.0
0.1	1.44	12.6	0.1	1.42	12.5
0.2	0.99	8.73	0.2	1.0	8.88
0.3	0.81	7.85	0.3	0.81	8.15
0.4	0.71	8.08	0.4	0.72	8.61
0.5	0.68	9.79	0.5	0.71	11.3
0.6	0.67	12.5	0.6	0.62	9.65
0.7	0.53	7.22	0.7	0.51	6.86

Гамма-излучение пульсарной трубы



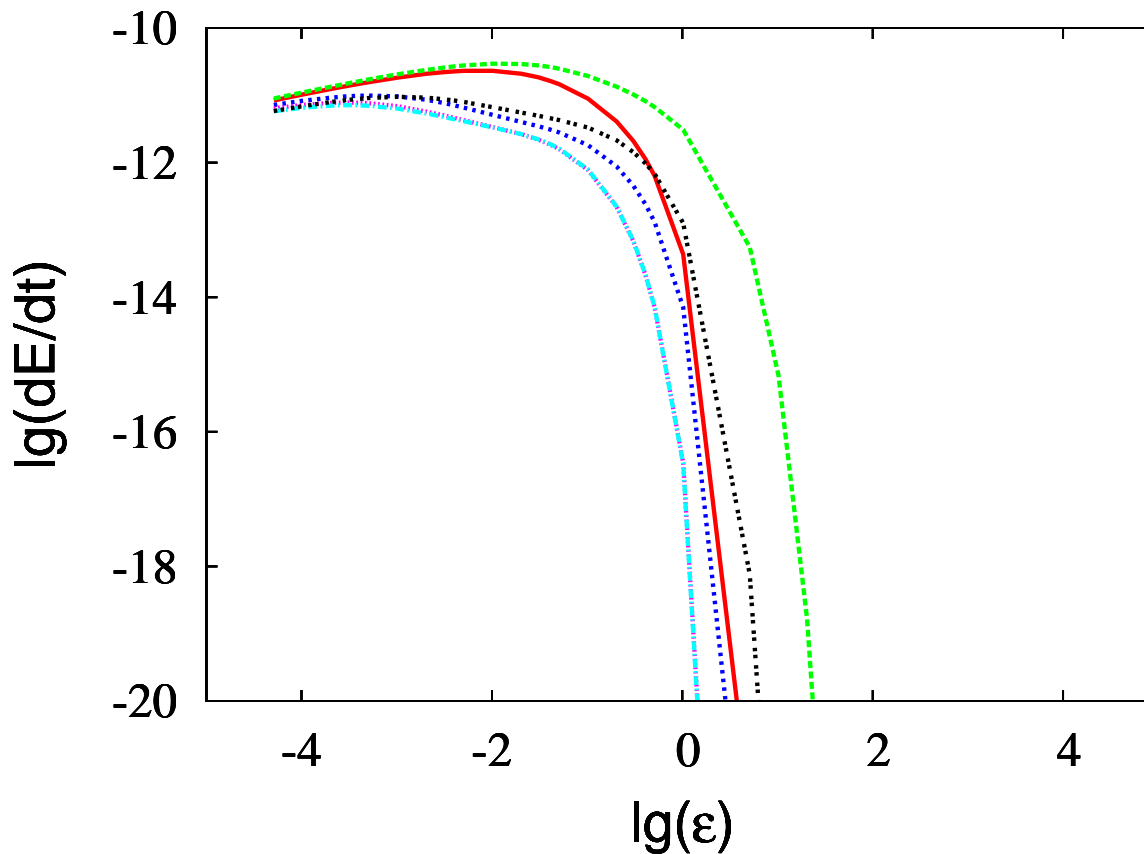
Усредненный по времени спектр гамма-излучения пульсарной трубы для

$B = 0.2$, $P = 0.5$, $\chi = 10^\circ$, $k = 0.15$, $\Delta = 0.1$, $\gamma = \pi$, $d = 0.2$

Сплошная (красная) кривая соответствует дипольному полю ($\nu = 0$), штриховая с длинным штрихом (зеленая)– $\nu = 0.1$, штриховая с коротким штрихом (синяя)– $\nu = 0.2$, пунктирная (фиолетовая)– $\nu = 0.3$, штрих-пунктирная (сине-зеленая)– $\nu = 0.5$, пунктирная со сдвоенным пунктиром (черная)– $\nu = 0.7$.

Интенсивность гамма-излучения $\frac{dN}{dt}$ измеряется в принимаемом потоке $\frac{\text{Фотон}}{\text{см}^2 \text{сек МэВ}}$ от источника, находящегося на расстоянии 1кпс. Энергия фотонов ϵ измеряется в МэВ.

Для случаев $\nu = 0$ и $\nu = 0.1$ показана оценка интенсивности гамма-излучения снизу – пульсар выключен по генерации электрон-позитронных пар изгибным излучением в магнитном поле.



Усредненный по времени спектр гамма-излучения пульсарной трубы для

$B = 0.2, P = 0.5, \chi = 10^\circ, k = 0.15, \Delta = 0.1, \gamma = \pi, d = 0.2$

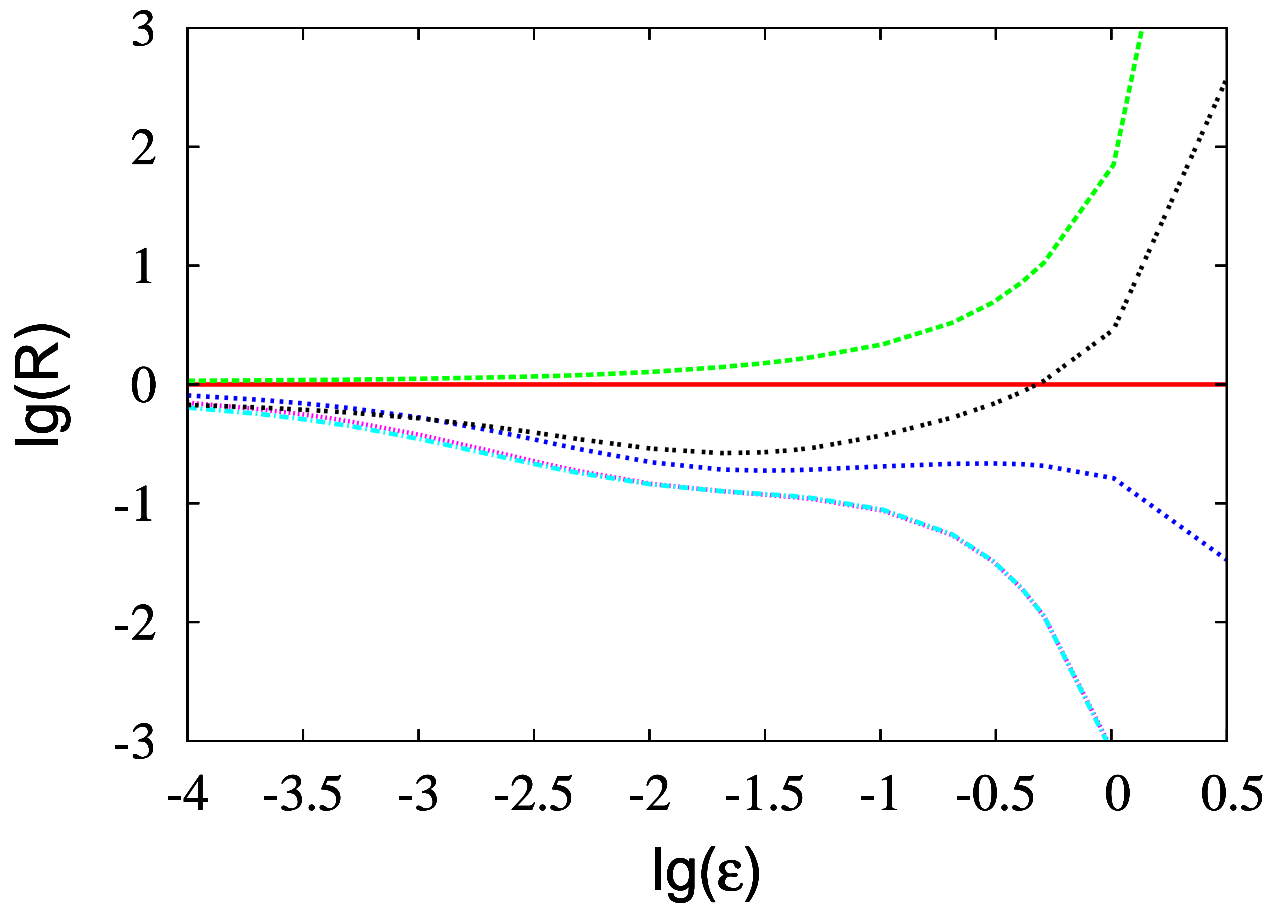
Угол между лучом зрения и осью вращения пульсара равен 10° ,

Сплошная (красная) кривая соответствует дипольному полю ($\nu = 0$), штриховая с длинным штрихом (зеленая)— $\nu = 0.1$, штриховая с коротким штрихом (синяя)— $\nu = 0.2$, пунктирная (фиолетовая)— $\nu = 0.3$, штрих-пунктирная (сине-зеленая)— $\nu = 0.5$, пунктирная со сдвоенным пунктиром (черная)— $\nu = 0.7$.

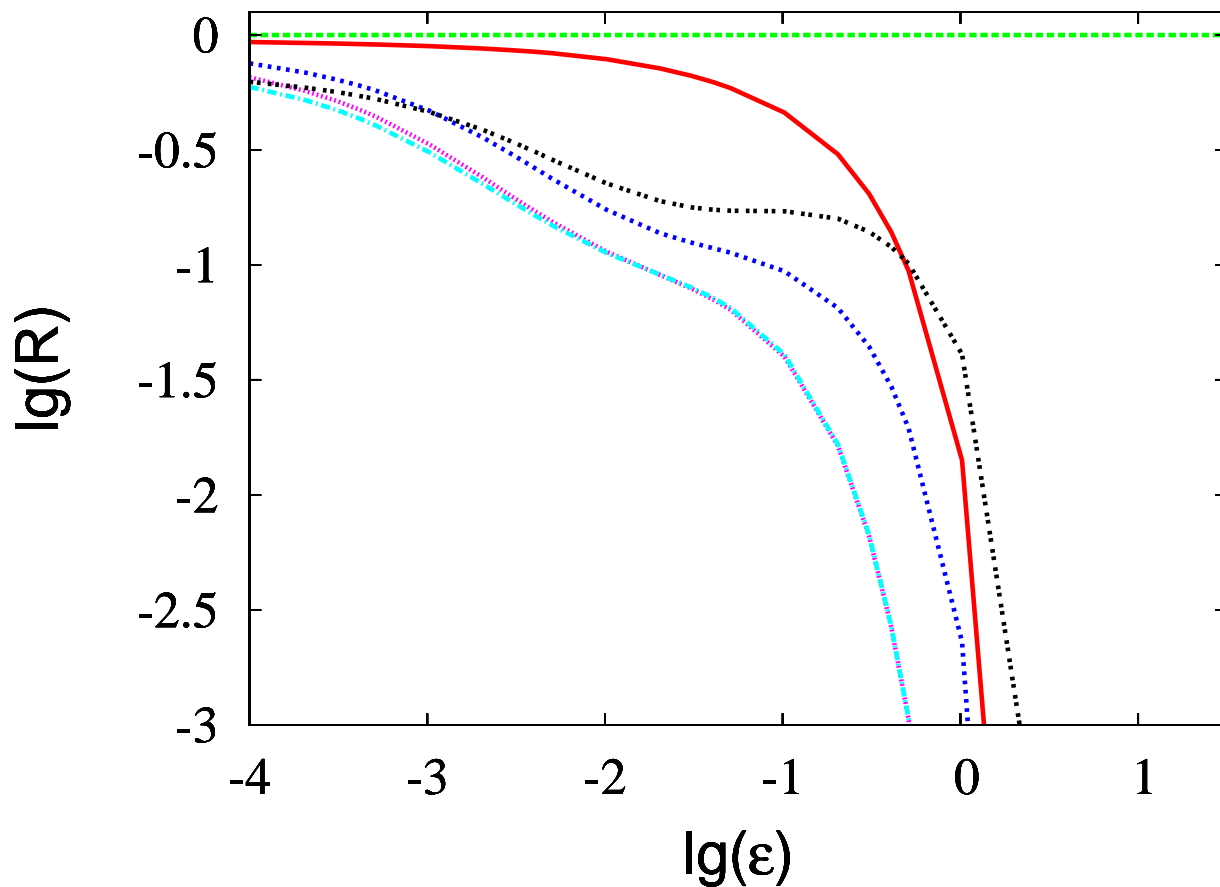
Интенсивность гамма-излучения $\frac{dE}{dt}$ измеряется в принимаемой энергии $\frac{\text{МэВ}}{\text{см}^2 \text{сек МэВ}}$ от источника,

находящегося на расстоянии 1кпс. Энергия фотонов ϵ измеряется в МэВ.

Для случаев $\nu = 0$ и $\nu = 0.1$ показана оценка интенсивности гамма-излучения снизу— пульсар выключен по генерации электрон-позитронных пар изгибным излучением в магнитном поле.



Отношение R интенсивностей гамма-излучения к интенсивности для чисто дипольного случае $\nu = 0.0$.
 $B = 0.2$, $P = 0.5$, $\chi = 10^\circ$, $k = 0.15$, $\Delta = 0.1$, $\gamma = \pi$, $d = 0.2$
Угол между лучом зрения и осью вращения пульсара равен 10° ,
Сплошная (красная) кривая соответствует дипольному полю ($\nu = 0$), штриховая с длинным штрихом (зеленая)– $\nu = 0.1$, штриховая с коротким штрихом (синяя)– $\nu = 0.2$, пунктирная (фиолетовая)– $\nu = 0.3$, штрих-пунктирная (сине-зеленая)– $\nu = 0.5$, пунктирная со сдвоенным пунктиром (черная)– $\nu = 0.7$.

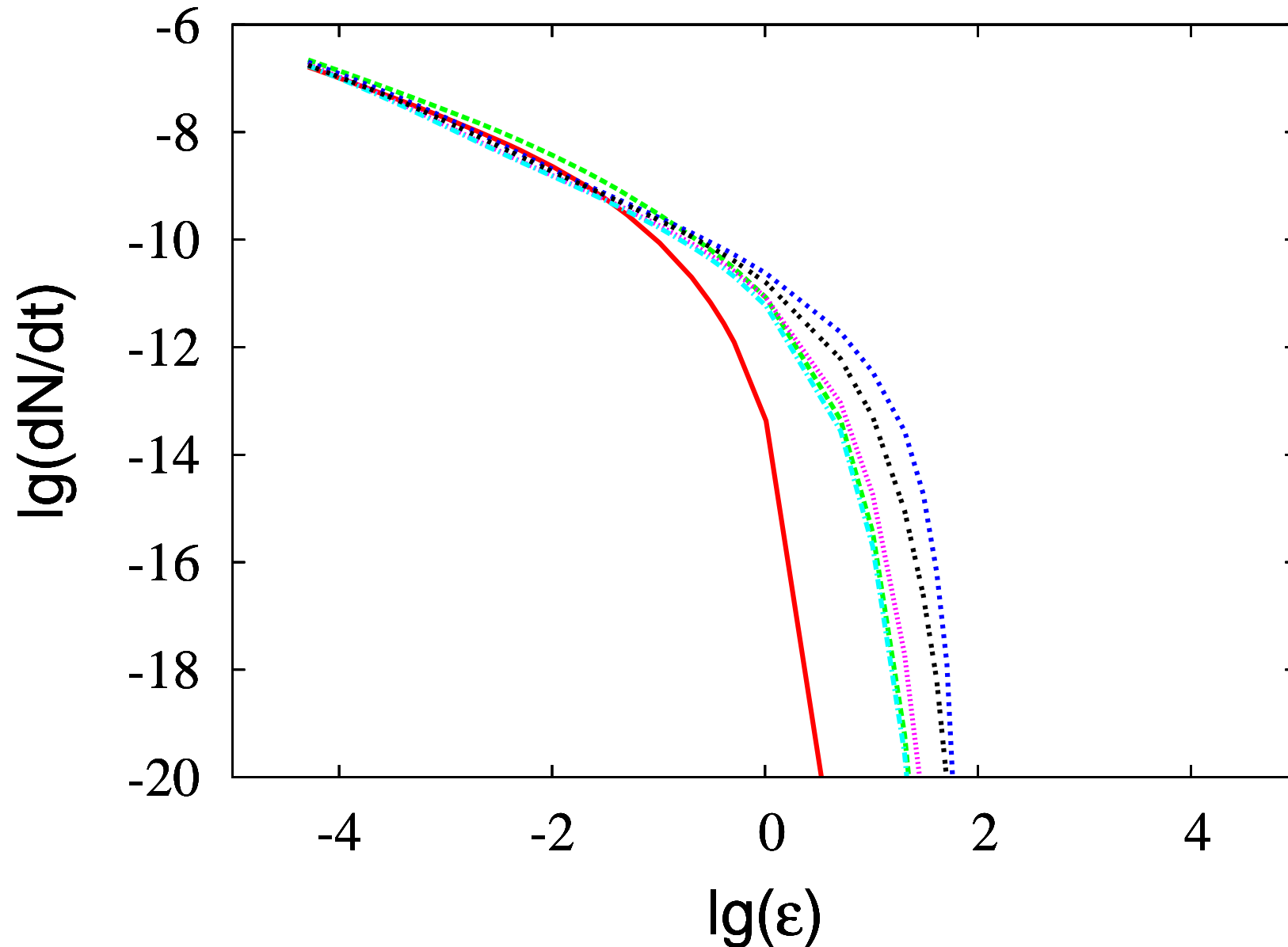


Отношение R интенсивностей гамма-излучения к интенсивности для случая $\nu = 0.1$.

$B = 0.2$, $P = 0.5$, $\chi = 10^\circ$, $k = 0.15$, $\Delta = 0.1$, $\gamma = \pi$, $d = 0.2$

Угол между лучом зрения и осью вращения пульсара равен 10° ,

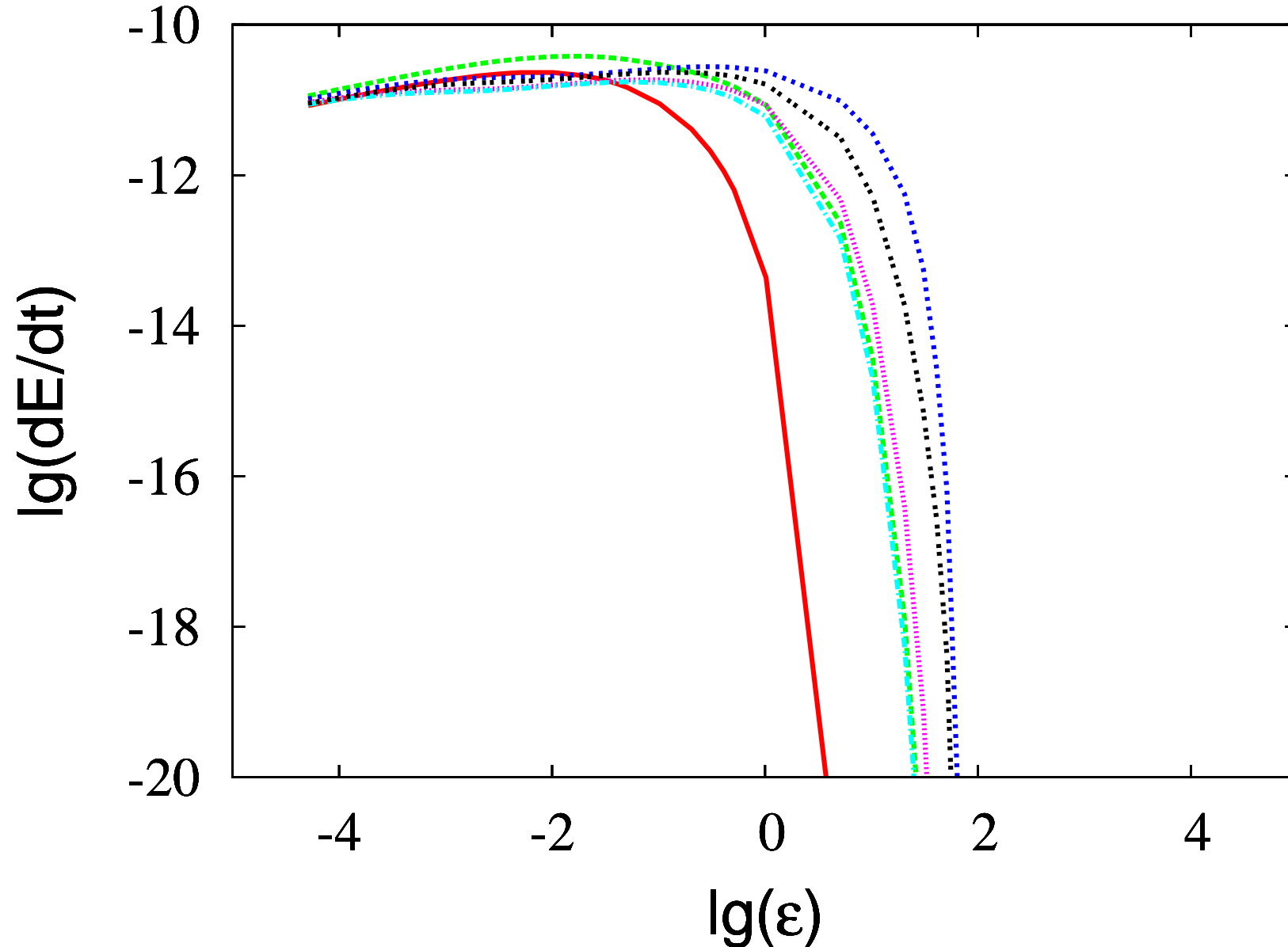
Сплошная (красная) кривая соответствует дипольному полю ($\nu = 0$), штриховая с длинным штрихом (зеленая)– $\nu = 0.1$, штриховая с коротким штрихом (синяя)– $\nu = 0.2$, пунктирная (фиолетовая)– $\nu = 0.3$, штрих-пунктирная (сине-зеленая)– $\nu = 0.5$, пунктирная со сдвоенным пунктиром (черная)– $\nu = 0.7$.



То же, что на рис.1

$B = 0.2, P = 0.5, \chi = 10^\circ, k = 0.15, \Delta = 0.1, \gamma = \frac{\pi}{2}, d = 0.2$

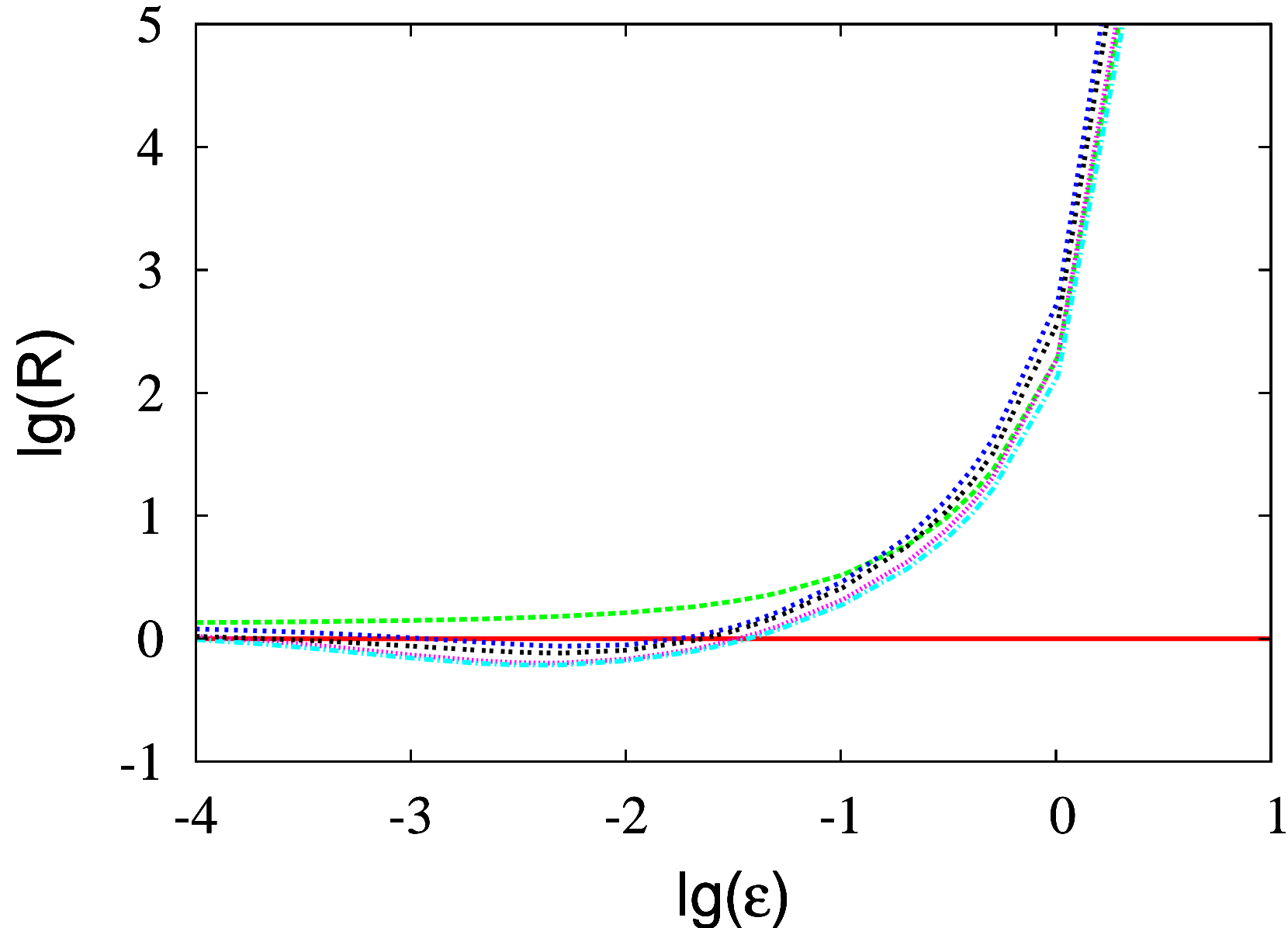
Для случаев $\nu = 0$ и $\nu = 0.1$ – пульсар выключен.



То же, что на рис.2

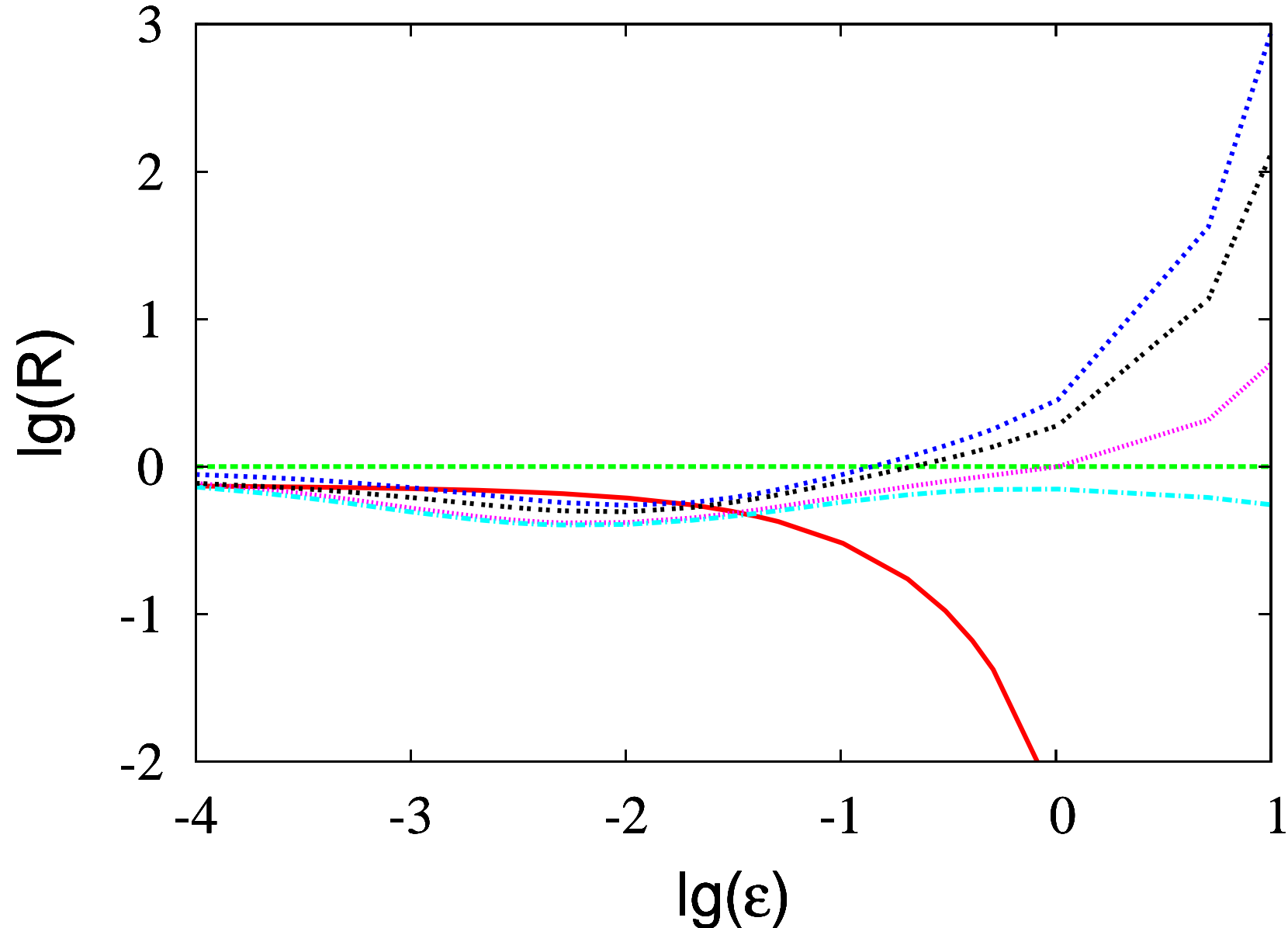
$B = 0.2, P = 0.5, \chi = 10^\circ, k = 0.15, \Delta = 0.1, \gamma = \frac{\pi}{2}, d = 0.2$

Для случаев $\nu = 0$ и $\nu = 0.1$ – пульсар выключен.



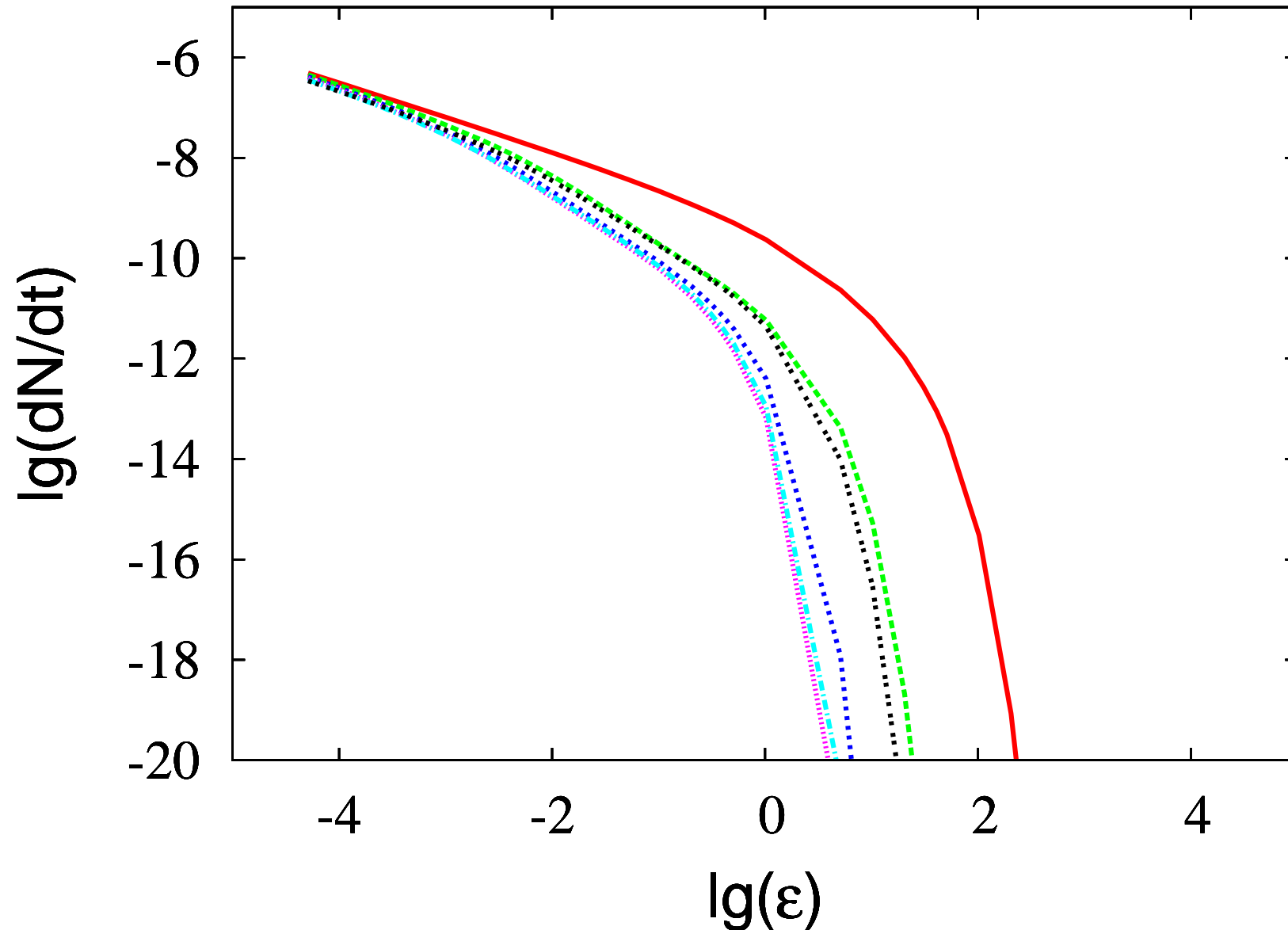
То же, что на рис.3

$$B = 0.2, P = 0.5, \chi = 10^\circ, k = 0.15, \Delta = 0.1, \gamma = \frac{\pi}{2}, d = 0.2$$



То же, что на рис.4

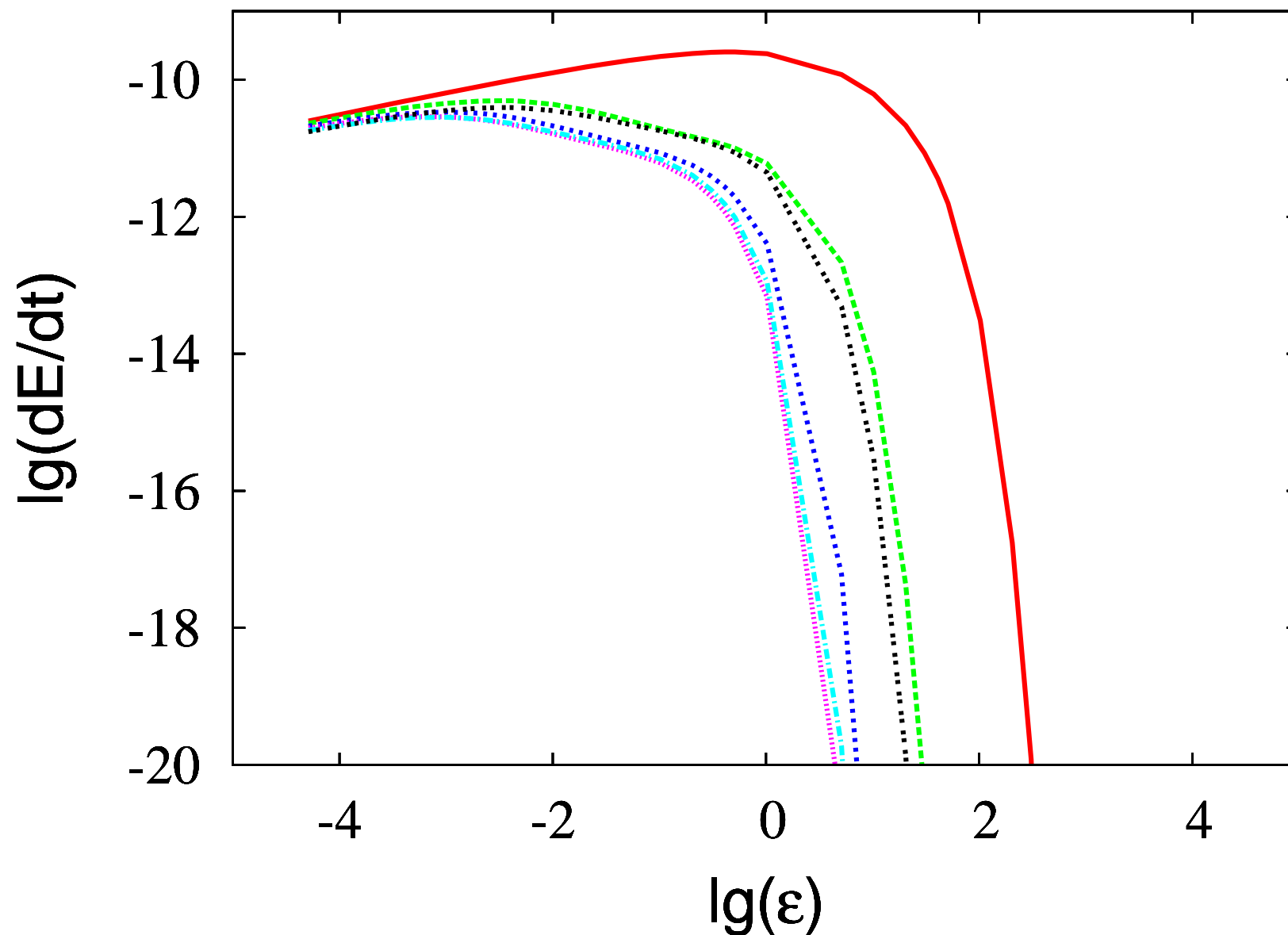
$$B = 0.2, P = 0.5, \chi = 10^\circ, k = 0.15, \Delta = 0.1, \gamma = \frac{\pi}{2}, d = 0.2$$



То же, что на рис.1

$B = 0.2, P = 0.5, \chi = 10^\circ, k = 0.15, \Delta = 0.1, \gamma = \pi, d = 0.363, \frac{\Omega b}{c} = \frac{1}{3}$

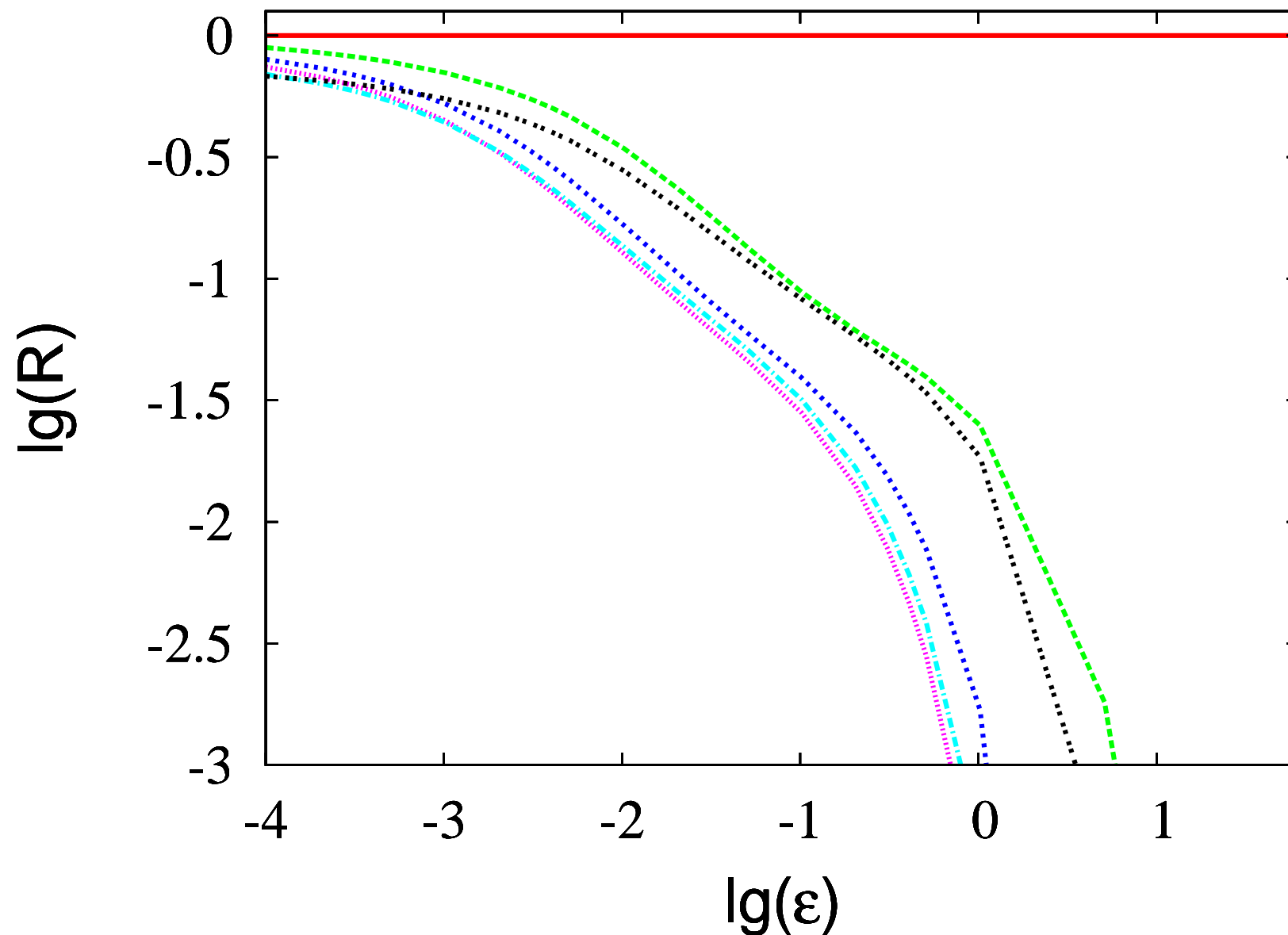
Для случая чисто дипольного поля ($\nu = 0$) пульсар выключен.



То же, что на рис.2

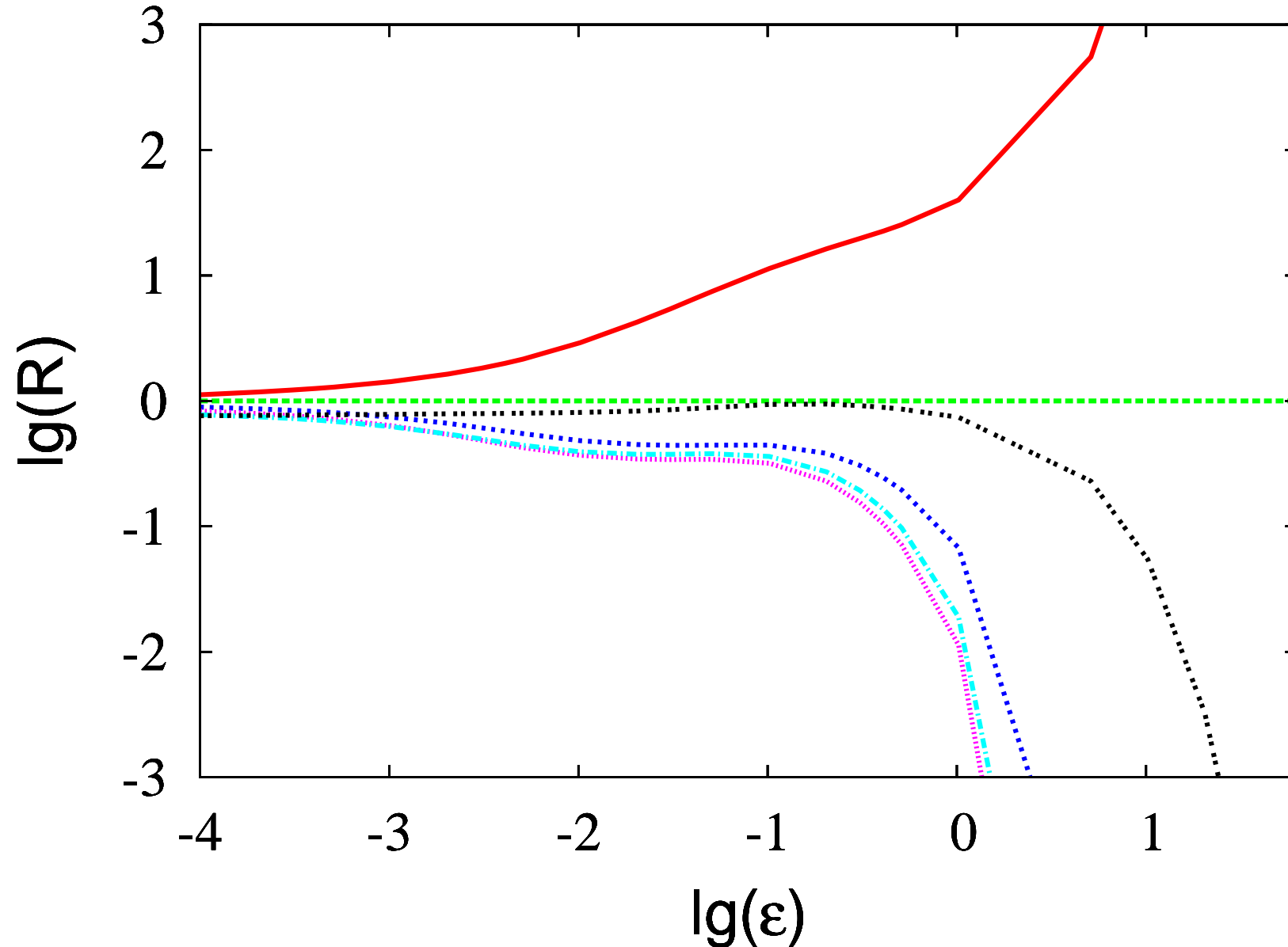
$$B = 0.2, P = 0.5, \chi = 10^\circ, k = 0.15, \Delta = 0.1, \gamma = \pi, d = 0.363, \frac{\Omega b}{c} = \frac{1}{3}$$

Для случая чисто дипольного поля ($\nu = 0$) пульсар выключен.



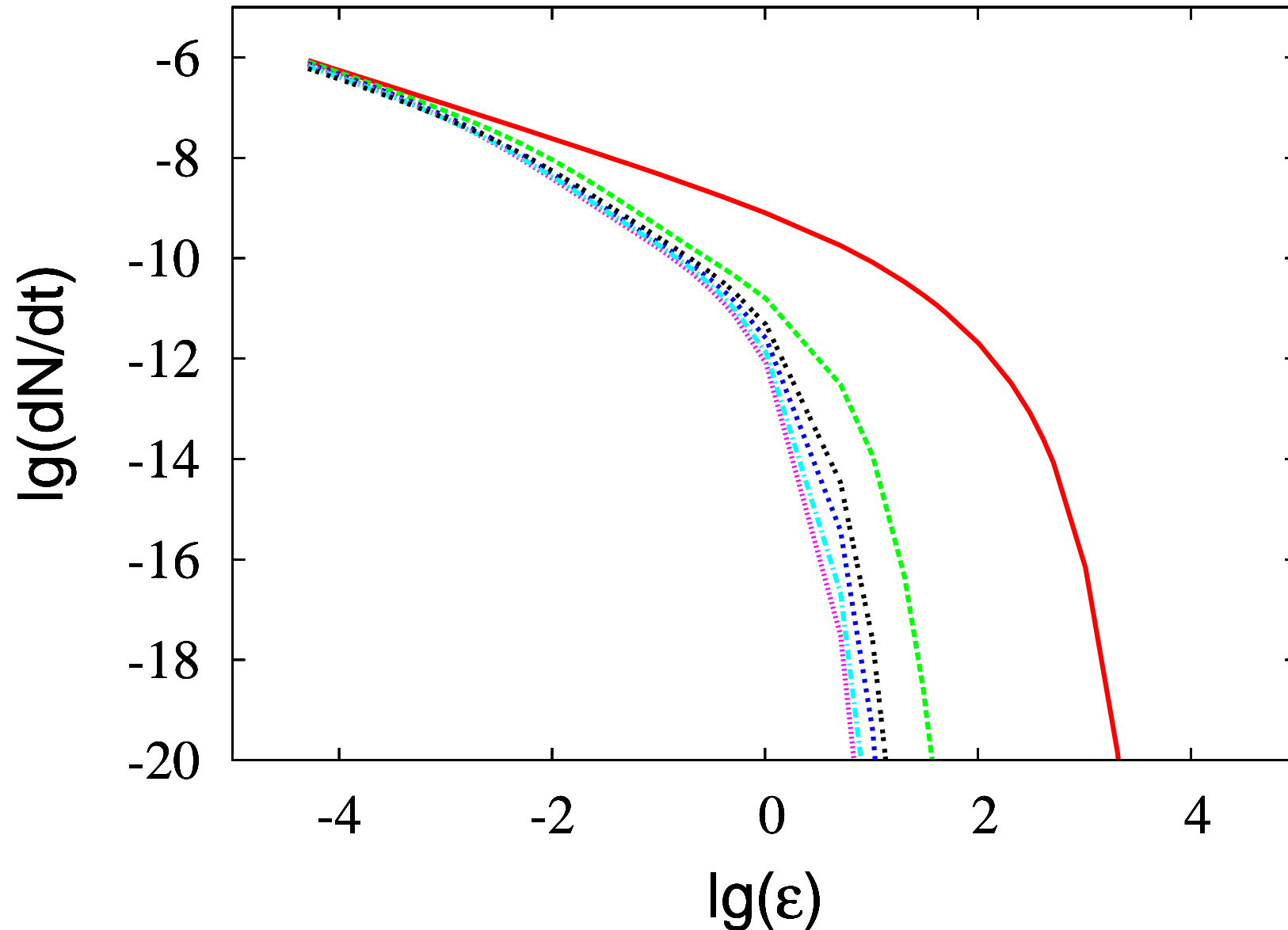
То же, что на рис.3

$$B = 0.2, P = 0.5, \chi = 10^\circ, k = 0.15, \Delta = 0.1, \gamma = \pi, d = 0.363, \frac{\Omega b}{c} = \frac{1}{3}$$



То же, что на рис.4

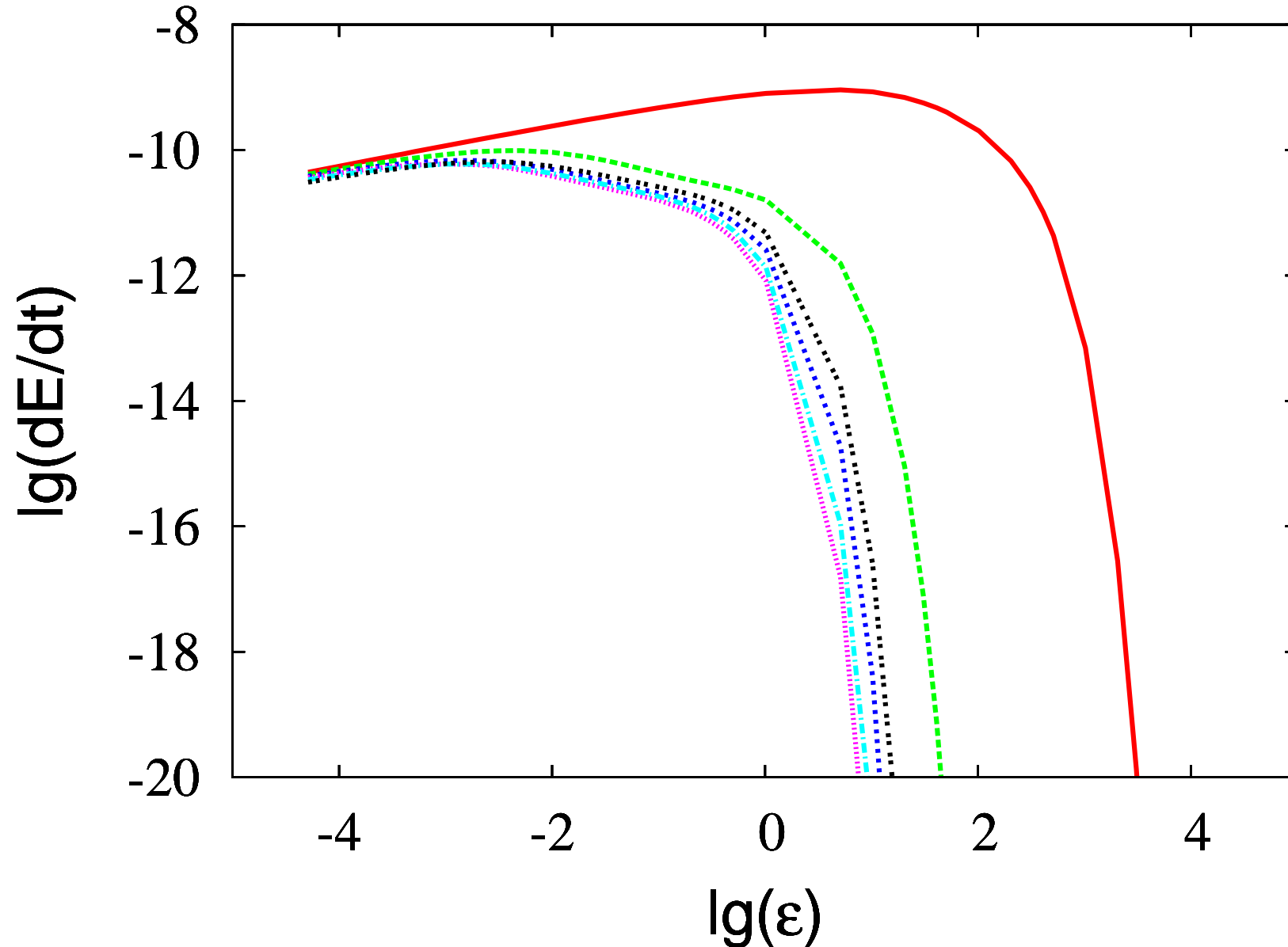
$$B = 0.2, P = 0.5, \chi = 10^\circ, k = 0.15, \Delta = 0.1, \gamma = \pi, d = 0.363, \frac{\Omega b}{c} = \frac{1}{3}$$



То же, что на рис.1

$B = 0.2, P = 0.5, \chi = 10^\circ, k = 0.15, \Delta = 0.1, \gamma = \pi, d = 0.5$

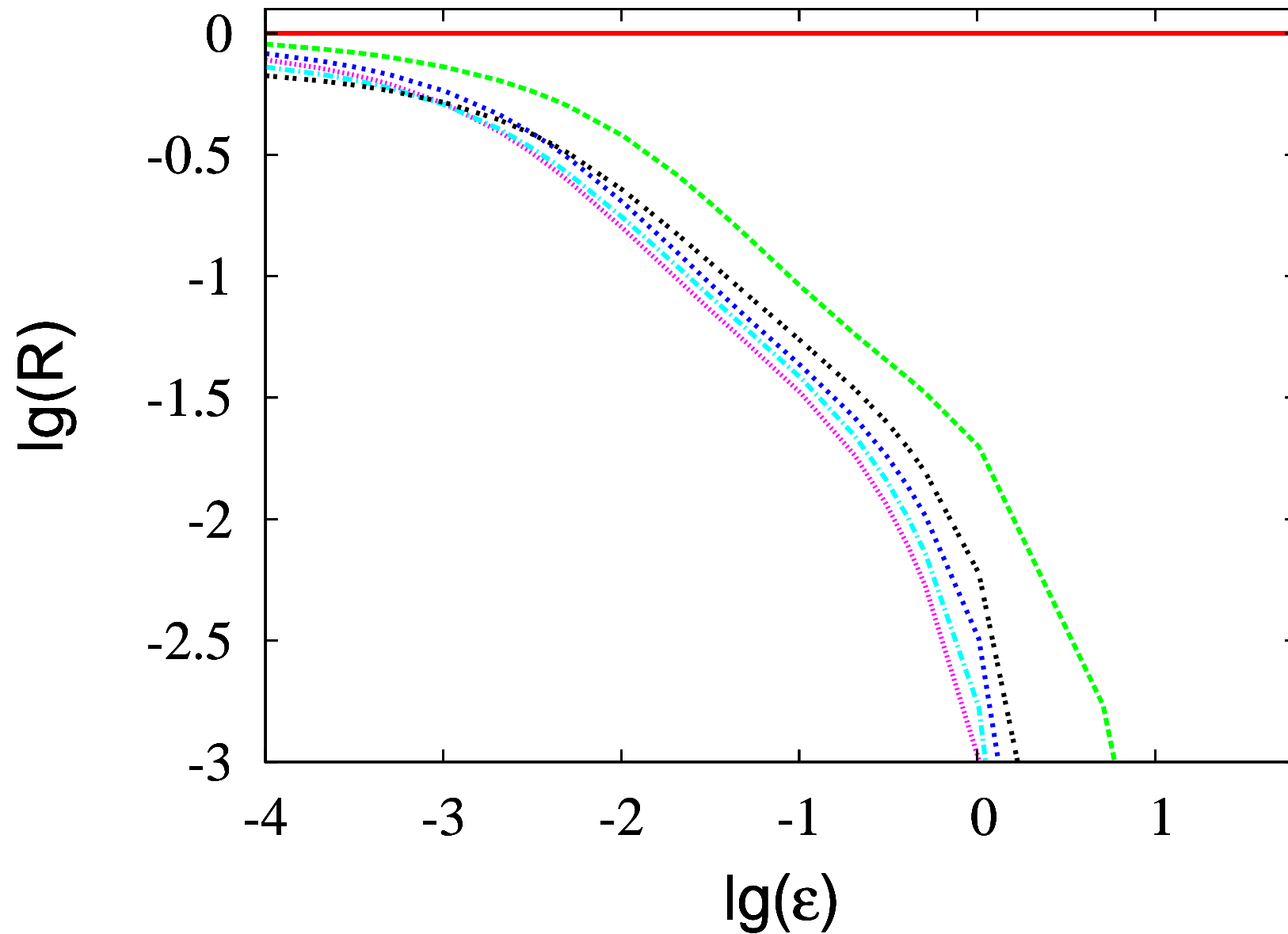
Для случая чисто дипольного поля ($\nu = 0$) пульсар выключен.



То же, что на рис.2

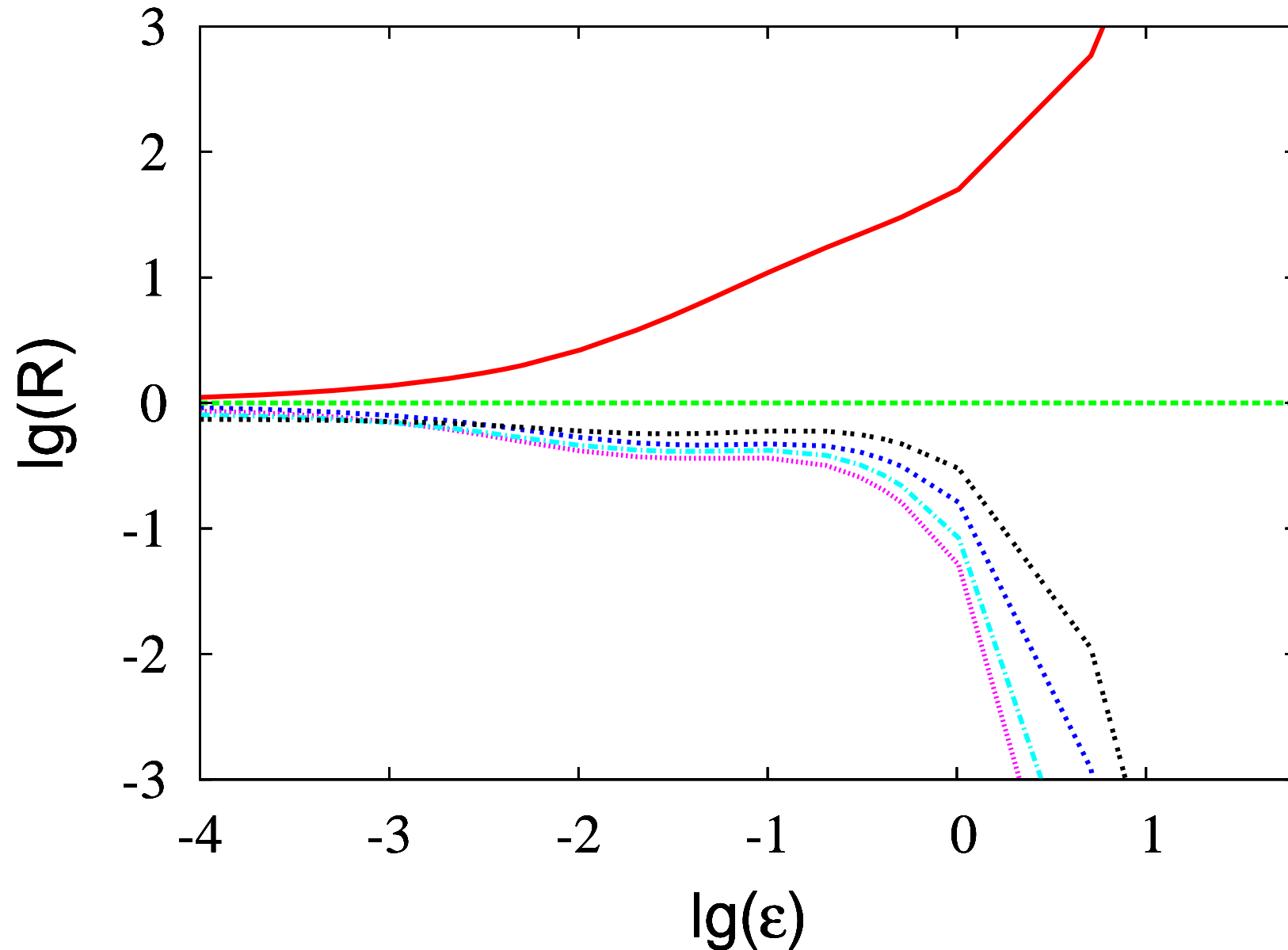
$B = 0.2, P = 0.5, \chi = 10^\circ, k = 0.15, \Delta = 0.1, \gamma = \pi, d = 0.5$

Для случая чисто дипольного поля ($\nu = 0$) пульсар выключен.



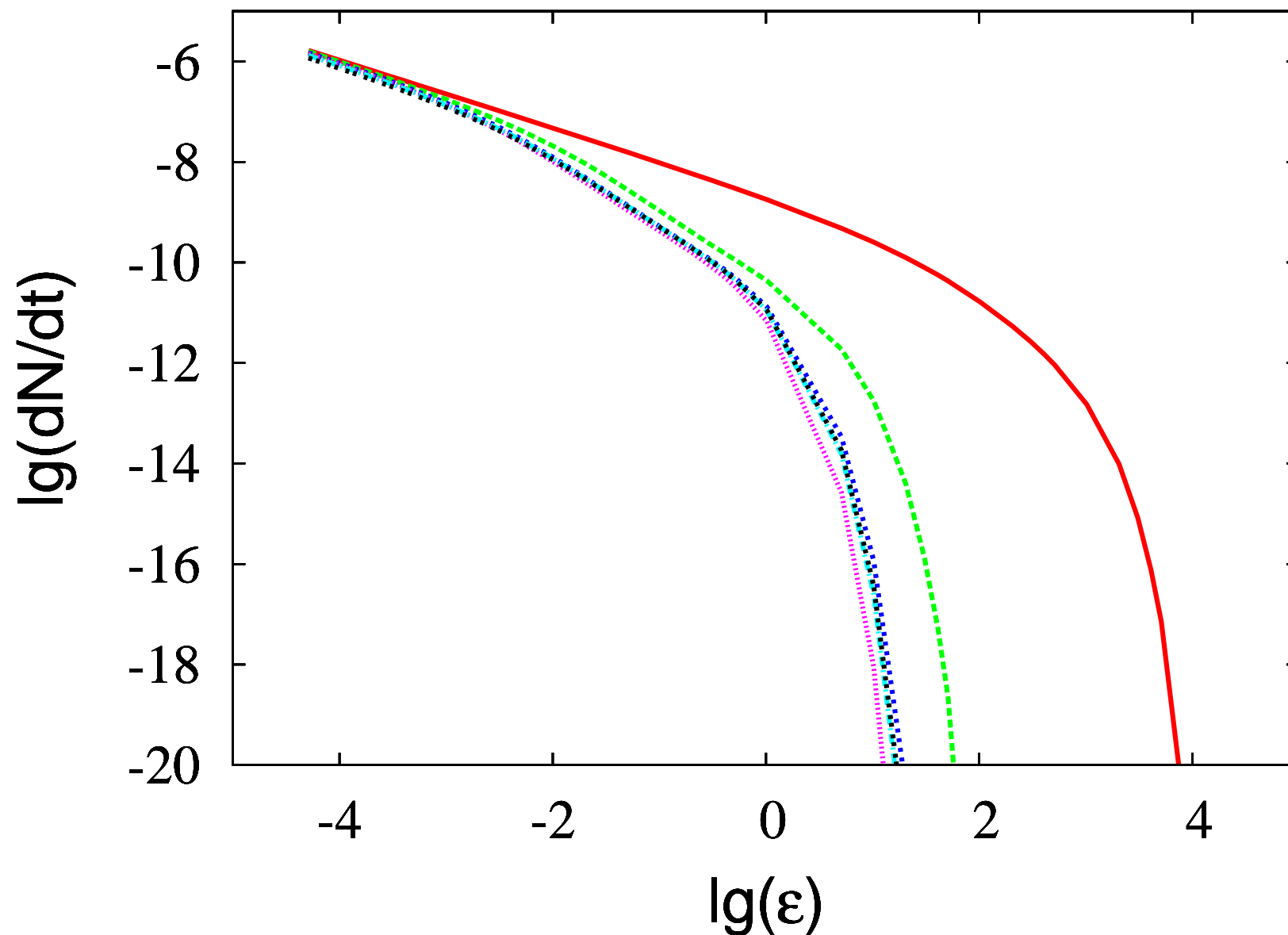
То же, что на рис.3

$B = 0.2, P = 0.5, \chi = 10^\circ, k = 0.15, \Delta = 0.1, \gamma = \pi, d = 0.5$



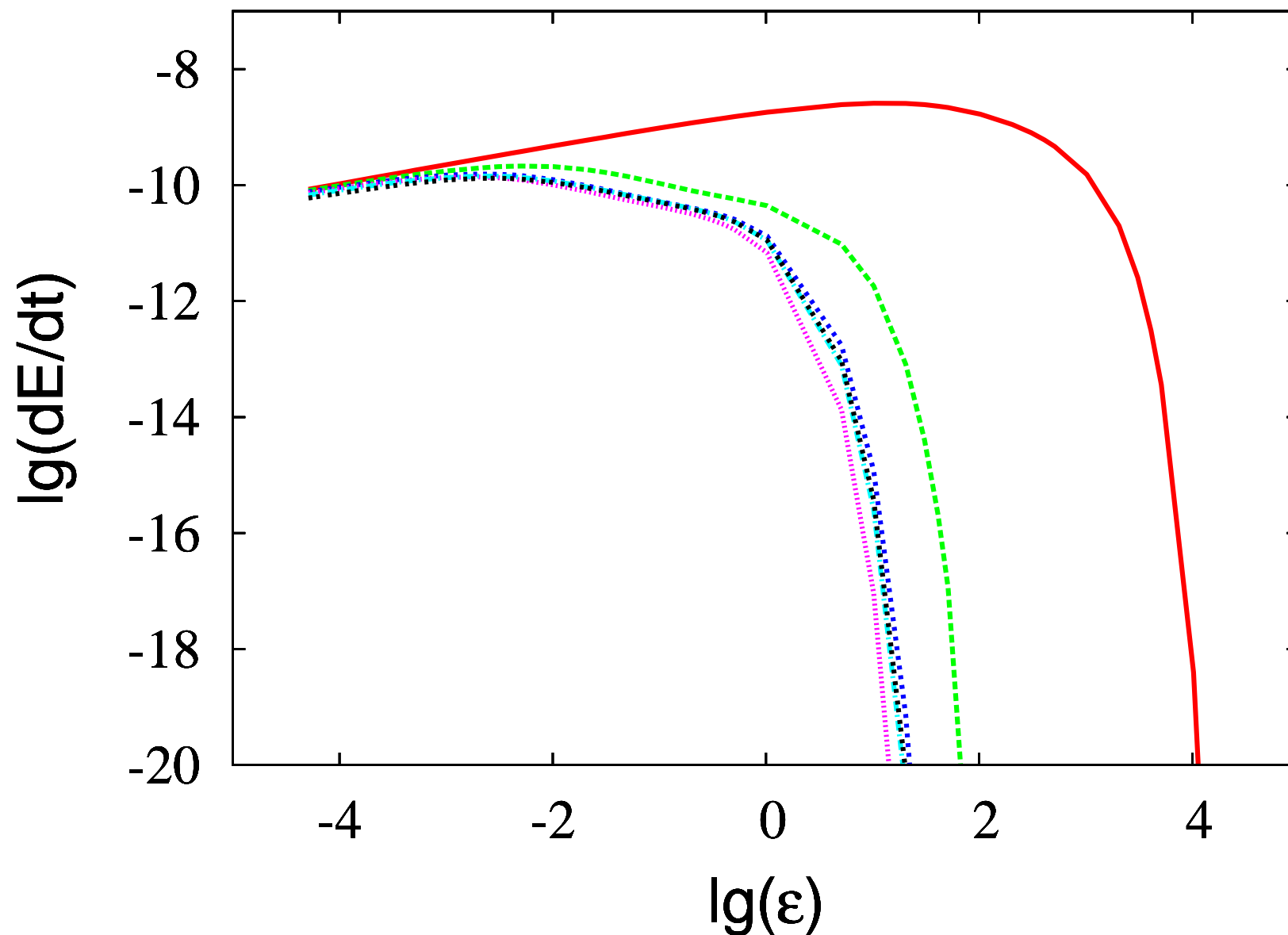
То же, что на рис.4

$B = 0.2, P = 0.5, \chi = 10^\circ, k = 0.15, \Delta = 0.1, \gamma = \pi, d = 0.5$



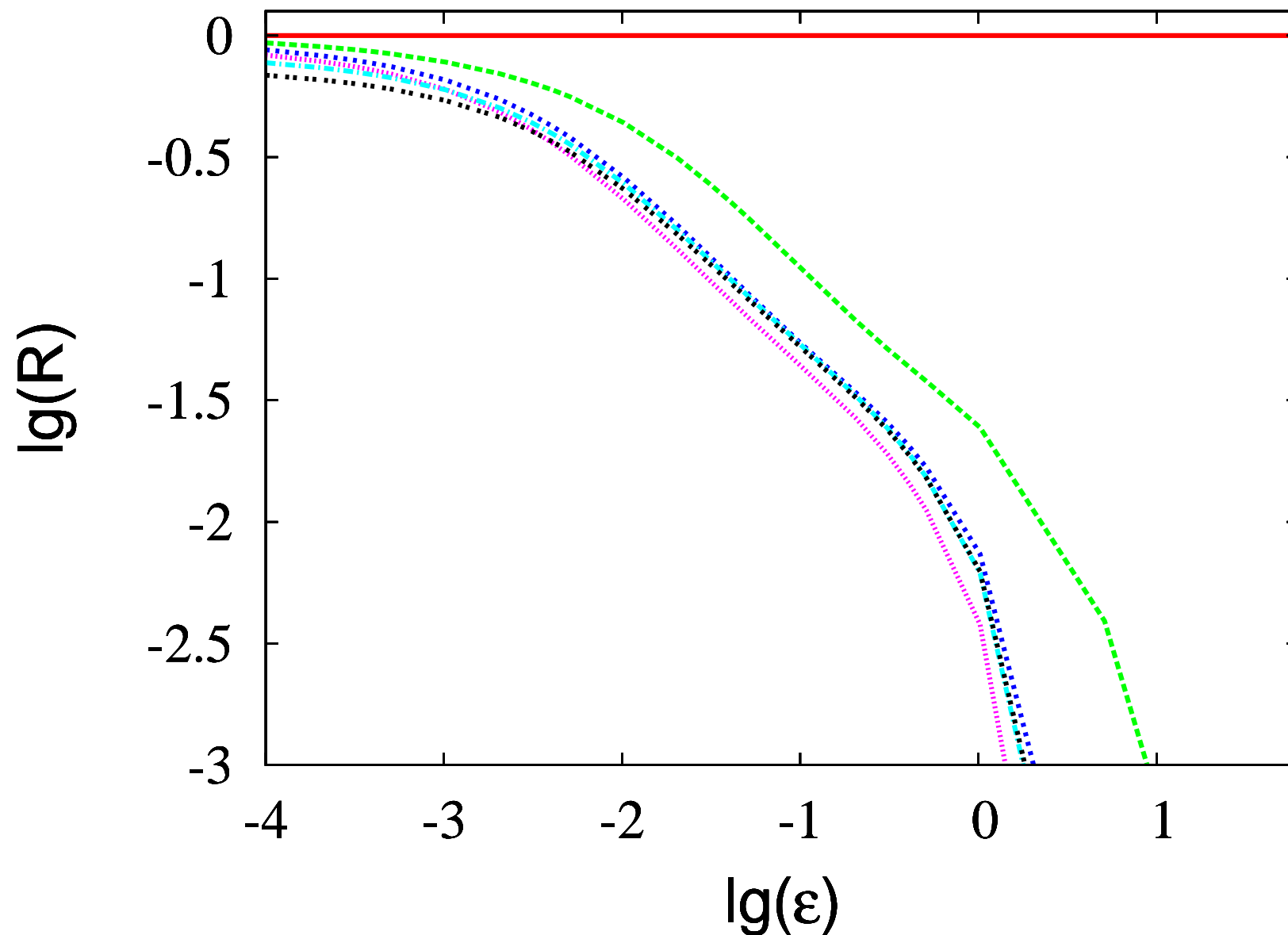
То же, что на рис.1

$B = 0.2, P = 0.5, \chi = 10^\circ, k = 0.15, \Delta = 0.1, \gamma = \pi, d = 0.71, \alpha_b = \frac{1}{2}, \beta = \pi$



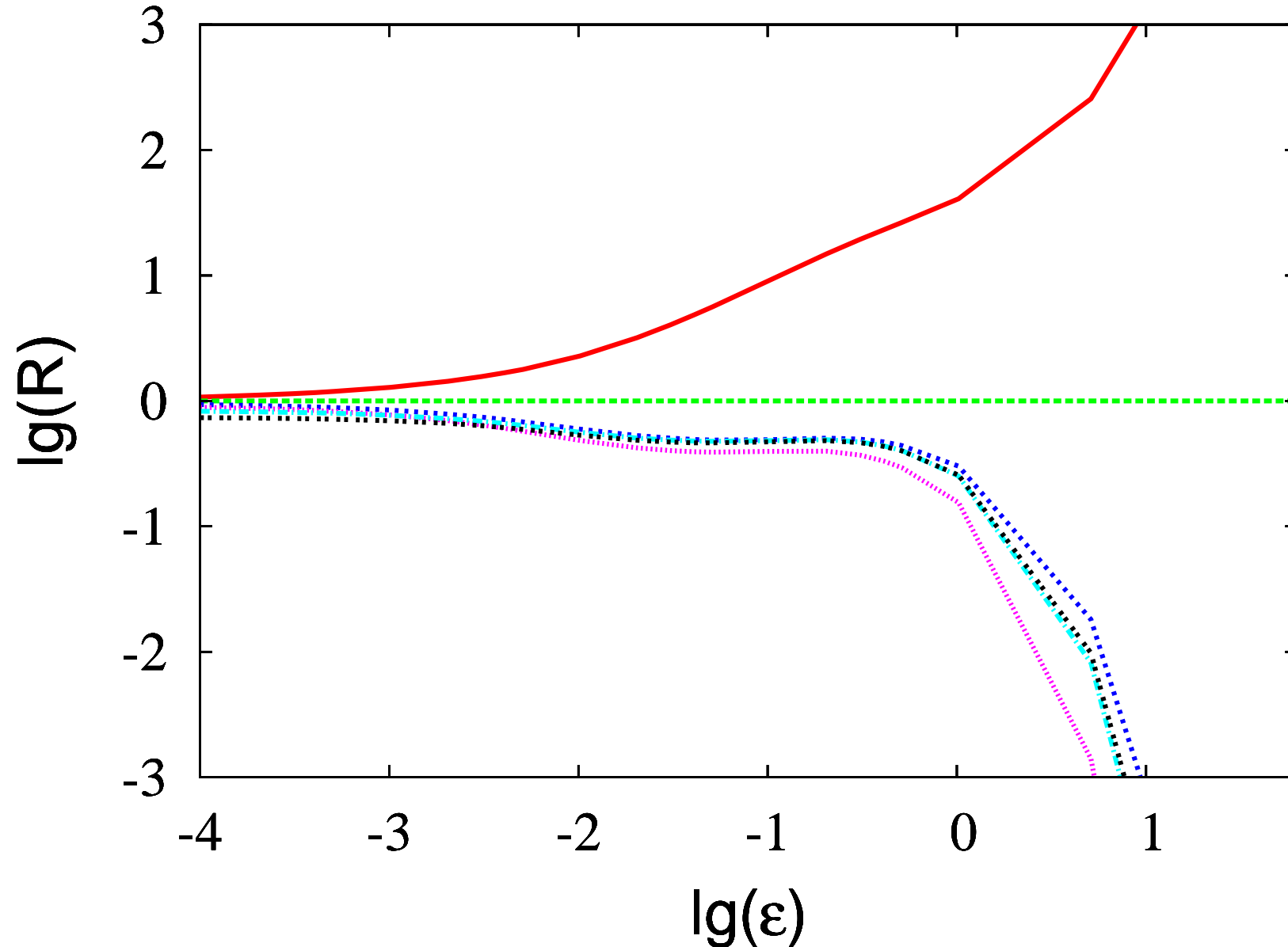
То же, что на рис.2

$B = 0.2, P = 0.5, \chi = 10^\circ, k = 0.15, \Delta = 0.1, \gamma = \pi, d = 0.71, \alpha_b = \frac{1}{2}, \beta = \pi$



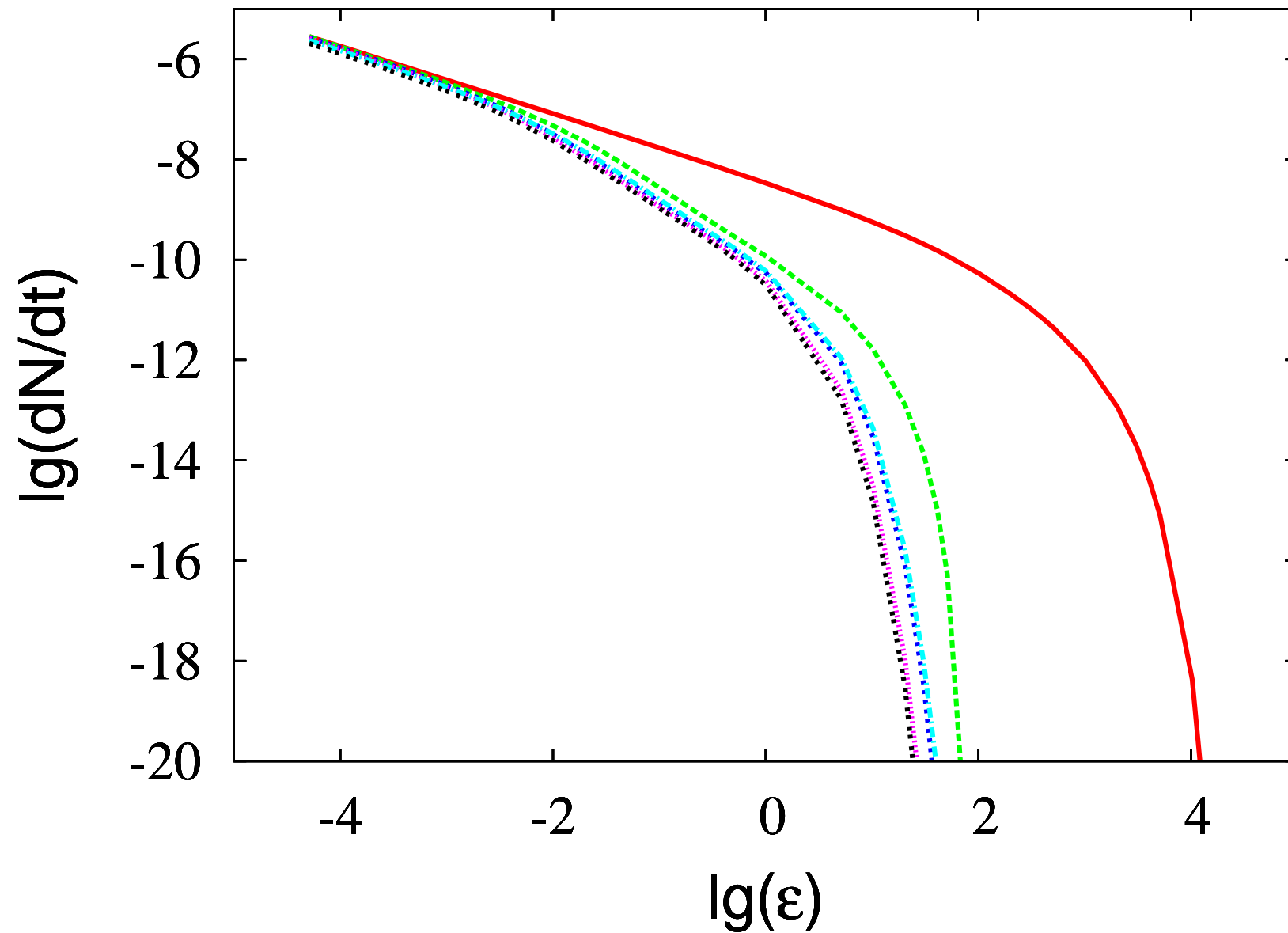
То же, что на рис.3

$B = 0.2, P = 0.5, \chi = 10^\circ, k = 0.15, \Delta = 0.1, \gamma = \pi, d = 0.71, \alpha_b = \frac{1}{2}, \beta = \pi$



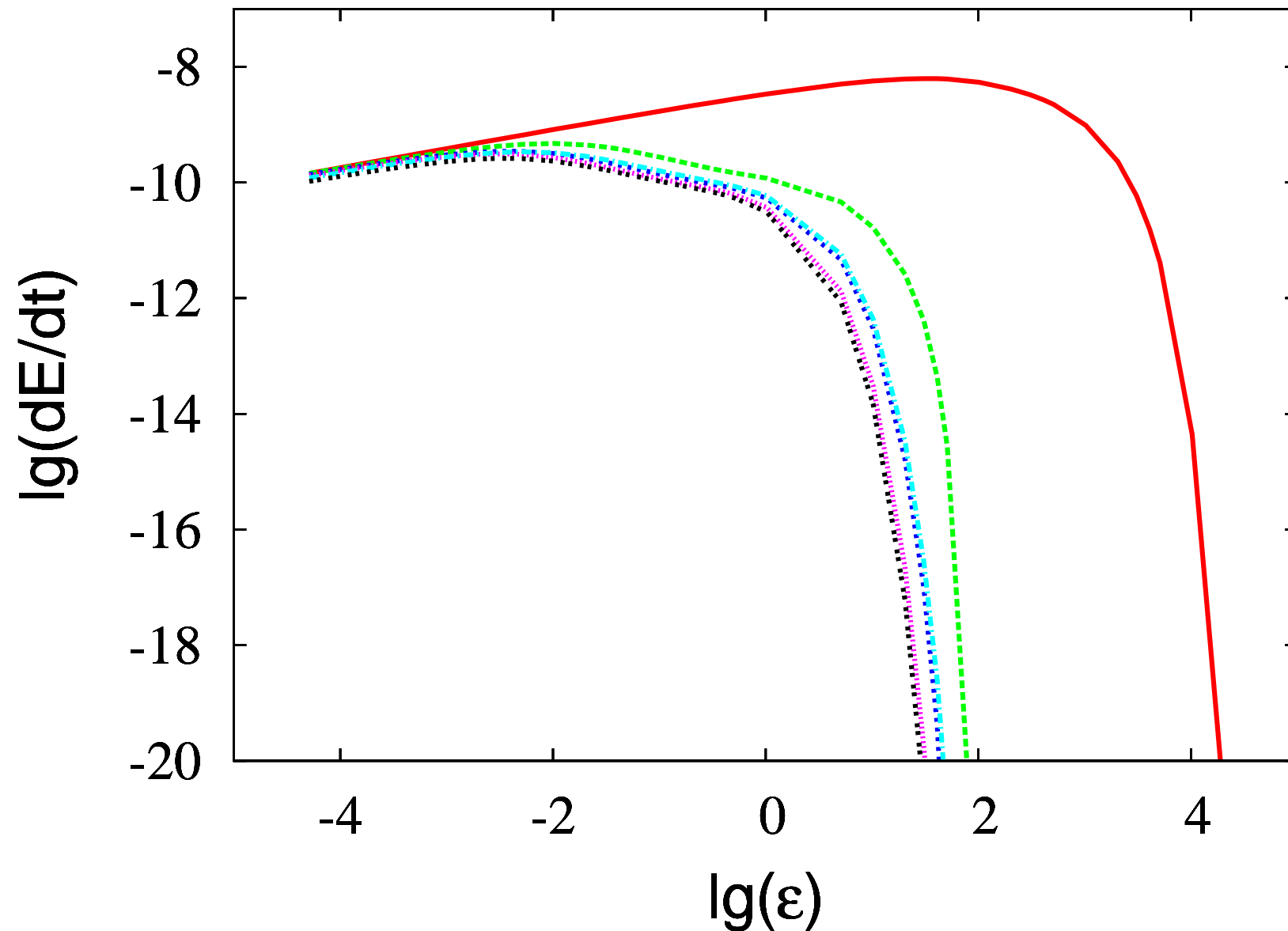
То же, что на рис.4

$B = 0.2, P = 0.5, \chi = 10^\circ, k = 0.15, \Delta = 0.1, \gamma = \pi, d = 0.71, \alpha_b = \frac{1}{2}, \beta = \pi$



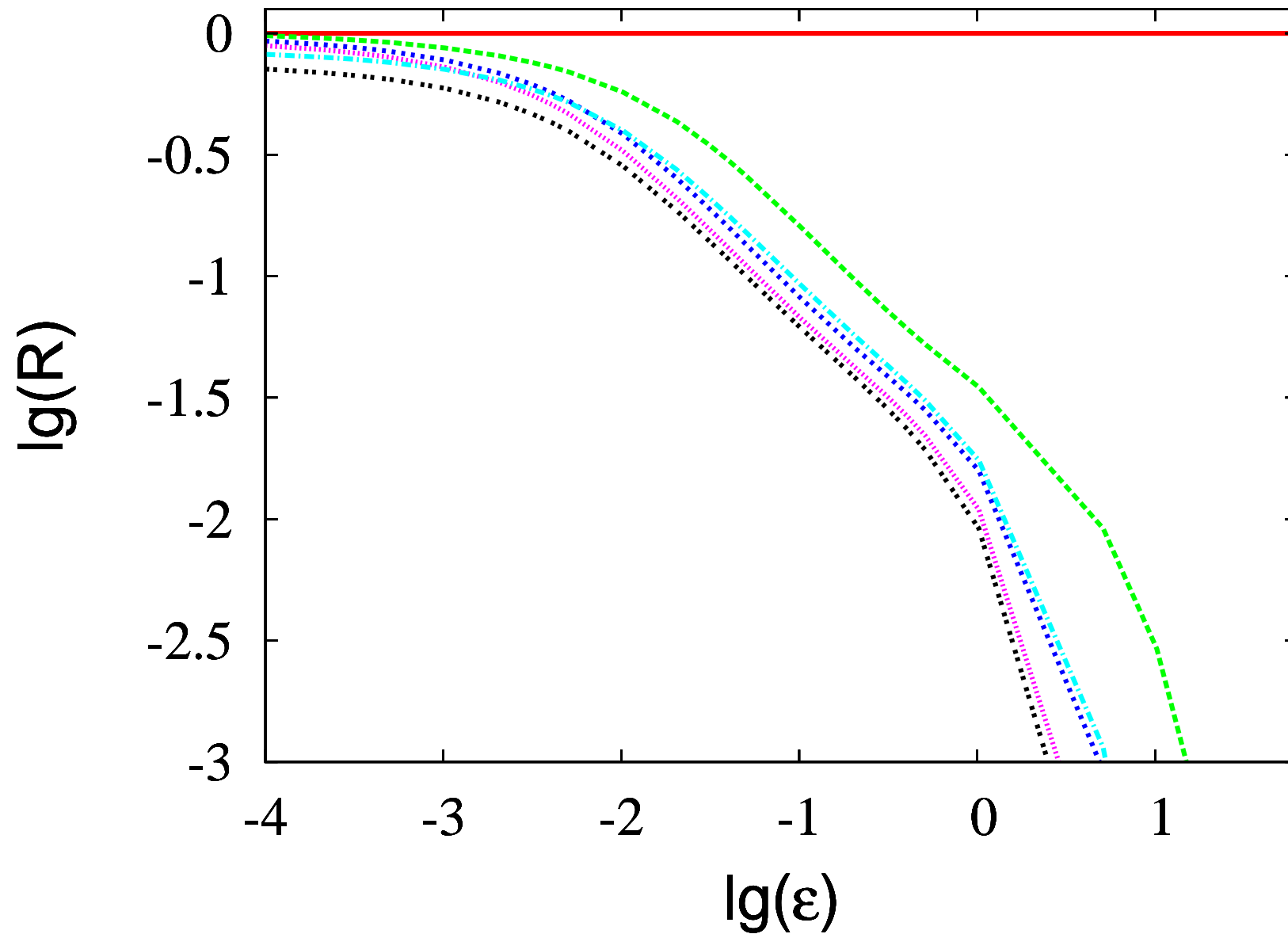
То же, что на рис.1

$B = 0.2, P = 0.5, \chi = 10^\circ, k = 0.15, \Delta = 0.1, \gamma = \pi, d = 1.0$



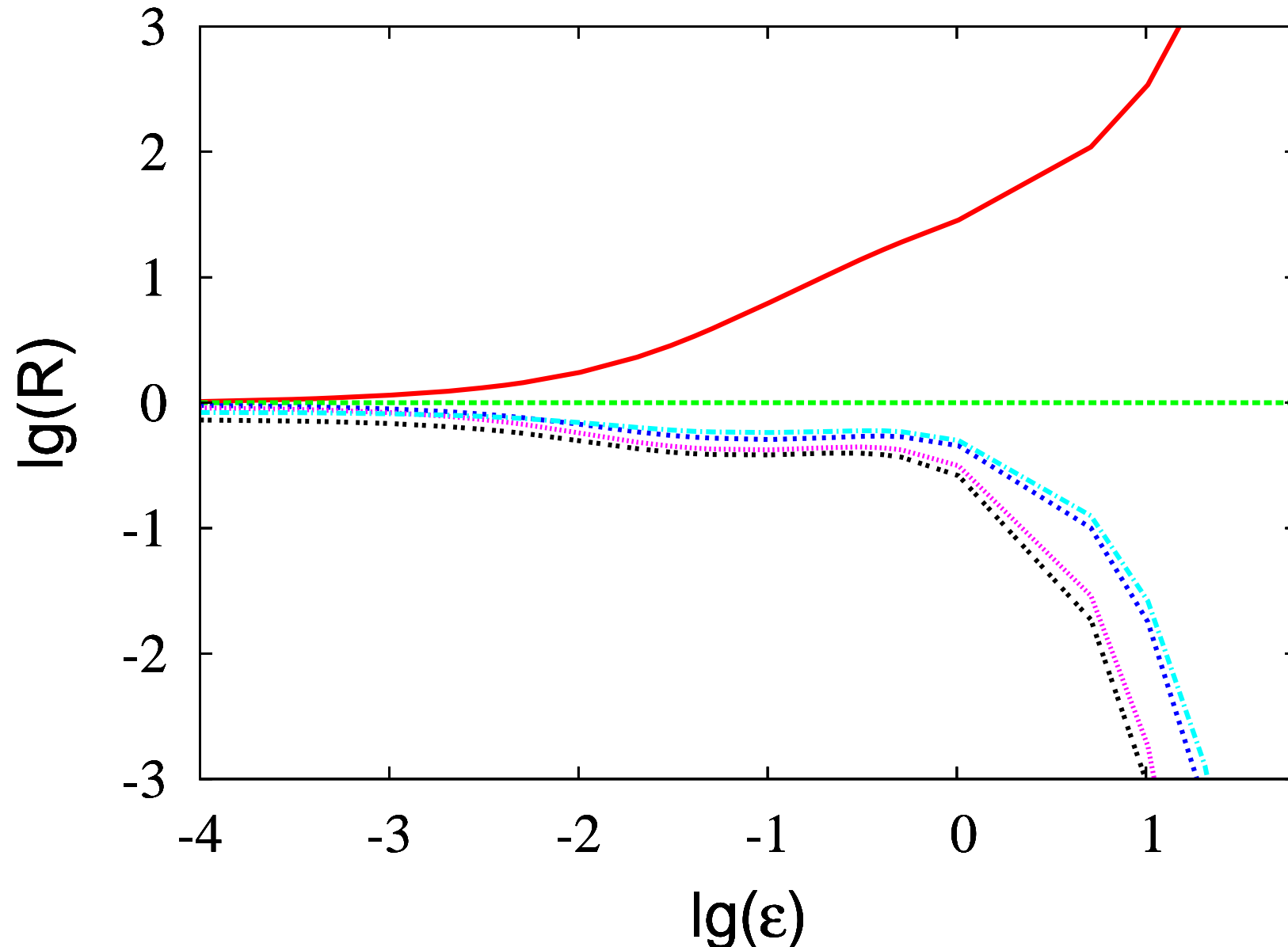
То же, что на рис.2

$B = 0.2, P = 0.5, \chi = 10^\circ, k = 0.15, \Delta = 0.1, \gamma = \pi, d = 1.0$



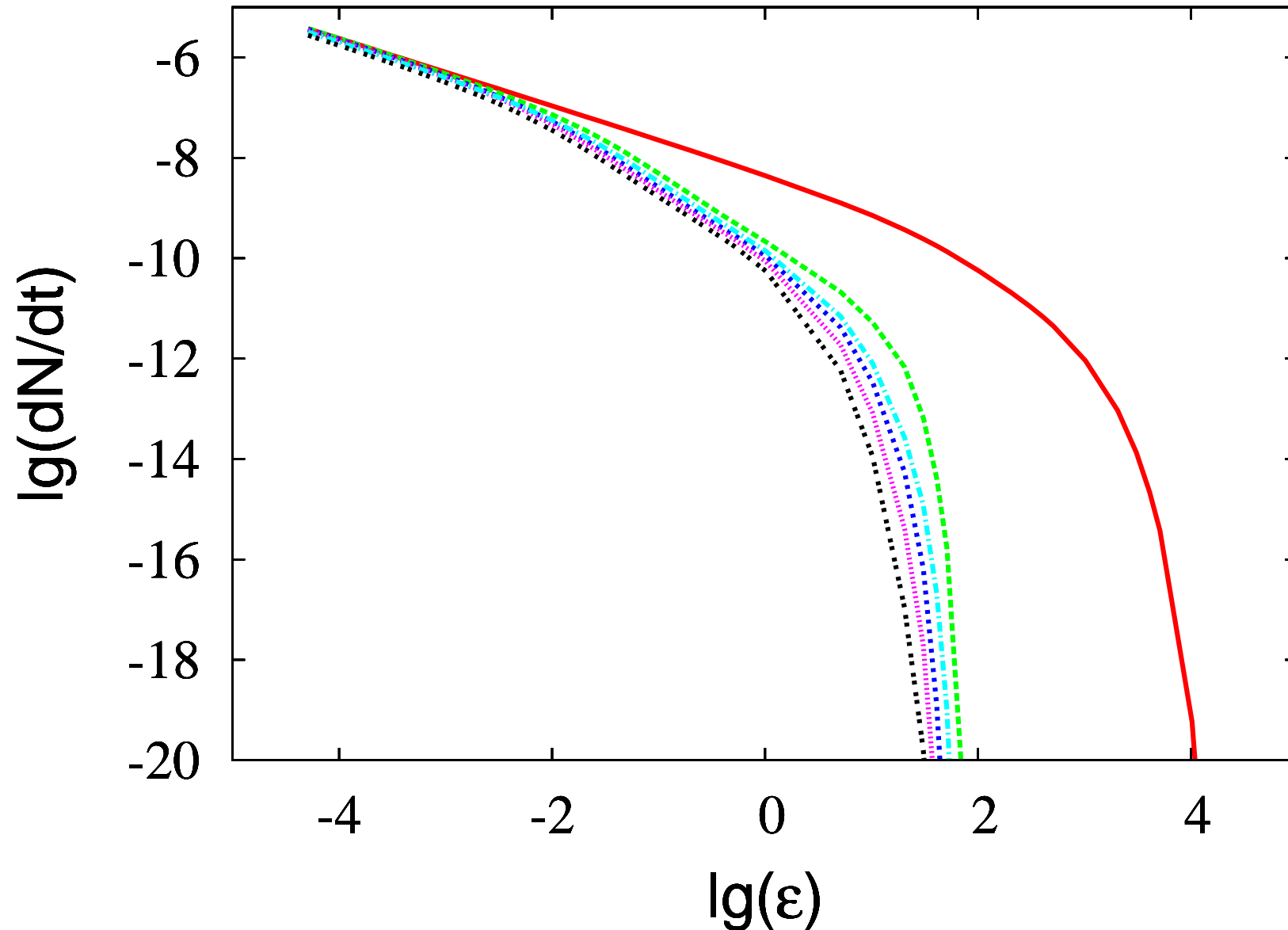
То же, что на рис.3

$B = 0.2, P = 0.5, \chi = 10^\circ, k = 0.15, \Delta = 0.1, \gamma = \pi, d = 1.0$



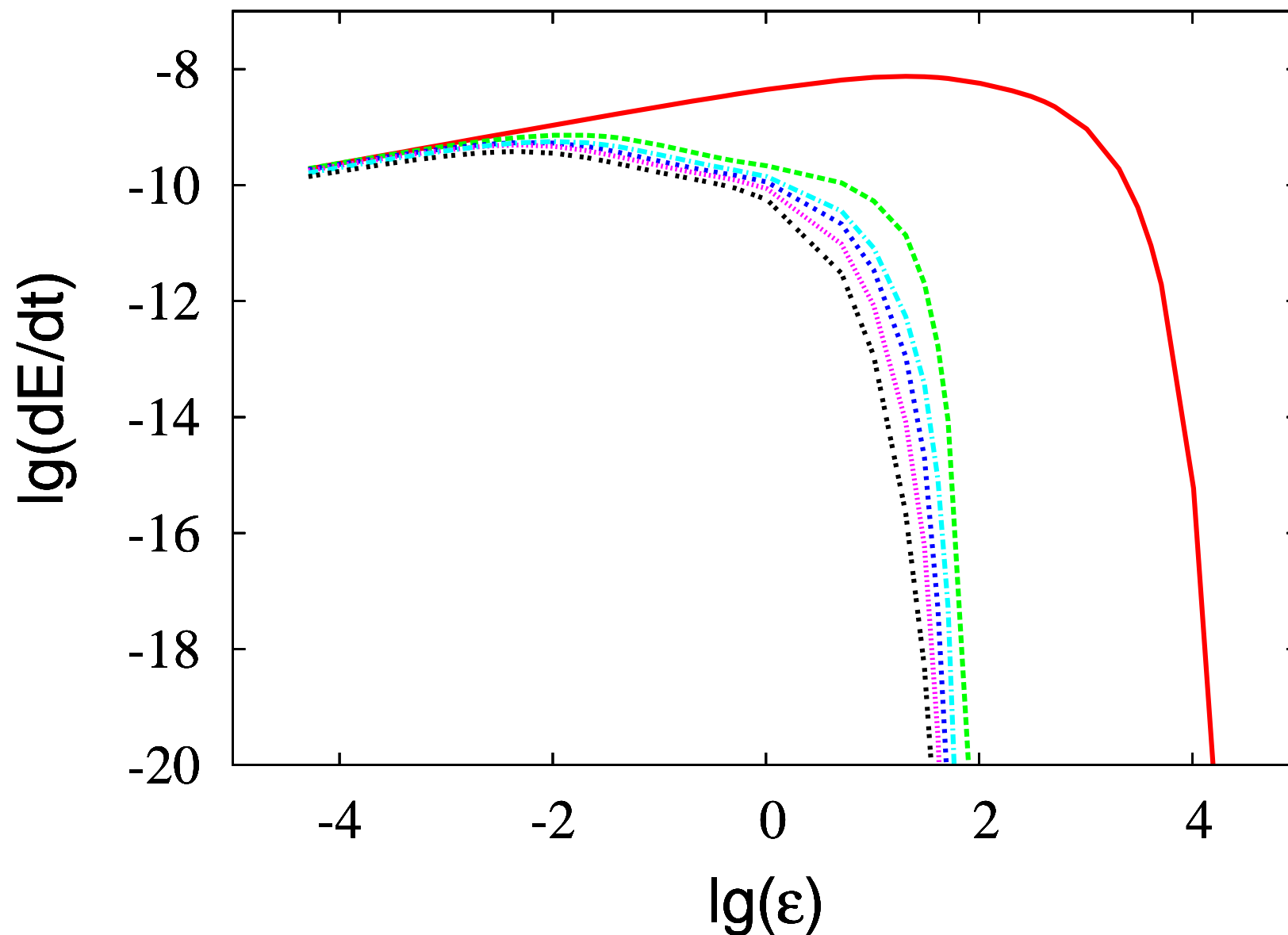
То же, что на рис.4

$B = 0.2, P = 0.5, \chi = 10^\circ, k = 0.15, \Delta = 0.1, \gamma = \pi, d = 1.0$



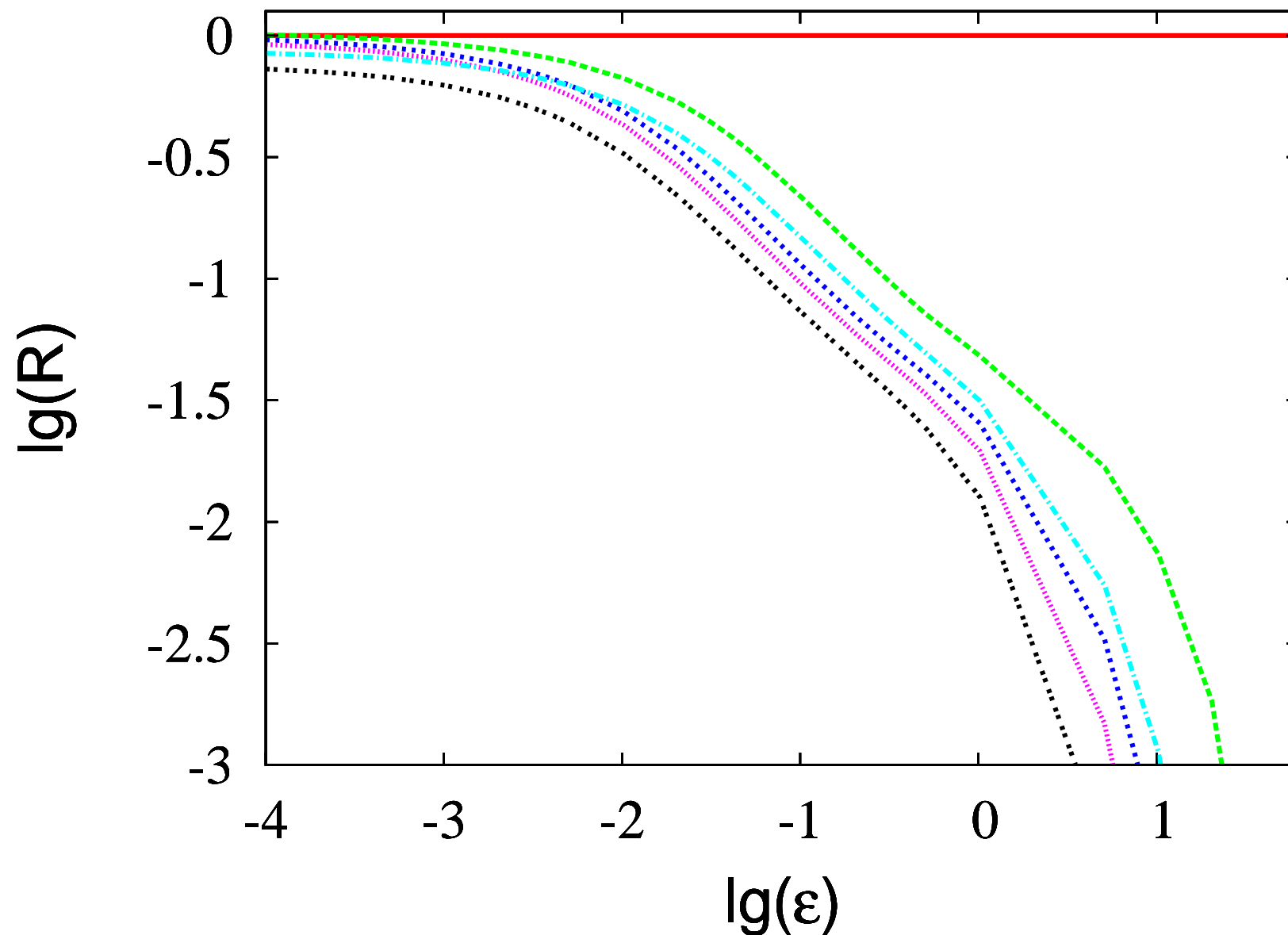
То же, что на рис.1

$B = 0.2, P = 0.5, \chi = 10^\circ, k = 0.15, \Delta = 0.1, \gamma = \pi, d = 1.22, \alpha_b = \frac{1}{2}, \beta = 0$



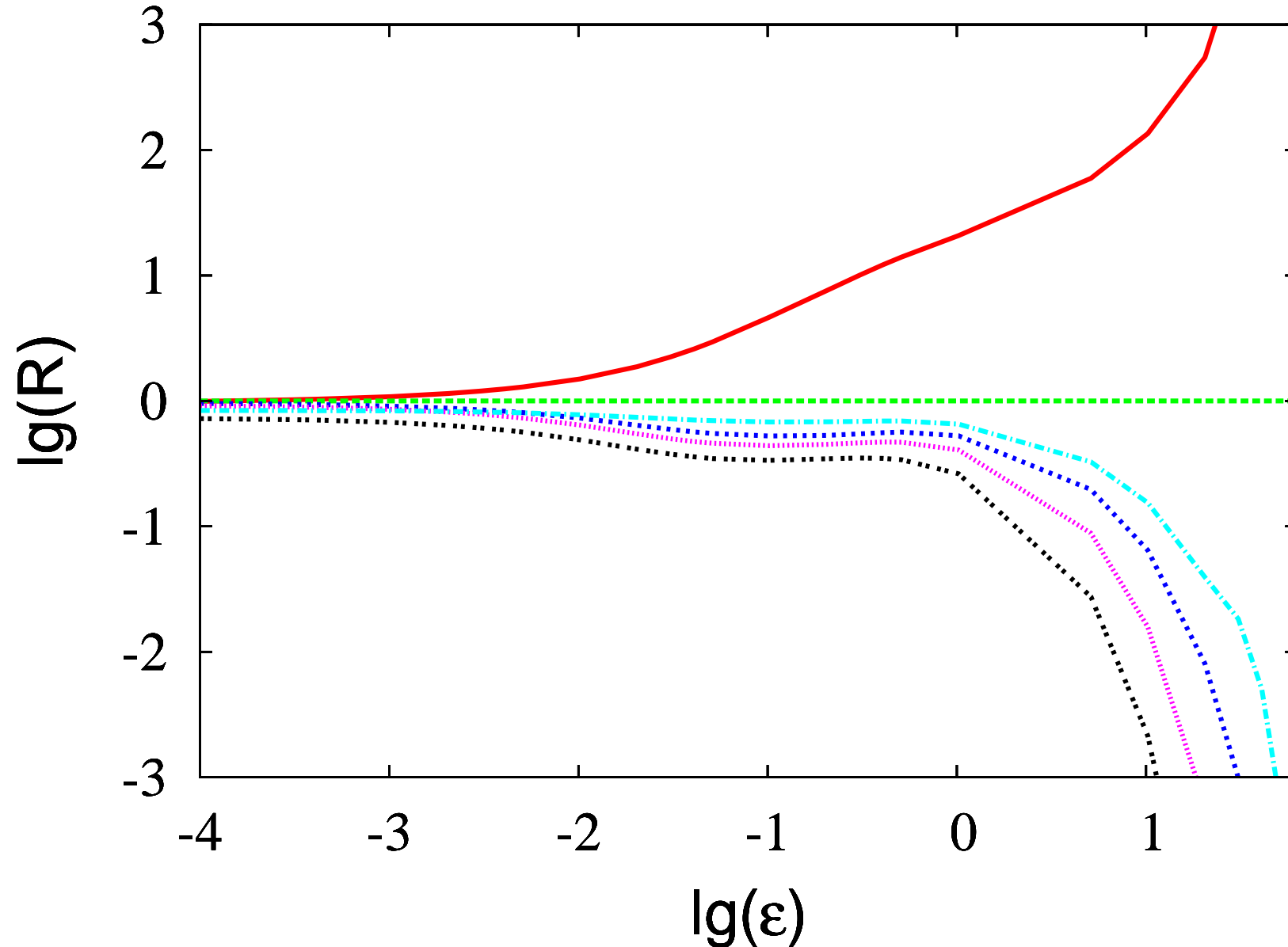
То же, что на рис.2

$B = 0.2, P = 0.5, \chi = 10^\circ, k = 0.15, \Delta = 0.1, \gamma = \pi, d = 1.22, \alpha_b = \frac{1}{2}, \beta = 0$



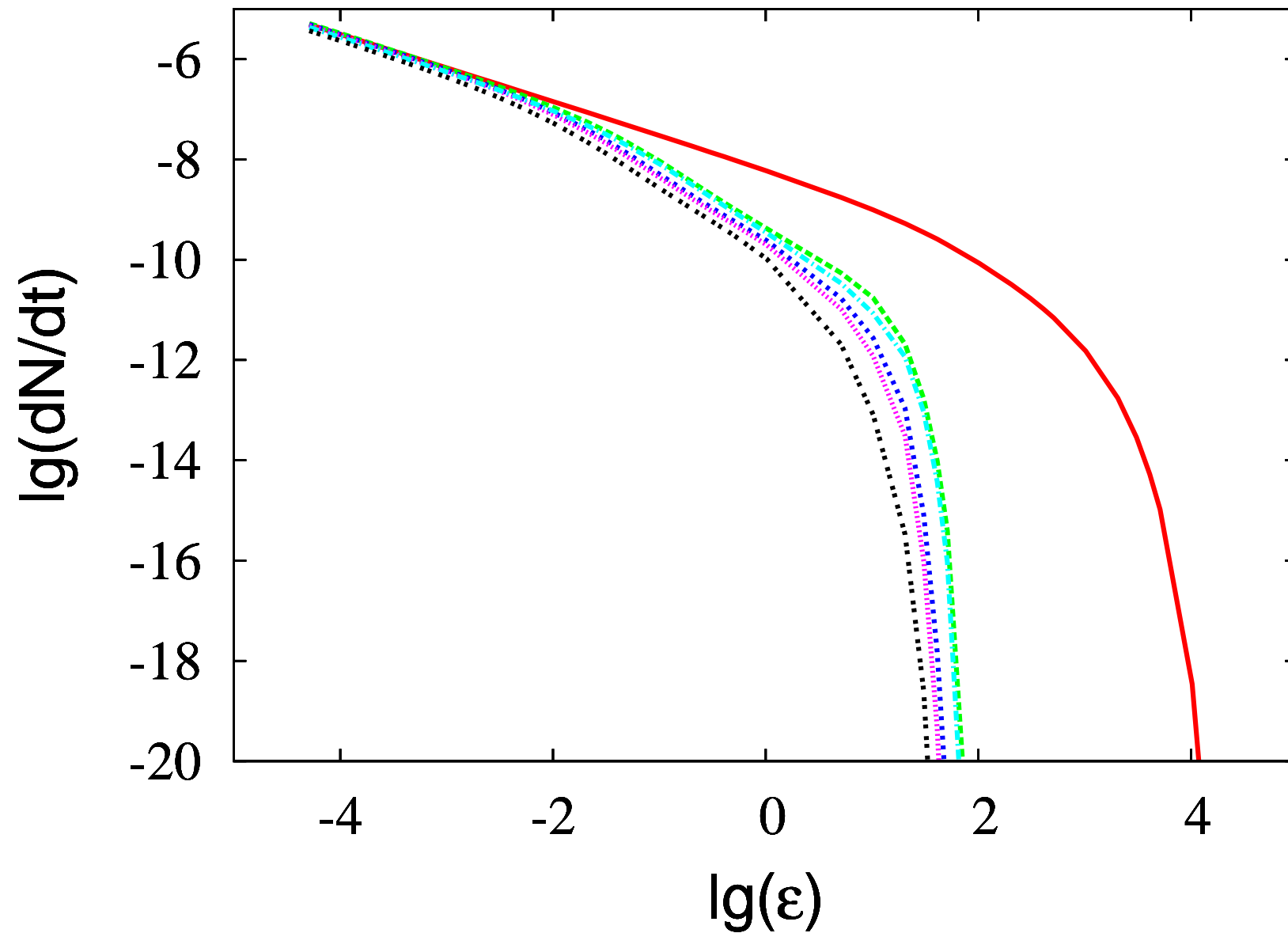
То же, что на рис.3

$B = 0.2, P = 0.5, \chi = 10^\circ, k = 0.15, \Delta = 0.1, \gamma = \pi, d = 1.22, \alpha_b = \frac{1}{2}, \beta = 0$



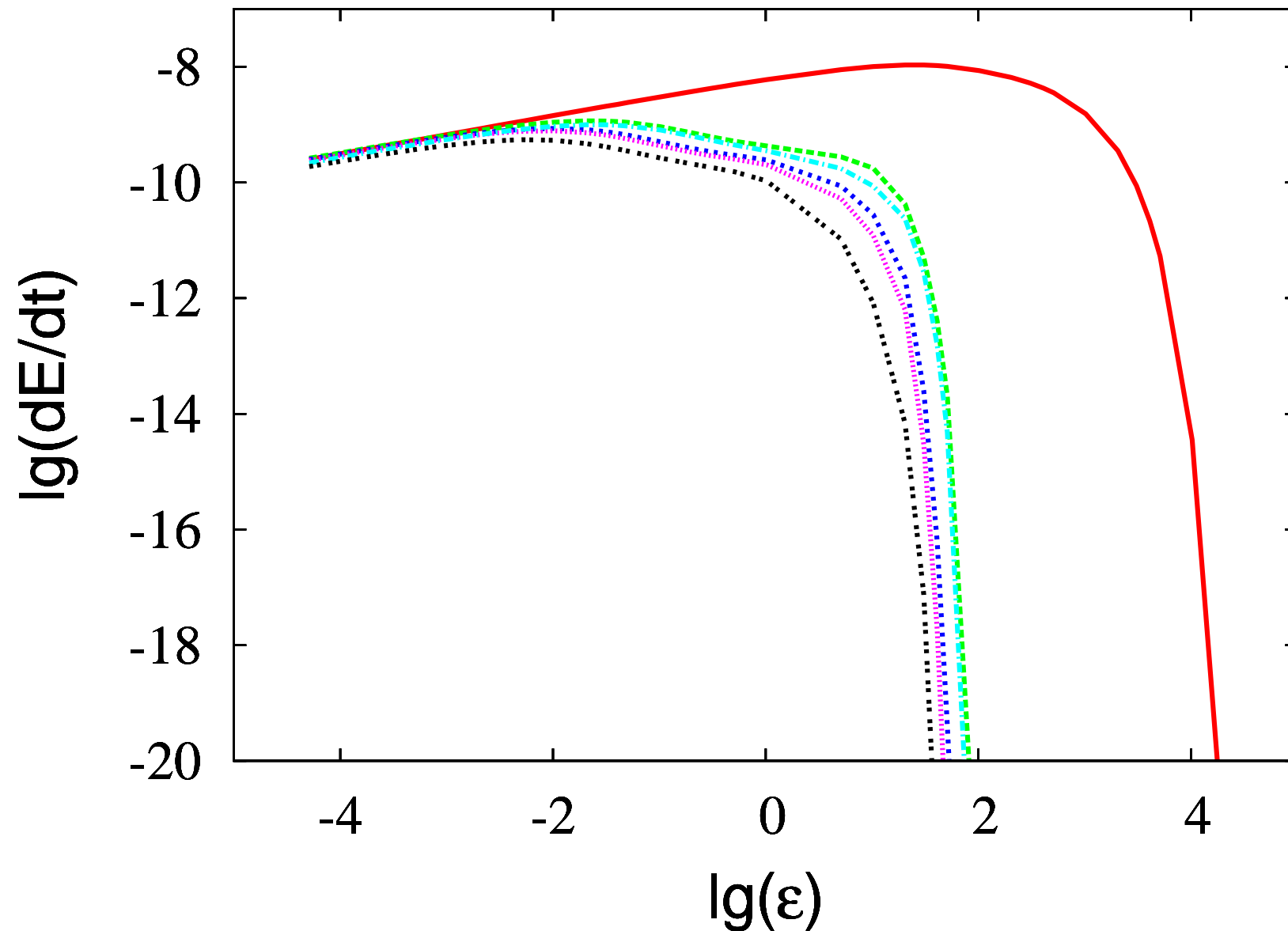
То же, что на рис.4

$B = 0.2, P = 0.5, \chi = 10^\circ, k = 0.15, \Delta = 0.1, \gamma = \pi, d = 1.22, \alpha_b = \frac{1}{2}, \beta = 0$



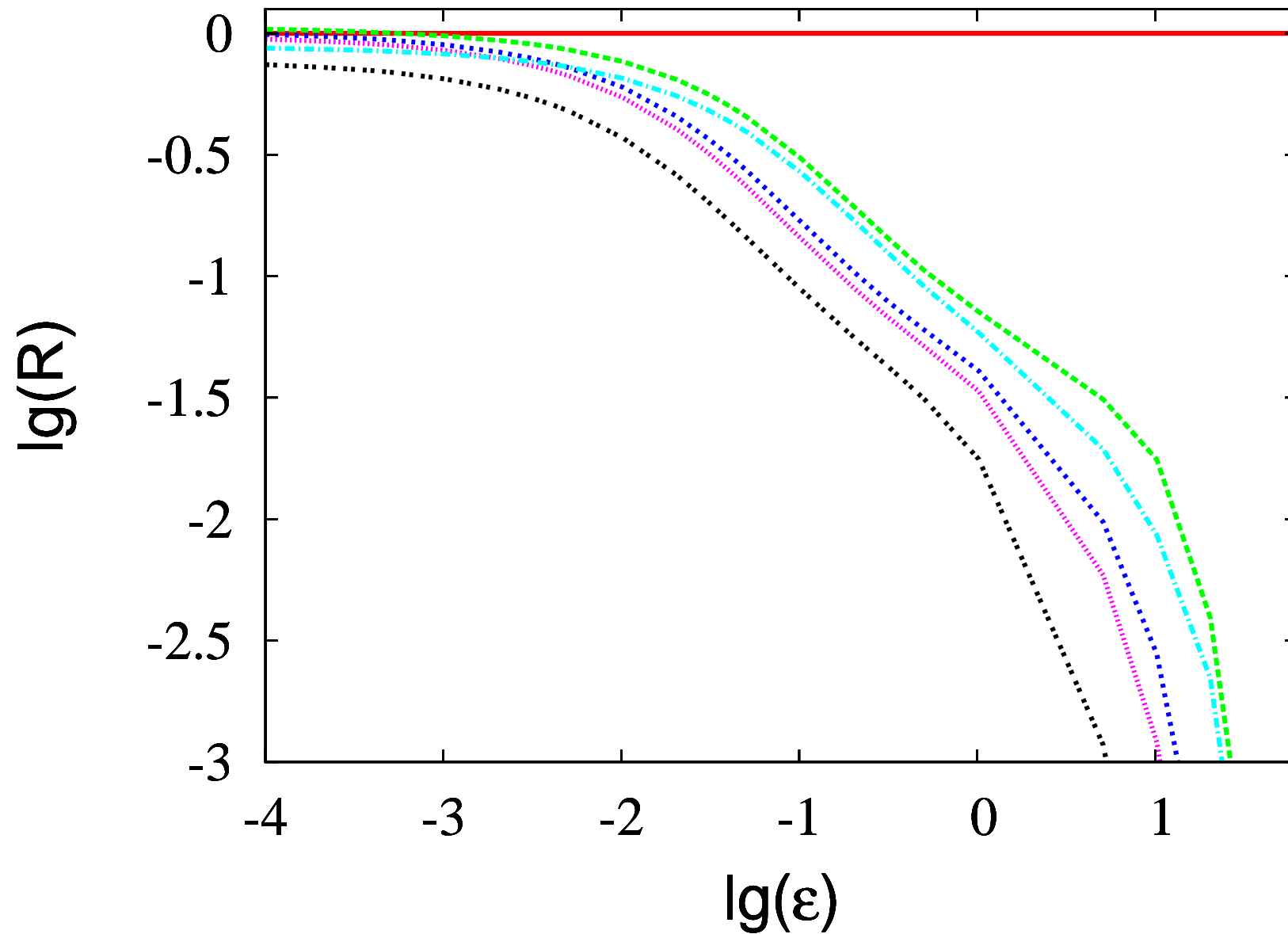
То же, что на рис.1

$B = 0.2, P = 0.5, \chi = 10^\circ, k = 0.15, \Delta = 0.1, \gamma = \pi, d = 1.5$



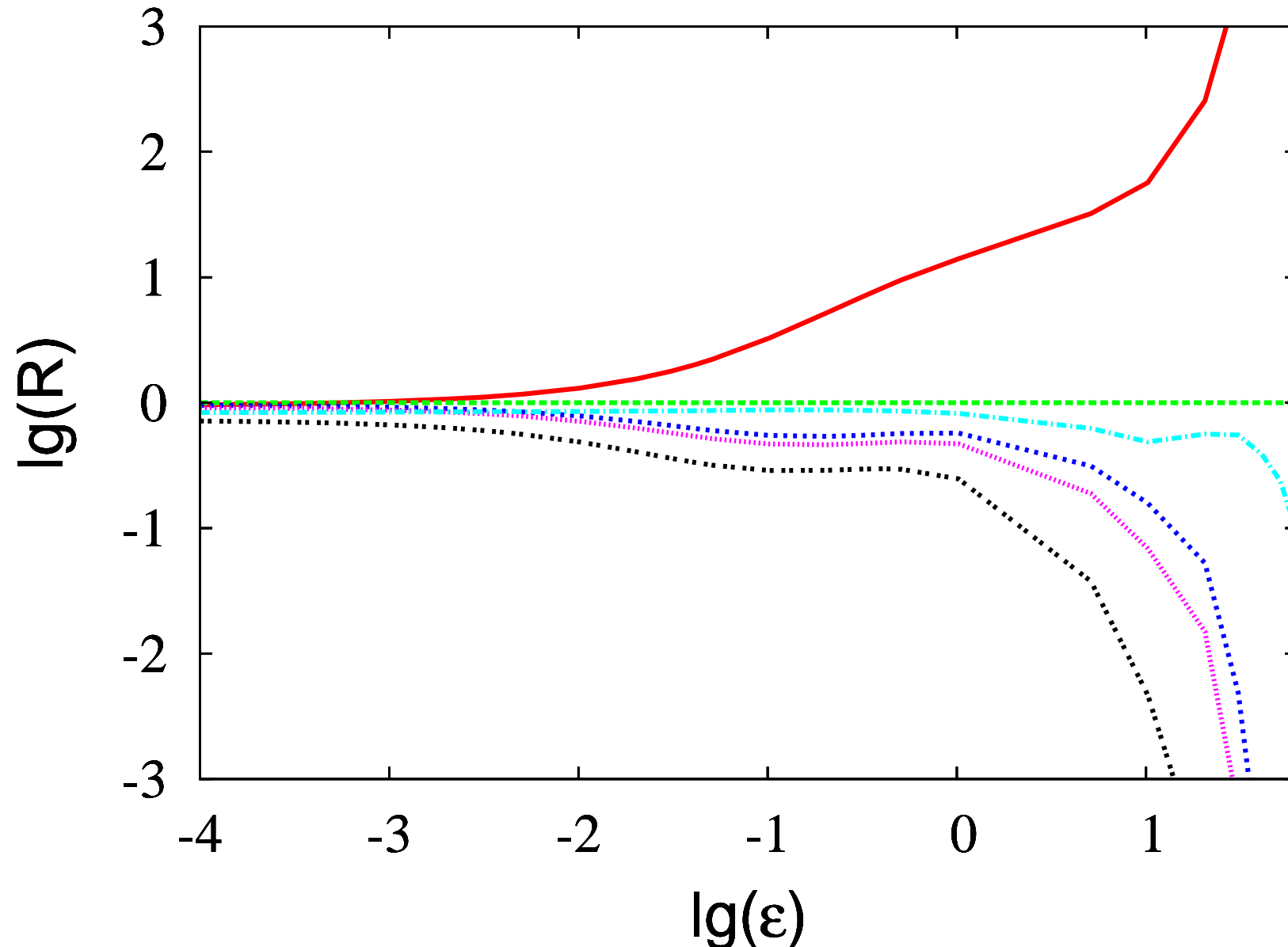
То же, что на рис.2

$B = 0.2, P = 0.5, \chi = 10^\circ, k = 0.15, \Delta = 0.1, \gamma = \pi, d = 1.5$



То же, что на рис.3

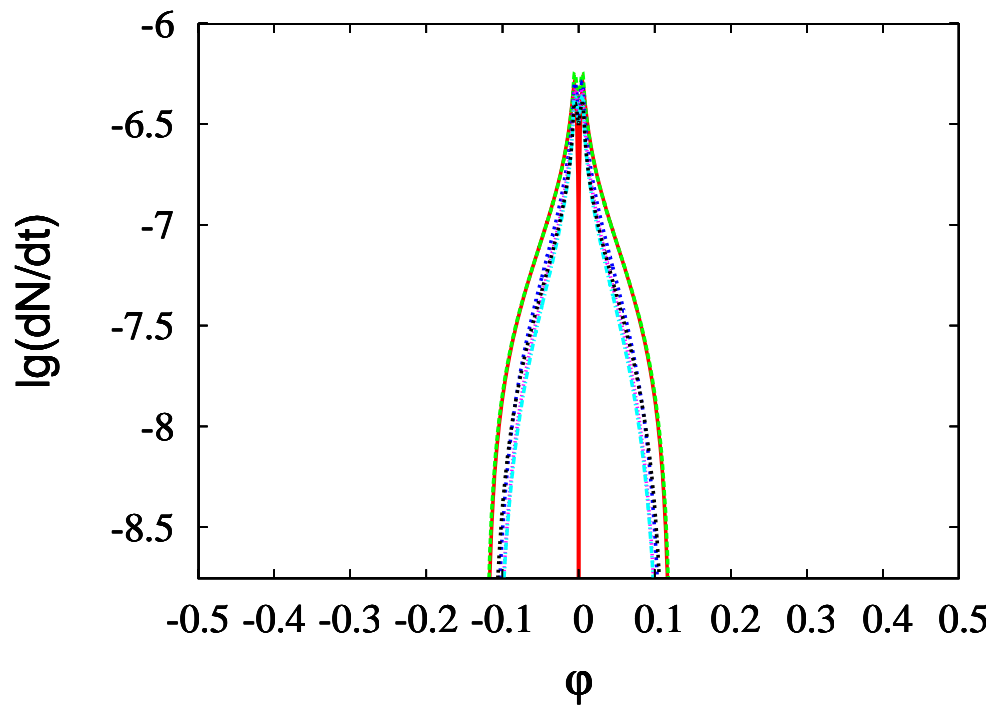
$B = 0.2, P = 0.5, \chi = 10^\circ, k = 0.15, \Delta = 0.1, \gamma = \pi, d = 1.5$



То же, что на рис.4

$B = 0.2, P = 0.5, \chi = 10^\circ, k = 0.15, \Delta = 0.1, \gamma = \pi, d = 1.5$

Форма импульса

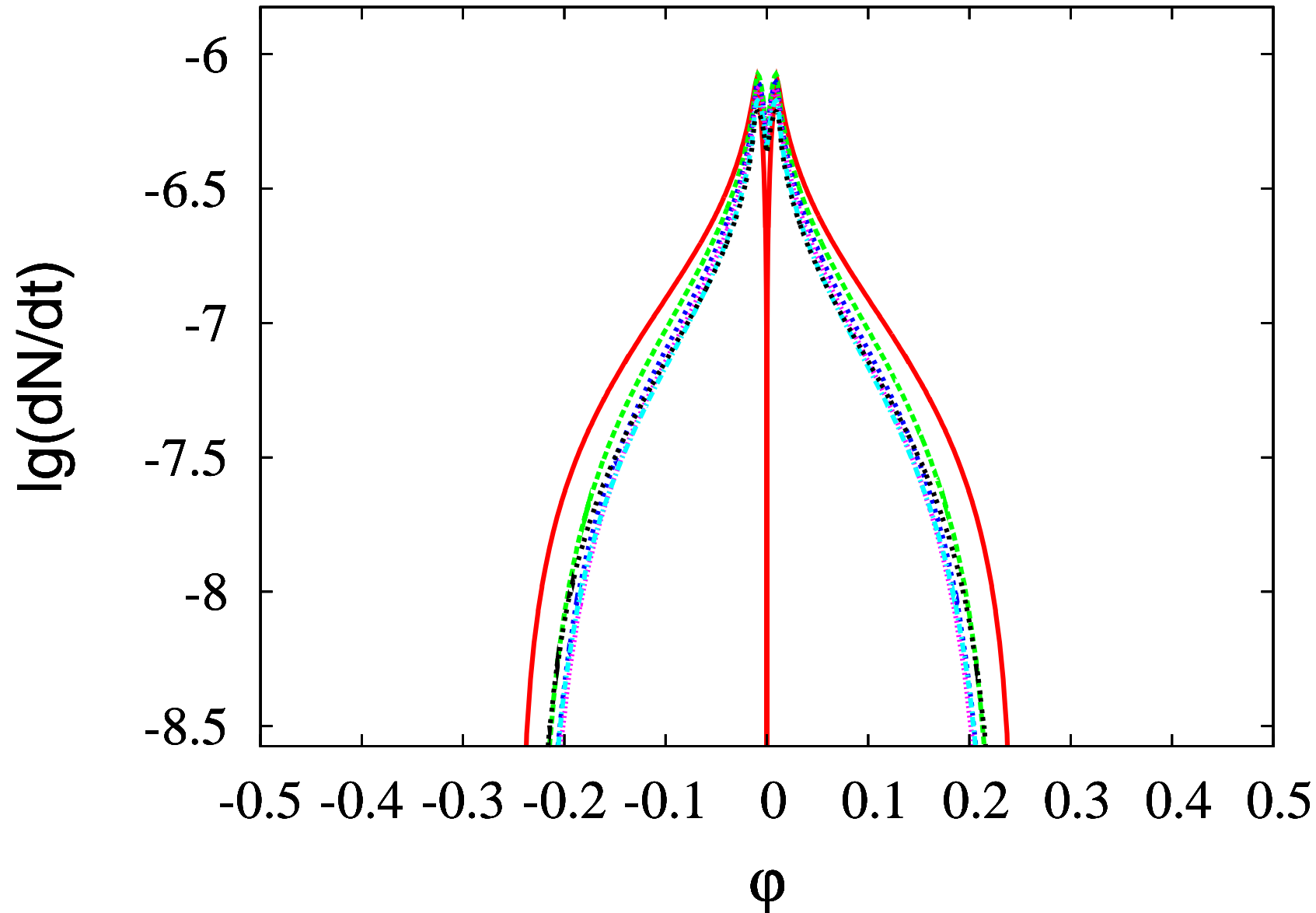


Форма импульса гамма-излучения пульсарной трубы для

$$B = 0.2, P = 0.5, \chi = 10^\circ, k = 0.15, \Delta = 0.1, \gamma = \pi, d = 0.2$$

Сплошная (красная) кривая соответствует дипольному полю ($\nu = 0$), штриховая с длинным штрихом (зеленая)– $\nu = 0.1$, штриховая с коротким штрихом (синяя)– $\nu = 0.2$, пунктирная (фиолетовая)– $\nu = 0.3$, штрих-пунктирная (сине-зеленая)– $\nu = 0.5$, пунктирная со сдвоенным пунктиром (черная)– $\nu = 0.7$.

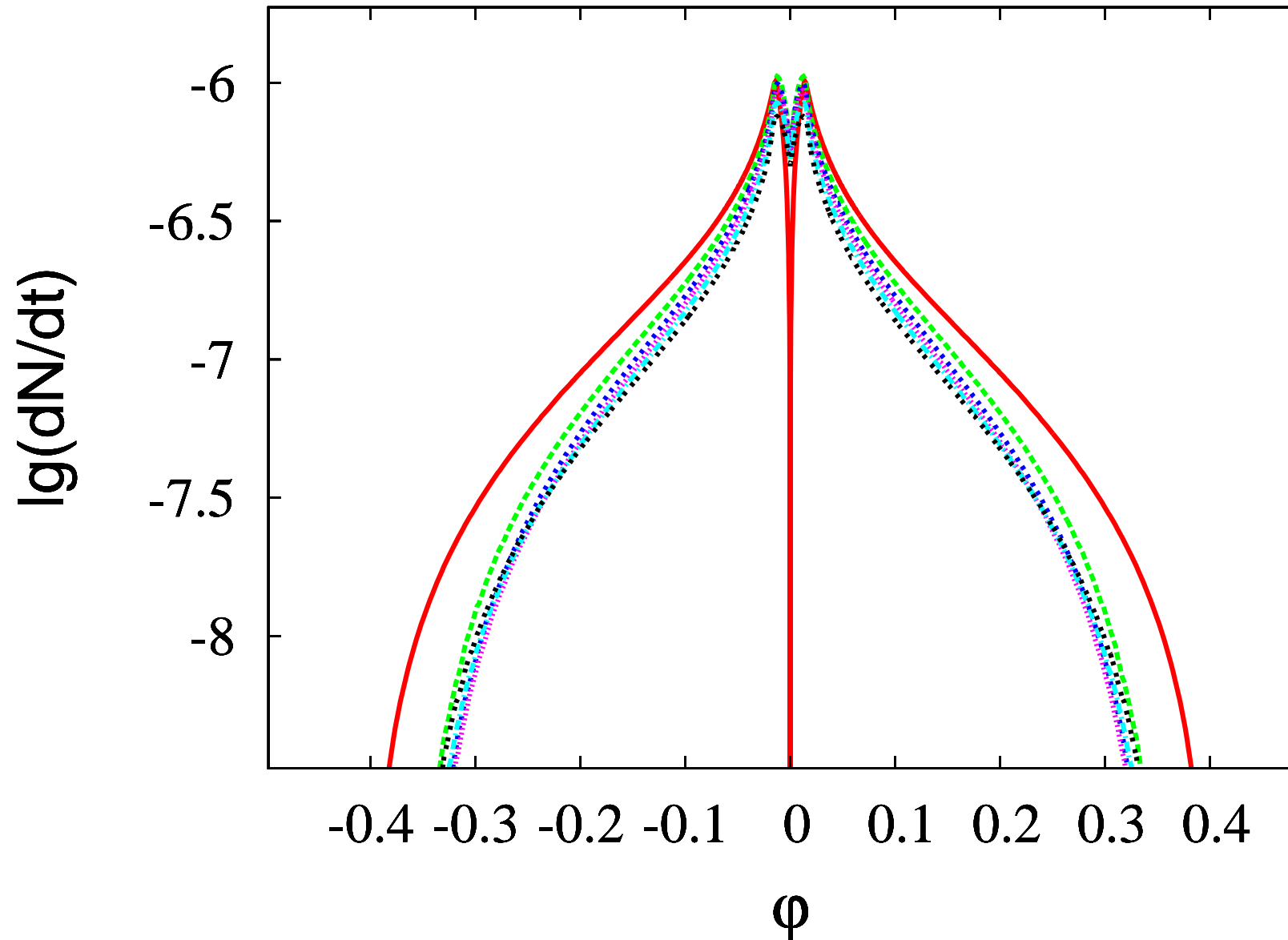
Интенсивность гамма-излучения $\frac{dN}{dt}$ измеряется в принимаемом потоке $\frac{\text{Фотон}}{\text{см}^2 \text{сек МэВ}}$ от источника, находящегося на расстоянии 1кпс. Энергия фотонов равна 100 эВ.



То же, что на рис.5

$$B = 0.2, P = 0.5, \chi = 10^\circ, k = 0.15, \Delta = 0.1, \gamma = \pi, d = 0.363, \frac{\Omega b}{c} = \frac{1}{3}$$

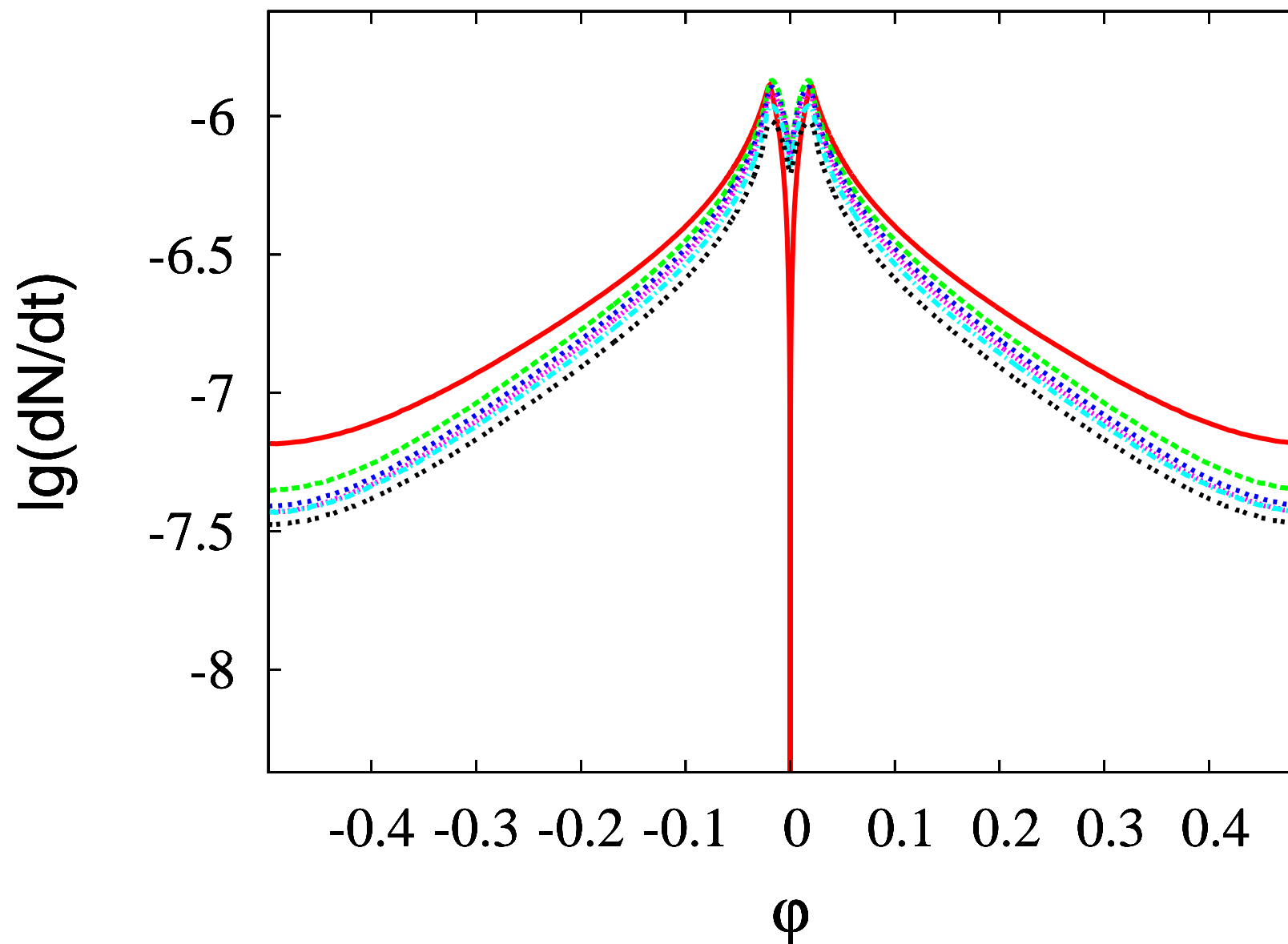
Энергия фотонов равна 100 эВ.



То же, что на рис.5

$B = 0.2, P = 0.5, \chi = 10^\circ, k = 0.15, \Delta = 0.1, \gamma = \pi, d = 0.5$

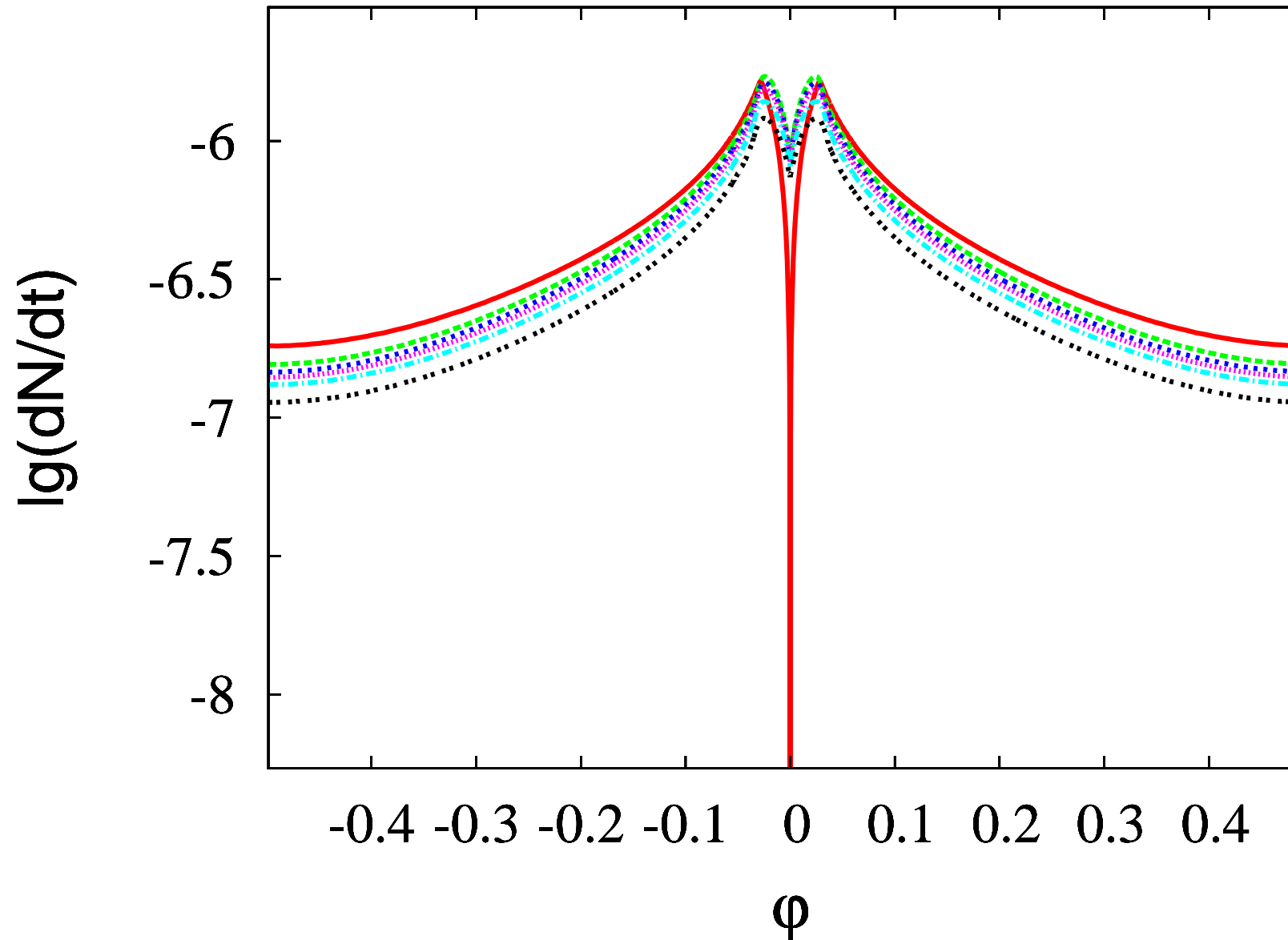
Энергия фотонов равна 100 эВ.



То же, что на рис.5

$B = 0.2, P = 0.5, \chi = 10^\circ, k = 0.15, \Delta = 0.1, \gamma = \pi, d = 0.71, \alpha_b = \frac{1}{2}, \beta = \pi$

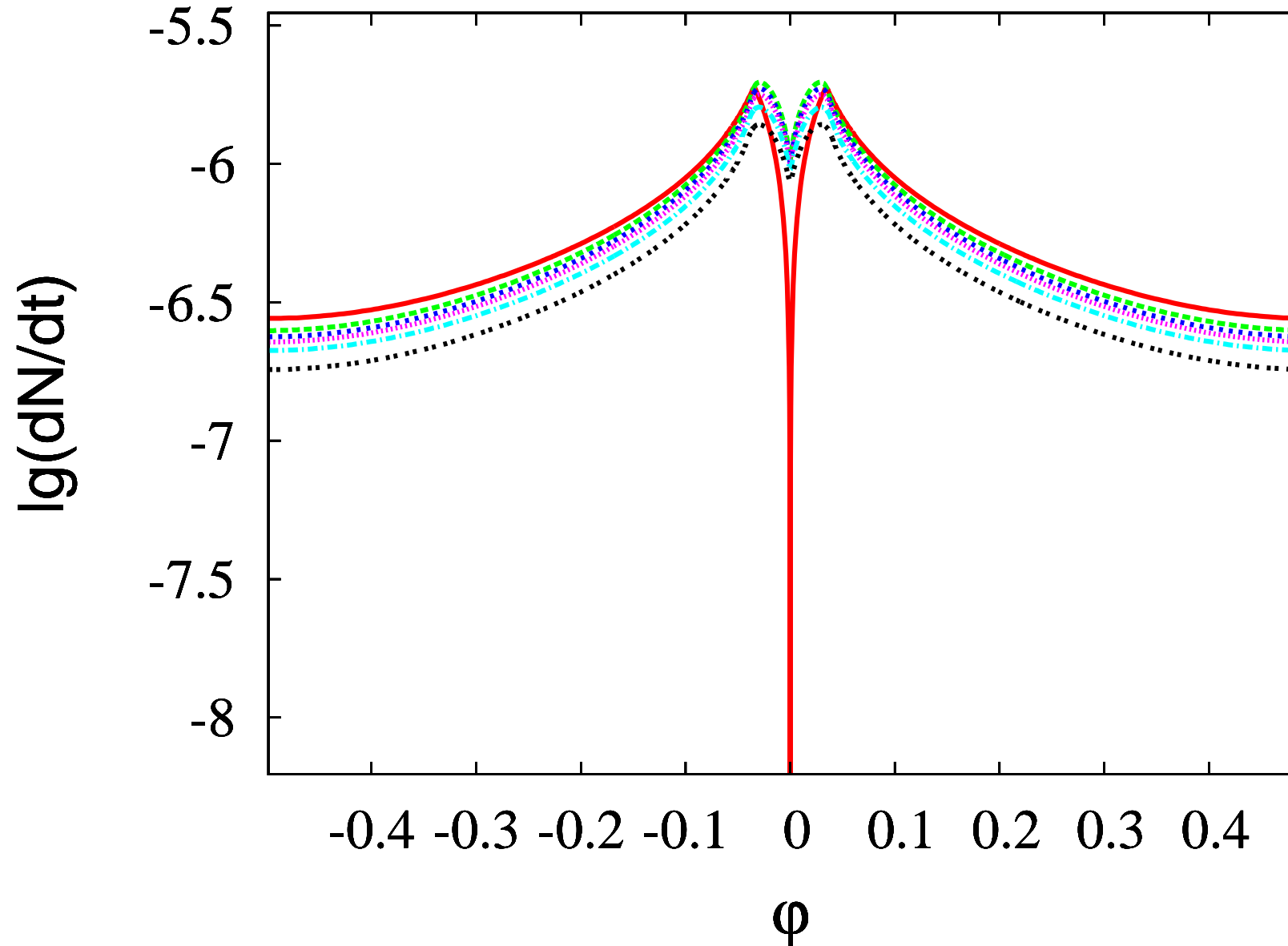
Энергия фотонов равна 100 эВ.



То же, что на рис.5

$B = 0.2, P = 0.5, \chi = 10^\circ, k = 0.15, \Delta = 0.1, \gamma = \pi, d = 1.0$

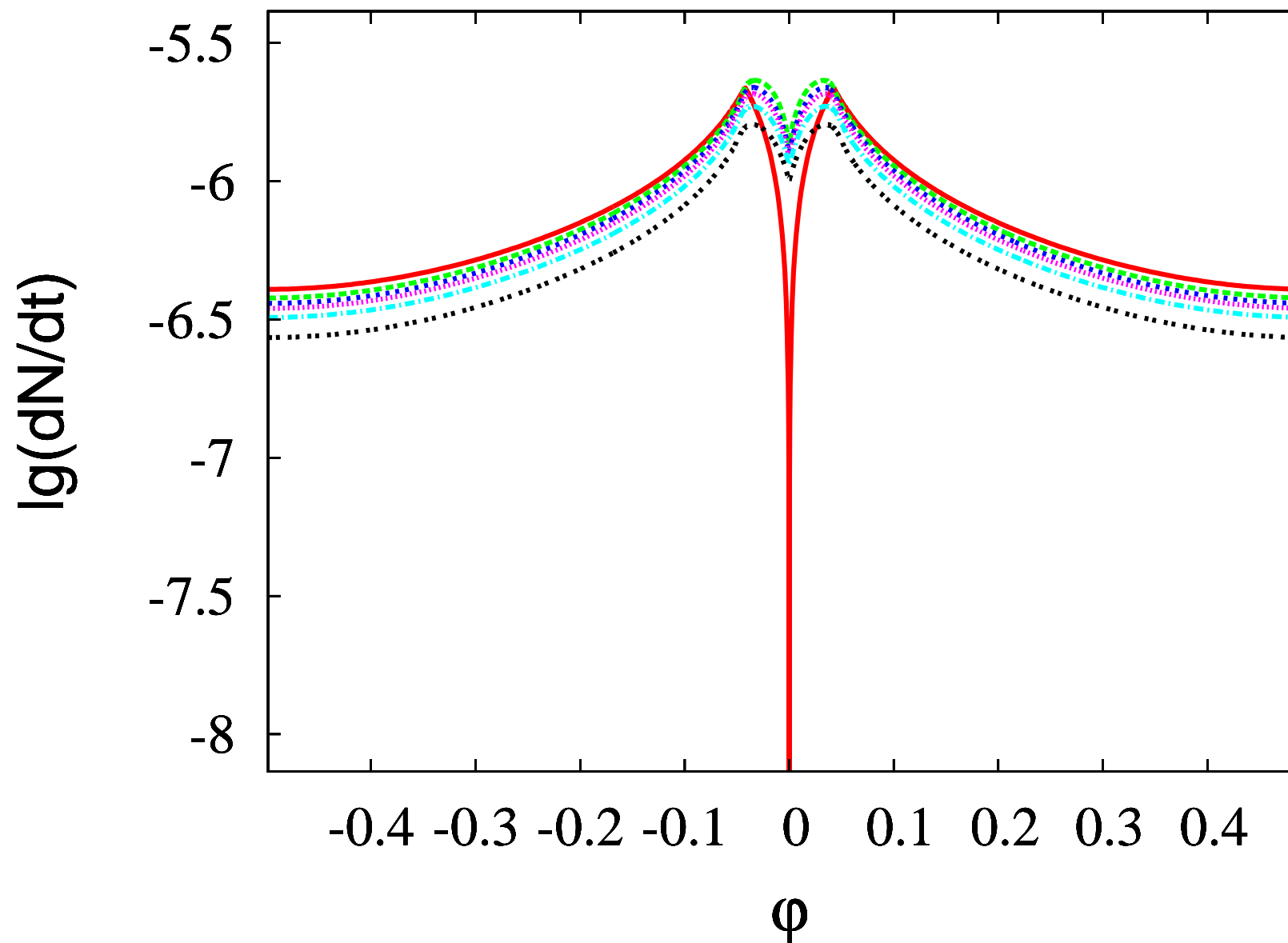
Энергия фотонов равна 100 эВ.



То же, что на рис.5

$B = 0.2, P = 0.5, \chi = 10^\circ, k = 0.15, \Delta = 0.1, \gamma = \pi, d = 1.22, \alpha_b = \frac{1}{2}, \beta = 0$

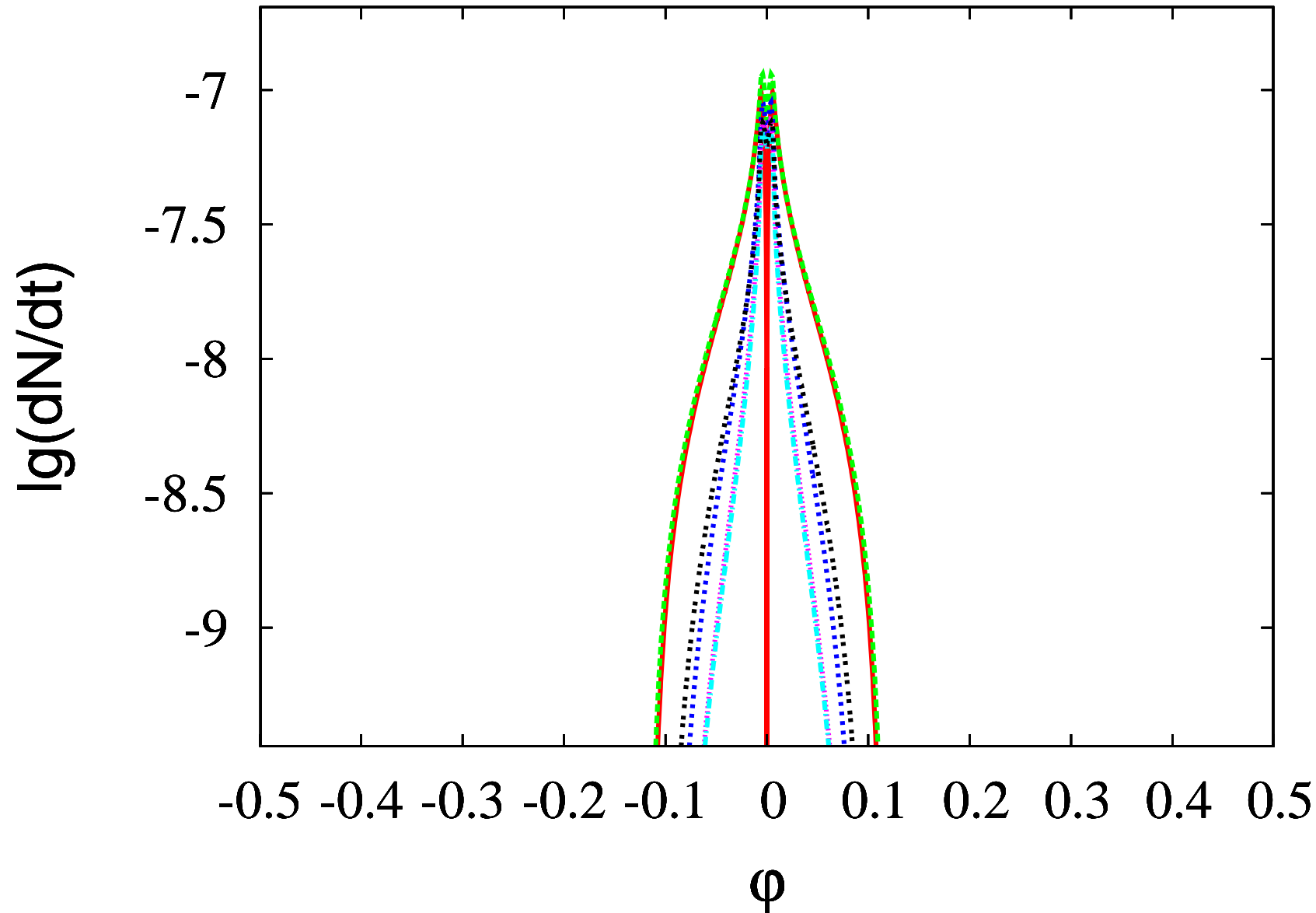
Энергия фотонов равна 100 эВ.



То же, что на рис.5

$B = 0.2, P = 0.5, \chi = 10^\circ, k = 0.15, \Delta = 0.1, \gamma = \pi, d = 1.5$

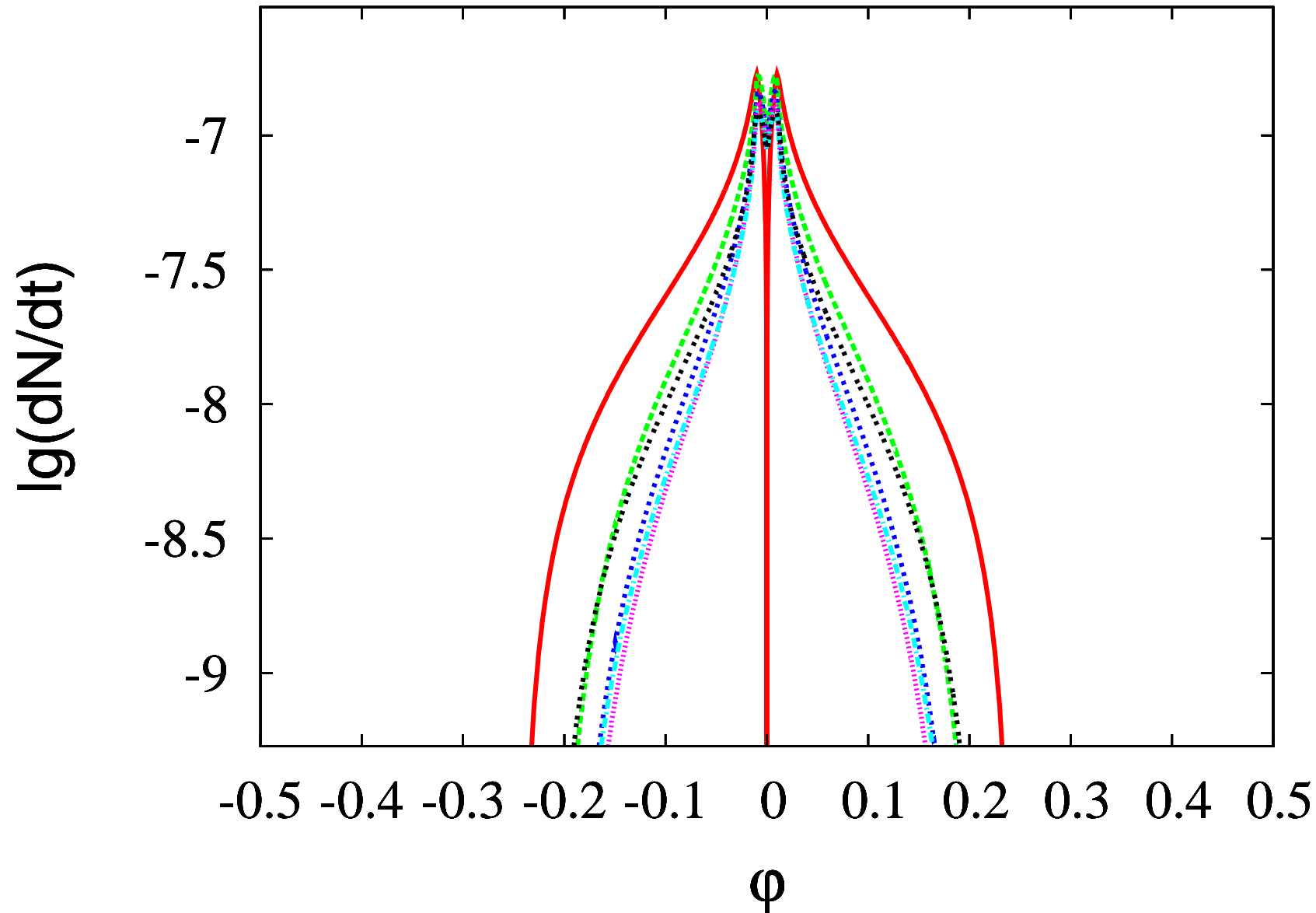
Энергия фотонов равна 100 эВ.



То же, что на рис.5

$B = 0.2, P = 0.5, \chi = 10^\circ, k = 0.15, \Delta = 0.1, \gamma = \pi, d = 0.2$

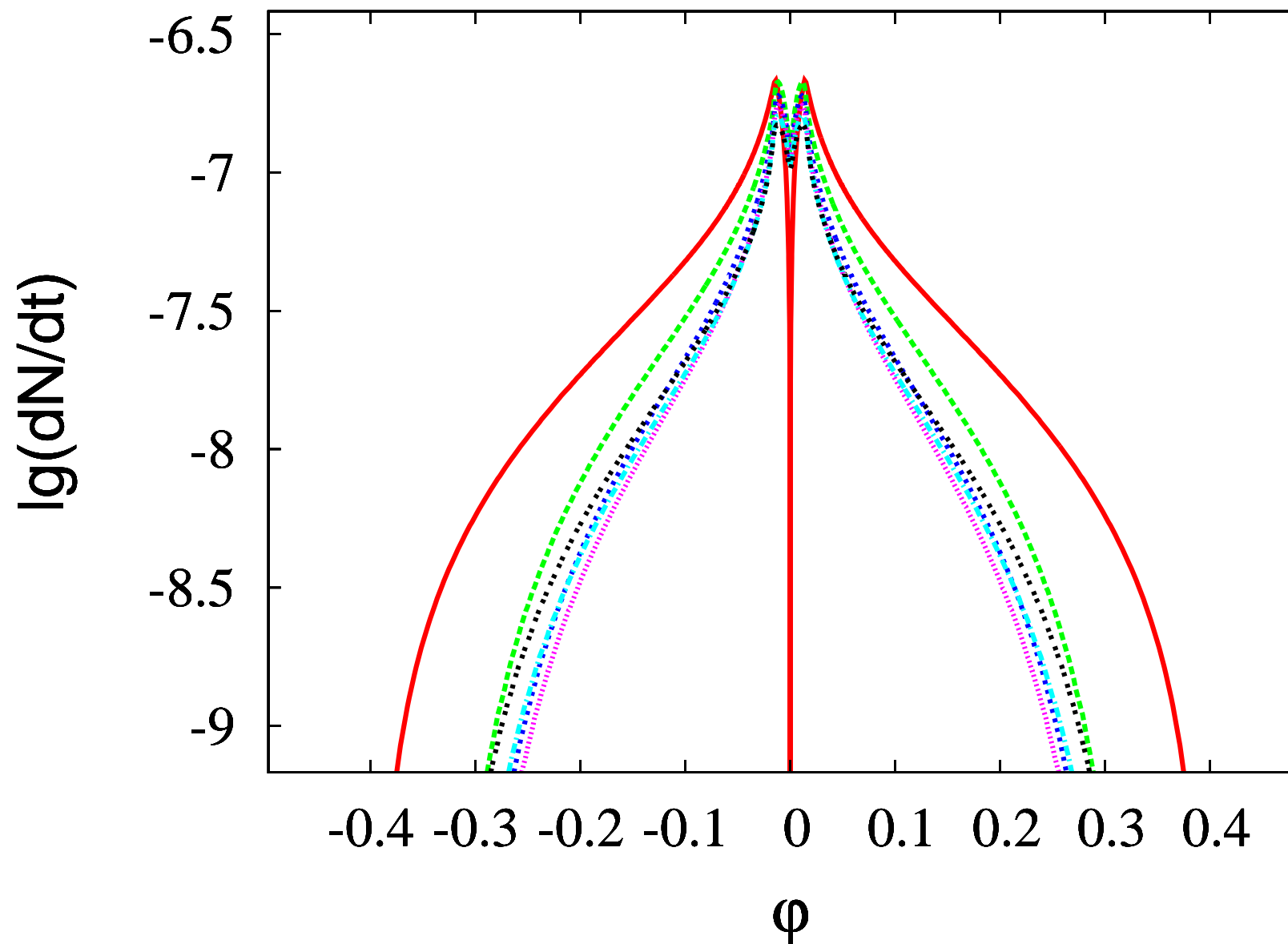
Энергия фотонов равна 1 кэВ.



То же, что на рис.5

$B = 0.2, P = 0.5, \chi = 10^\circ, k = 0.15, \Delta = 0.1, \gamma = \pi, d = 0.363, \frac{\Omega b}{c} = \frac{1}{3}$

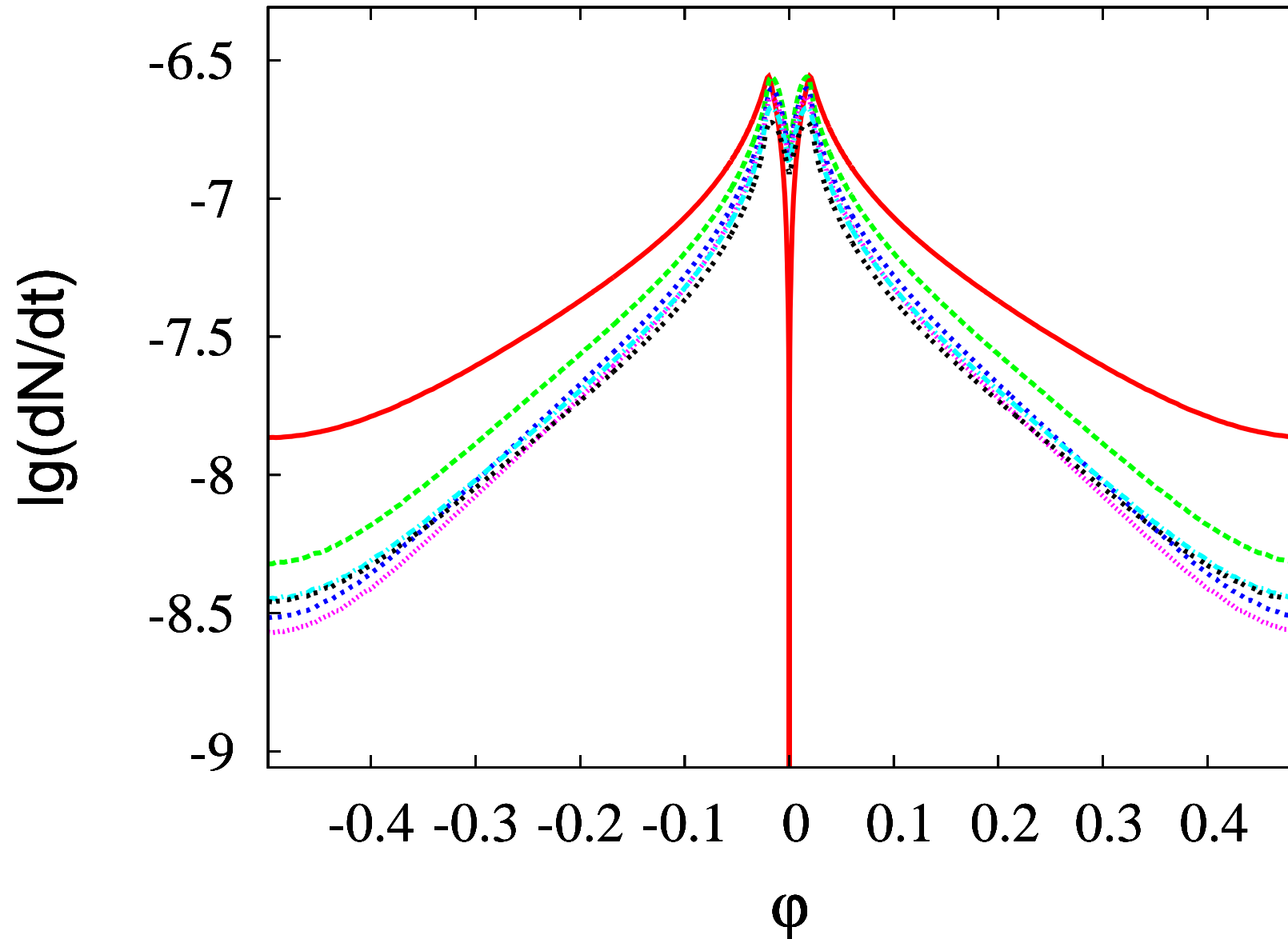
Энергия фотонов равна 1 кэВ.



То же, что на рис.5

$B = 0.2, P = 0.5, \chi = 10^\circ, k = 0.15, \Delta = 0.1, \gamma = \pi, d = 0.5$

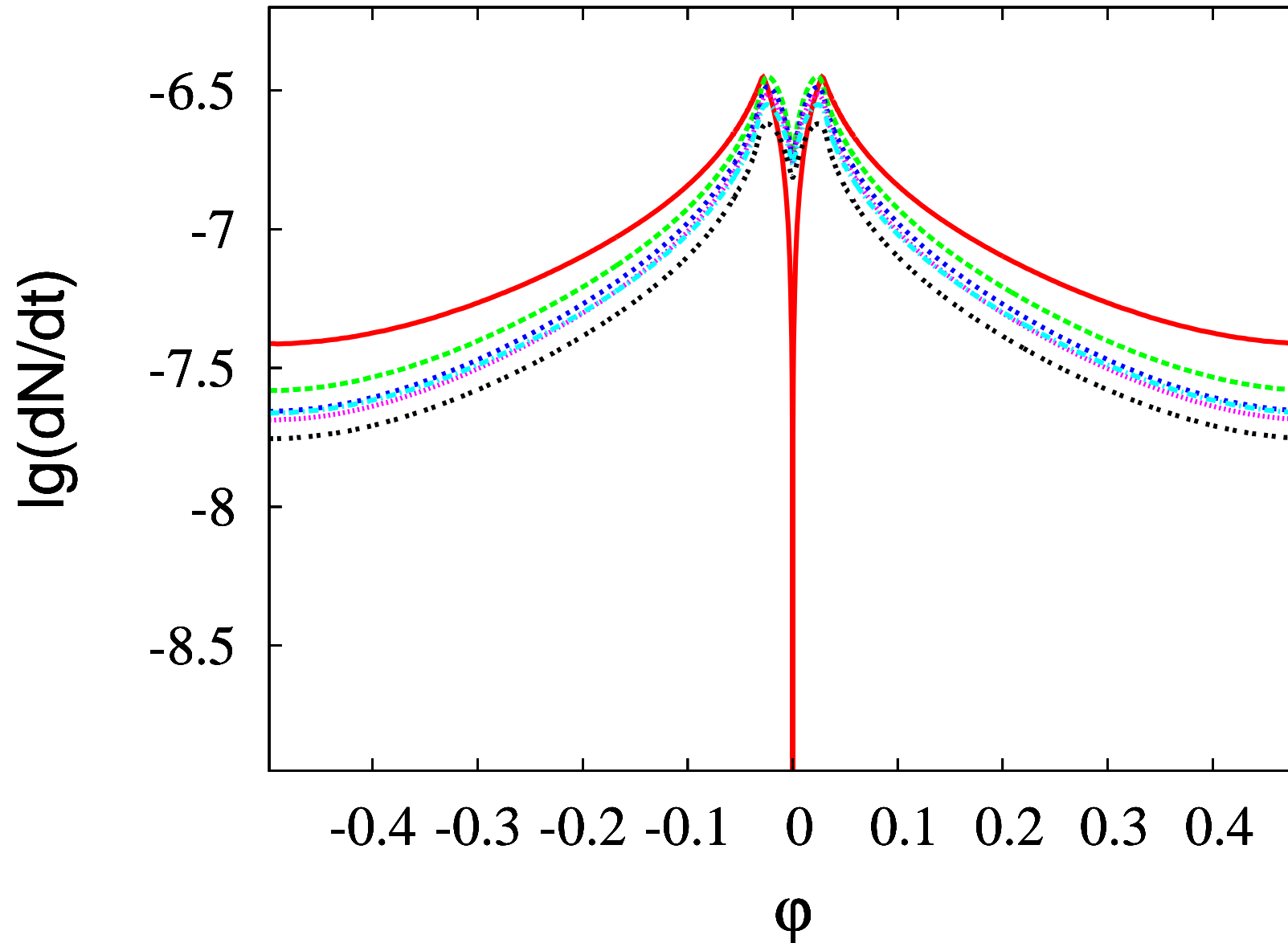
Энергия фотонов равна 1 кэВ.



То же, что на рис.5

$B = 0.2, P = 0.5, \chi = 10^\circ, k = 0.15, \Delta = 0.1, \gamma = \pi, d = 0.71, \alpha_b = \frac{1}{2}, \beta = \pi$

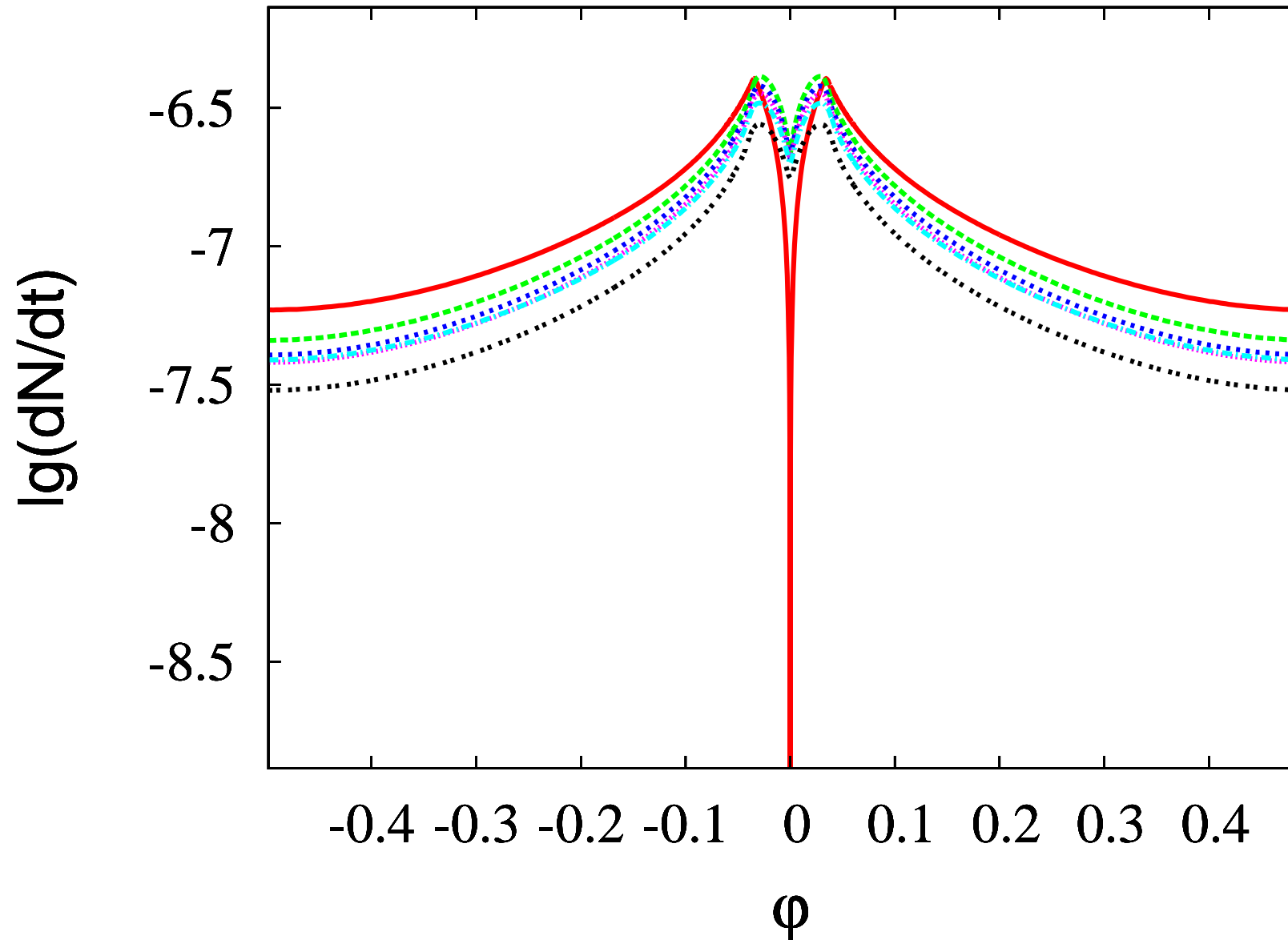
Энергия фотонов равна 1 кэВ.



То же, что на рис.5

$B = 0.2, P = 0.5, \chi = 10^\circ, k = 0.15, \Delta = 0.1, \gamma = \pi, d = 1.0$

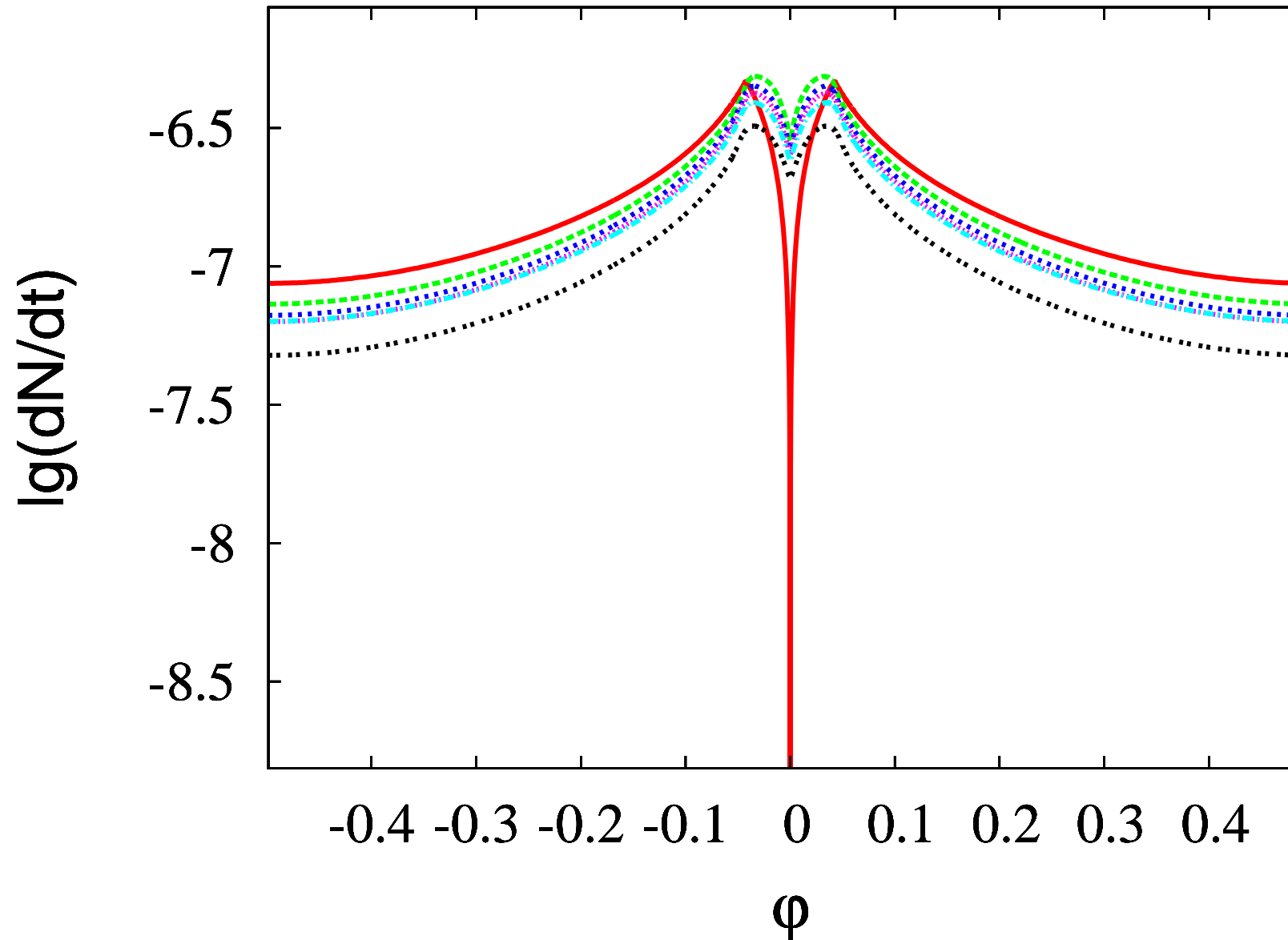
Энергия фотонов равна 1 кэВ.



То же, что на рис.5

$B = 0.2, P = 0.5, \chi = 10^\circ, k = 0.15, \Delta = 0.1, \gamma = \pi, d = 1.22, \alpha_b = \frac{1}{2}, \beta = 0$

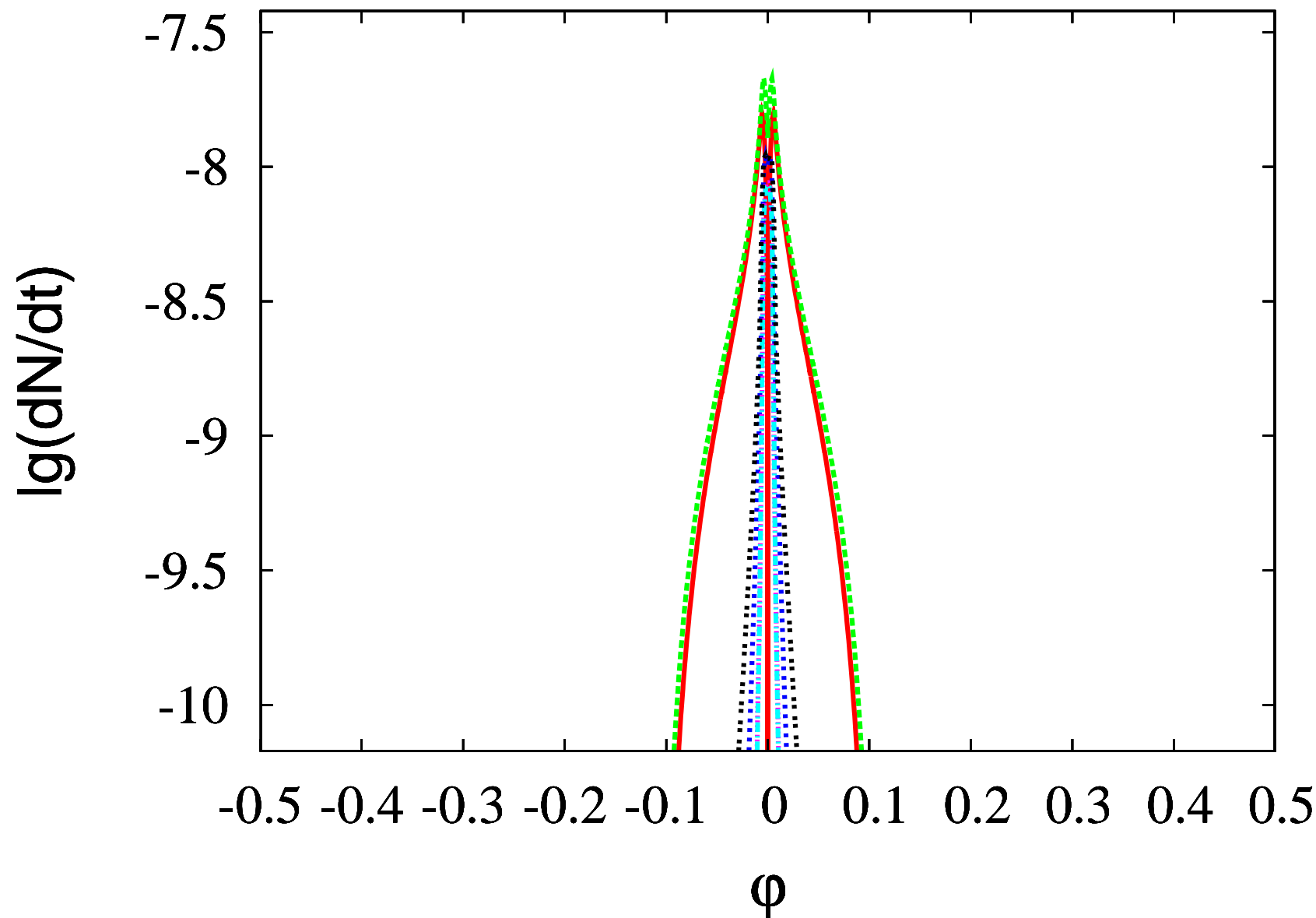
Энергия фотонов равна 1 кэВ.



То же, что на рис.5

$B = 0.2, P = 0.5, \chi = 10^\circ, k = 0.15, \Delta = 0.1, \gamma = \pi, d = 1.5$

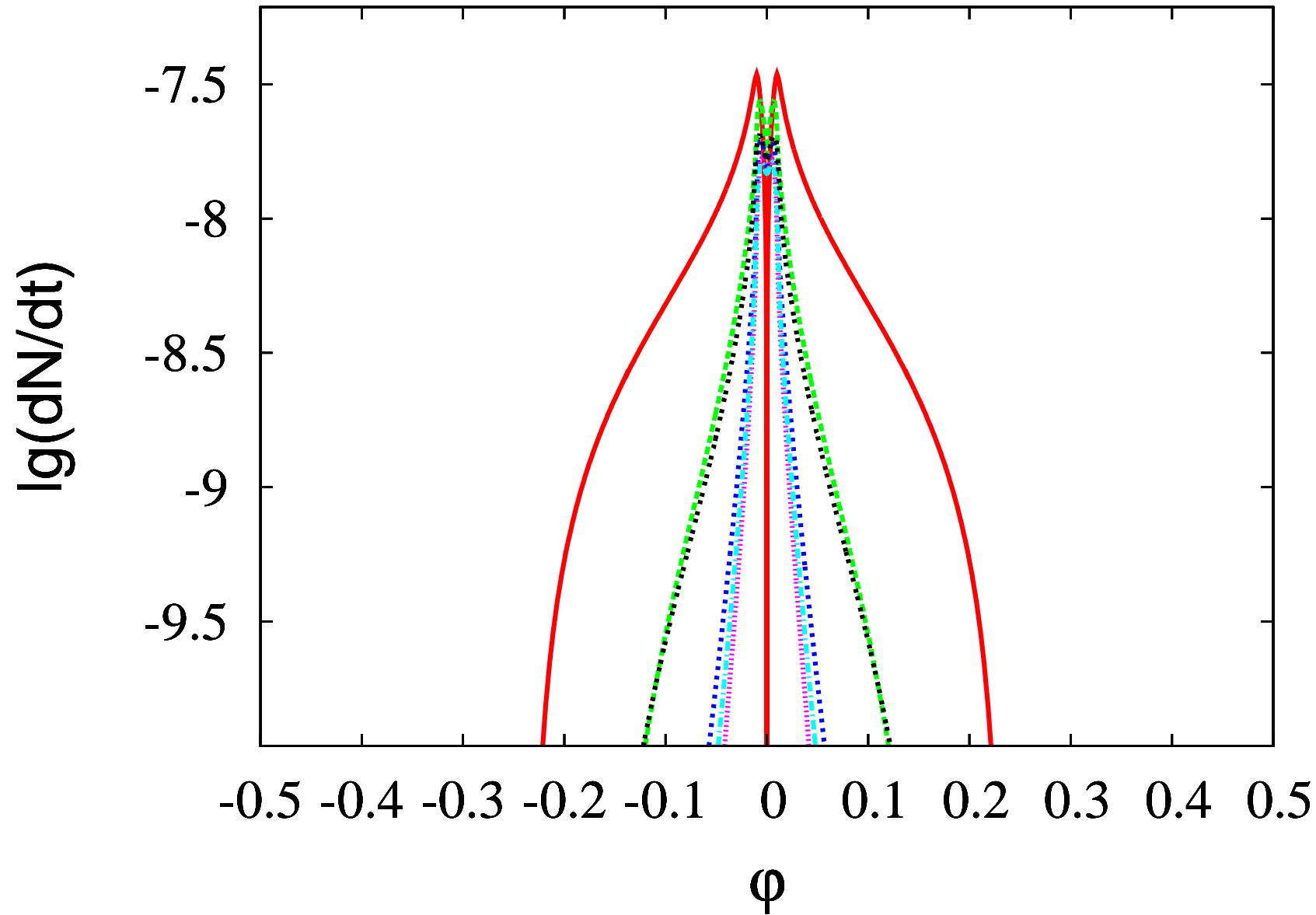
Энергия фотонов равна 1 кэВ.



То же, что на рис.5

$B = 0.2, P = 0.5, \chi = 10^\circ, k = 0.15, \Delta = 0.1, \gamma = \pi, d = 0.2$

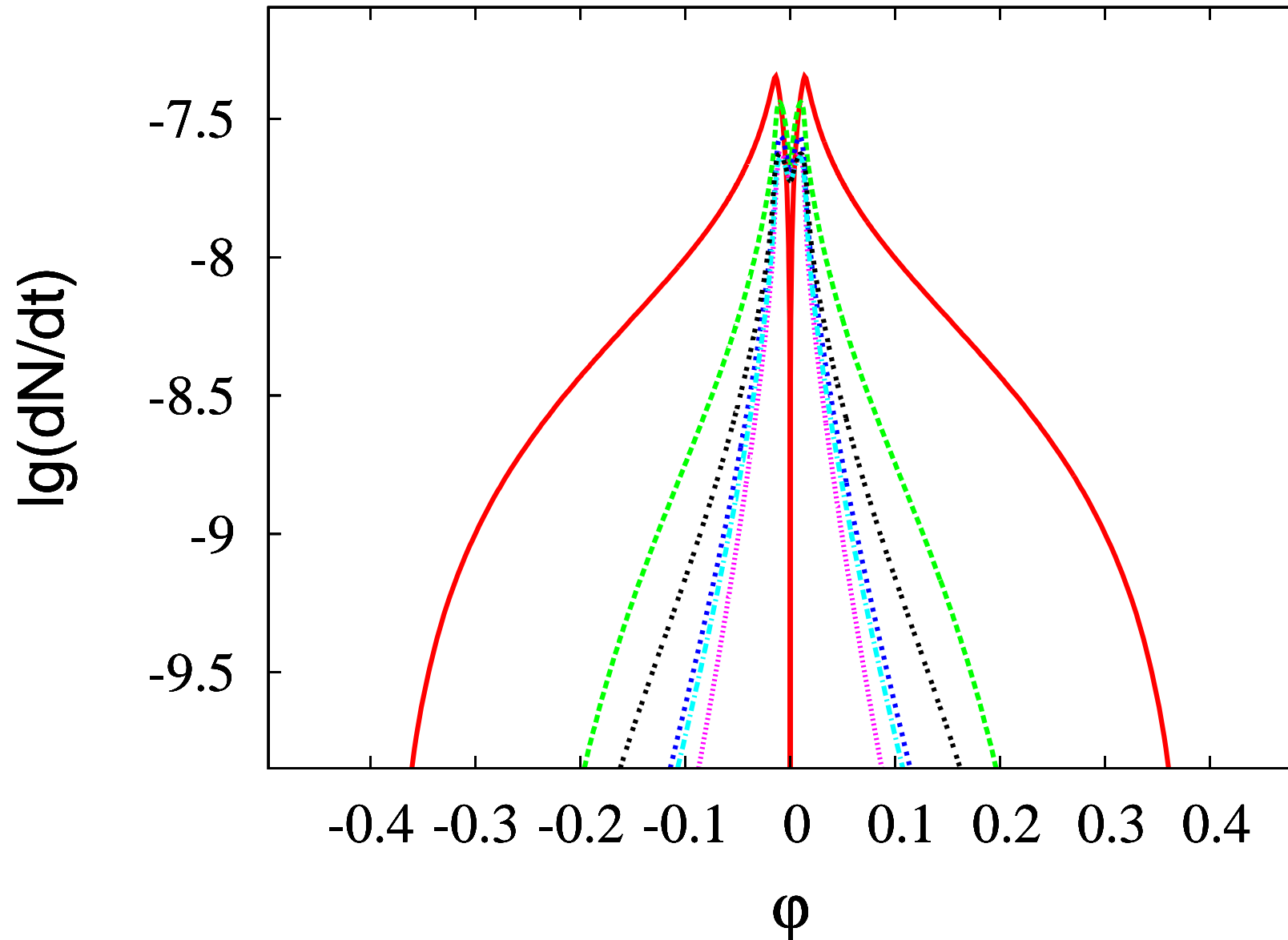
Энергия фотонов равна 10 кэВ.



То же, что на рис.5

$$B = 0.2, P = 0.5, \chi = 10^\circ, k = 0.15, \Delta = 0.1, \gamma = \pi, d = 0.363, \frac{\Omega b}{c} = \frac{1}{3}$$

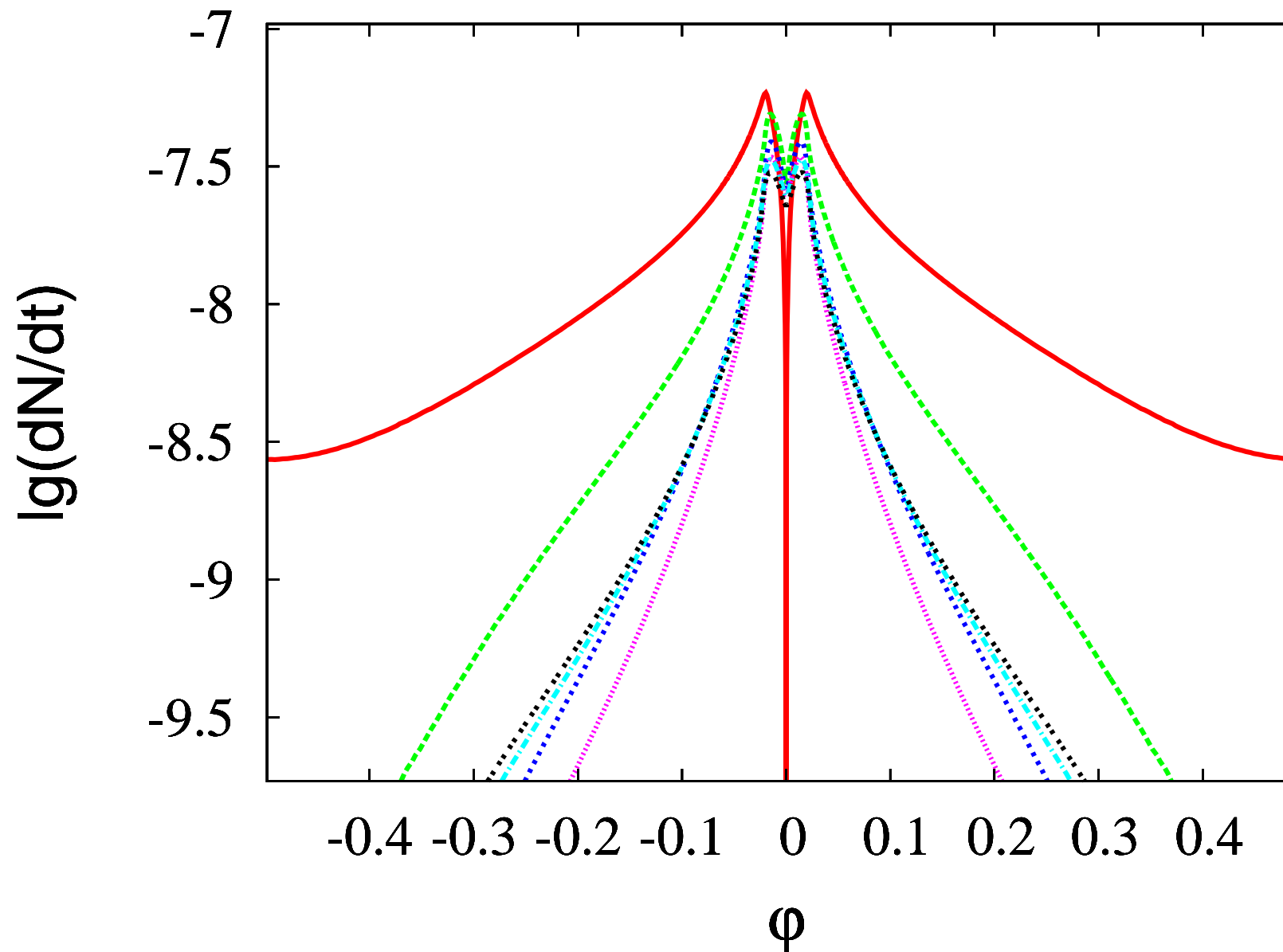
Энергия фотонов равна 10 кэВ.



То же, что на рис.5

$B = 0.2, P = 0.5, \chi = 10^\circ, k = 0.15, \Delta = 0.1, \gamma = \pi, d = 0.5$

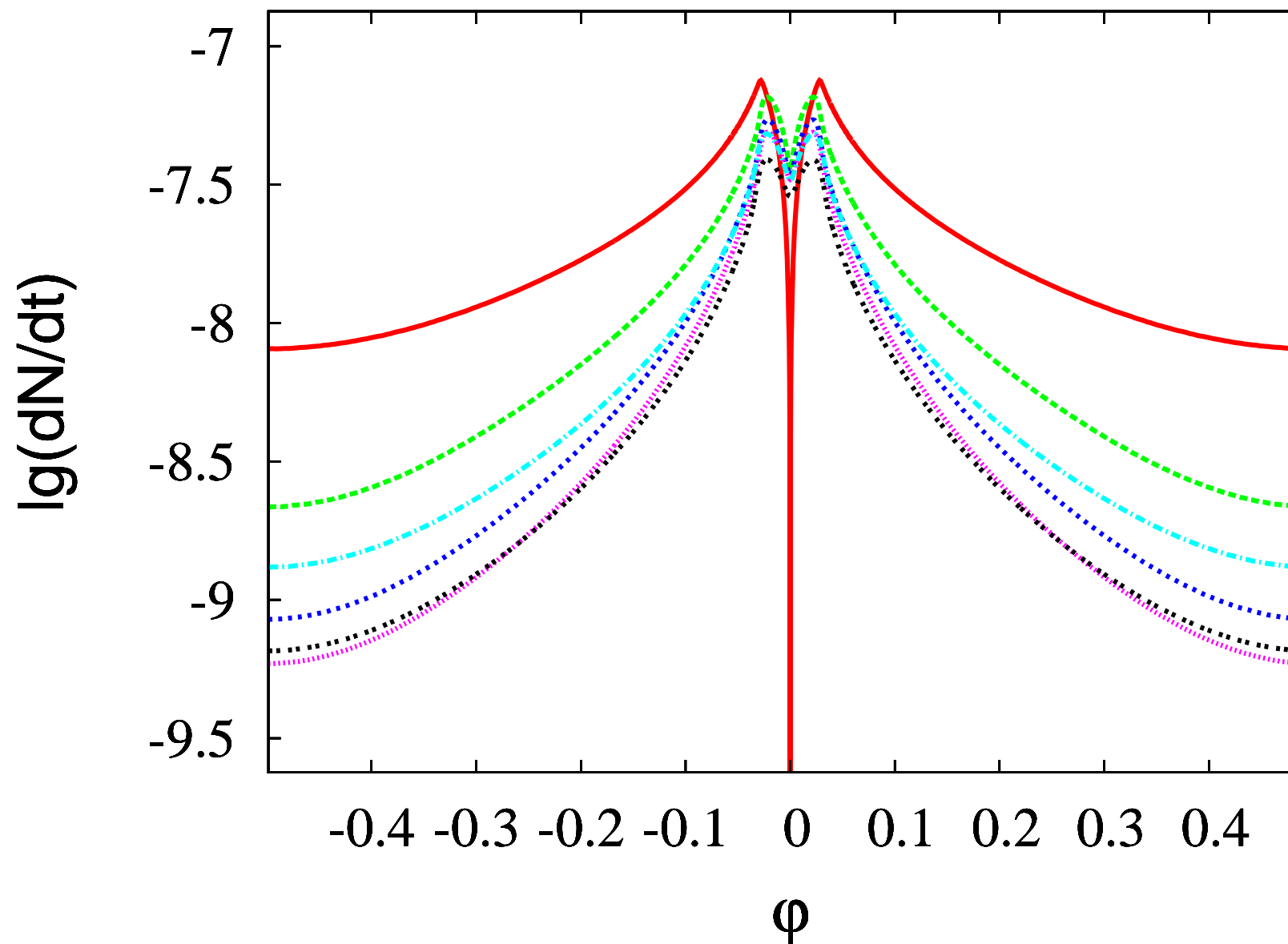
Энергия фотонов равна 10 кэВ.



То же, что на рис.5

$B = 0.2, P = 0.5, \chi = 10^\circ, k = 0.15, \Delta = 0.1, \gamma = \pi, d = 0.71, \alpha_b = \frac{1}{2}, \beta = \pi$

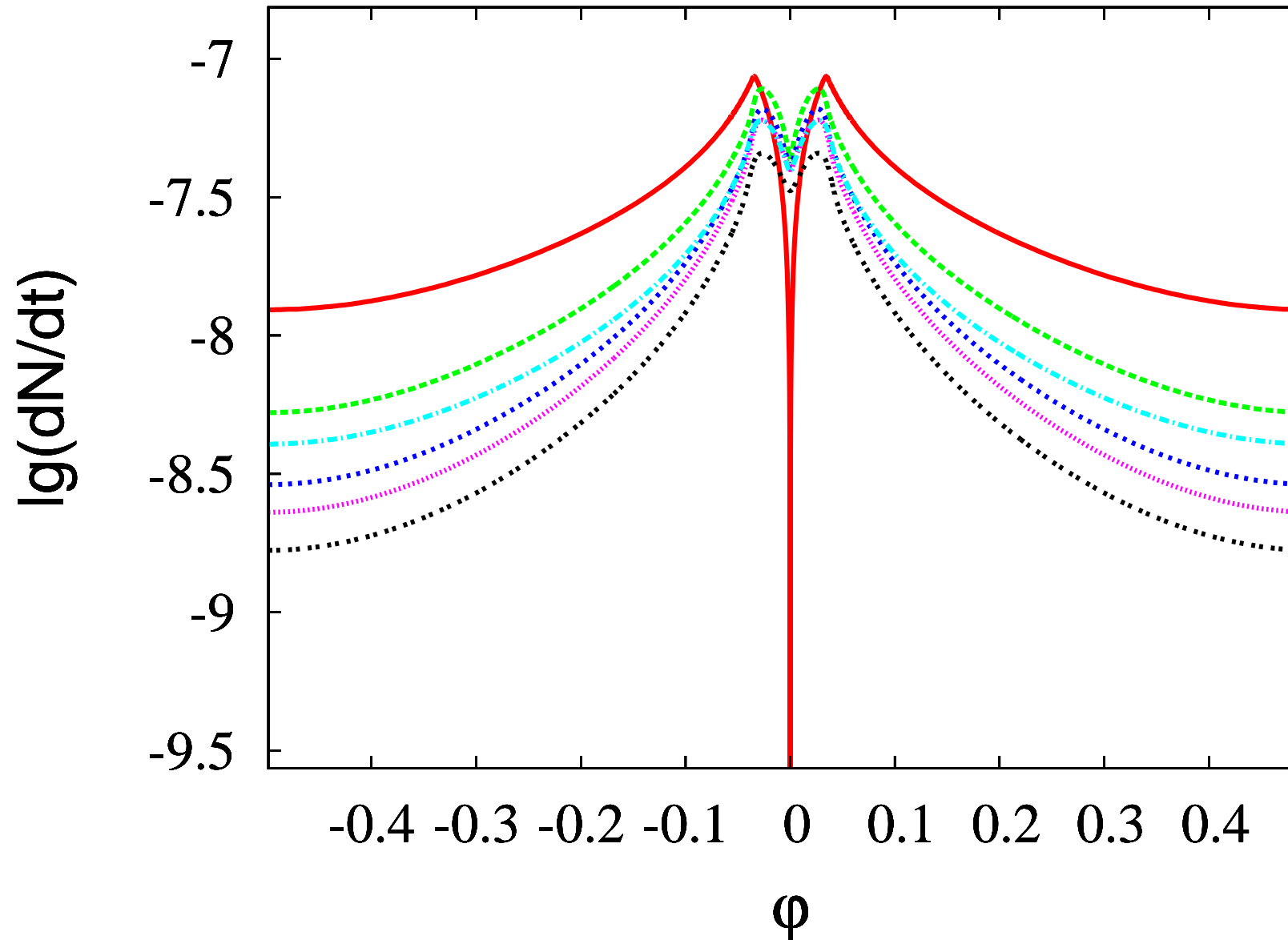
Энергия фотонов равна 10 кэВ.



То же, что на рис.5

$B = 0.2, P = 0.5, \chi = 10^\circ, k = 0.15, \Delta = 0.1, \gamma = \pi, d = 1.0$

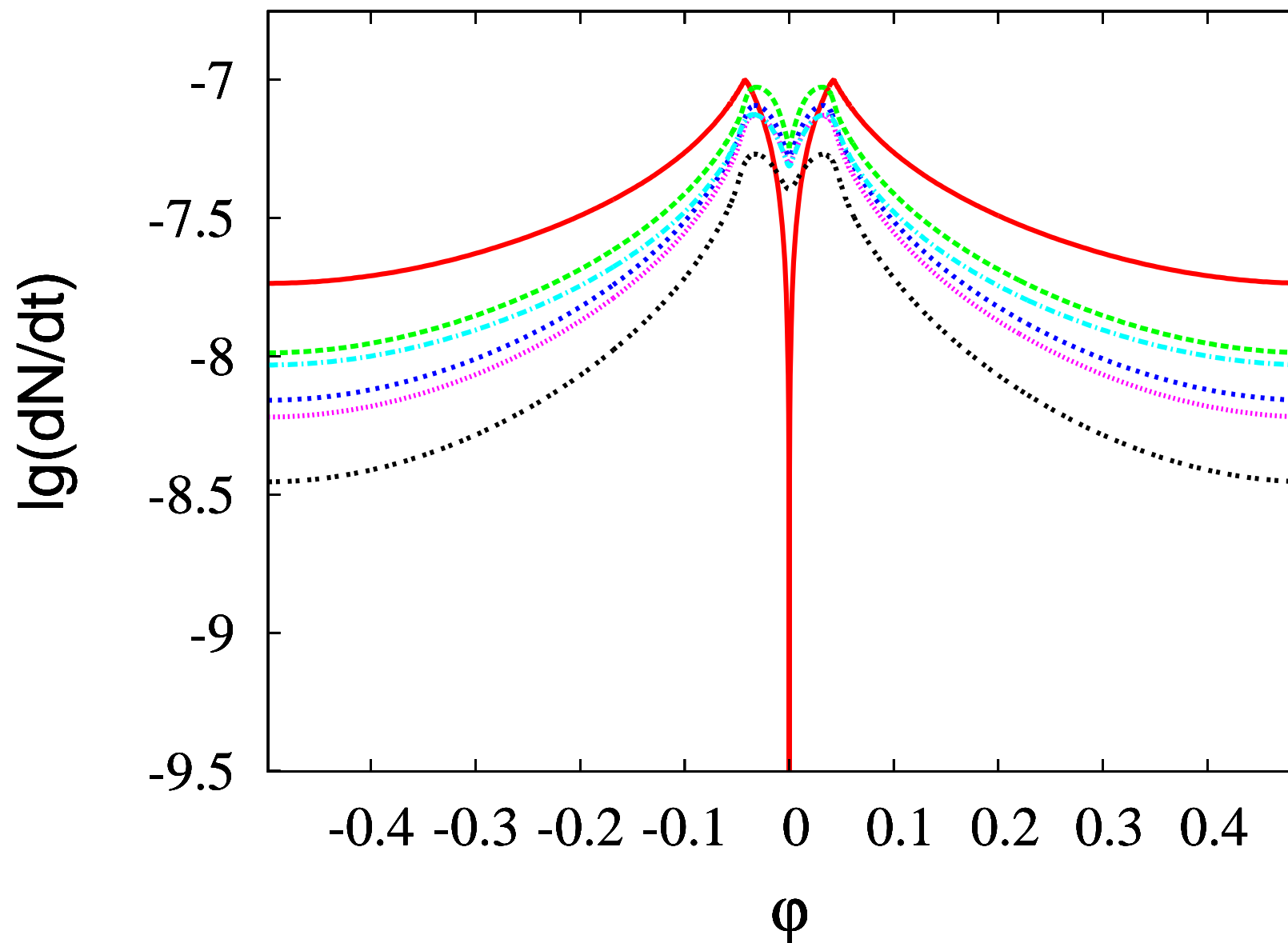
Энергия фотонов равна 10 кэВ.



То же, что на рис.5

$B = 0.2, P = 0.5, \chi = 10^\circ, k = 0.15, \Delta = 0.1, \gamma = \pi, d = 1.22, \alpha_b = \frac{1}{2}, \beta = 0$

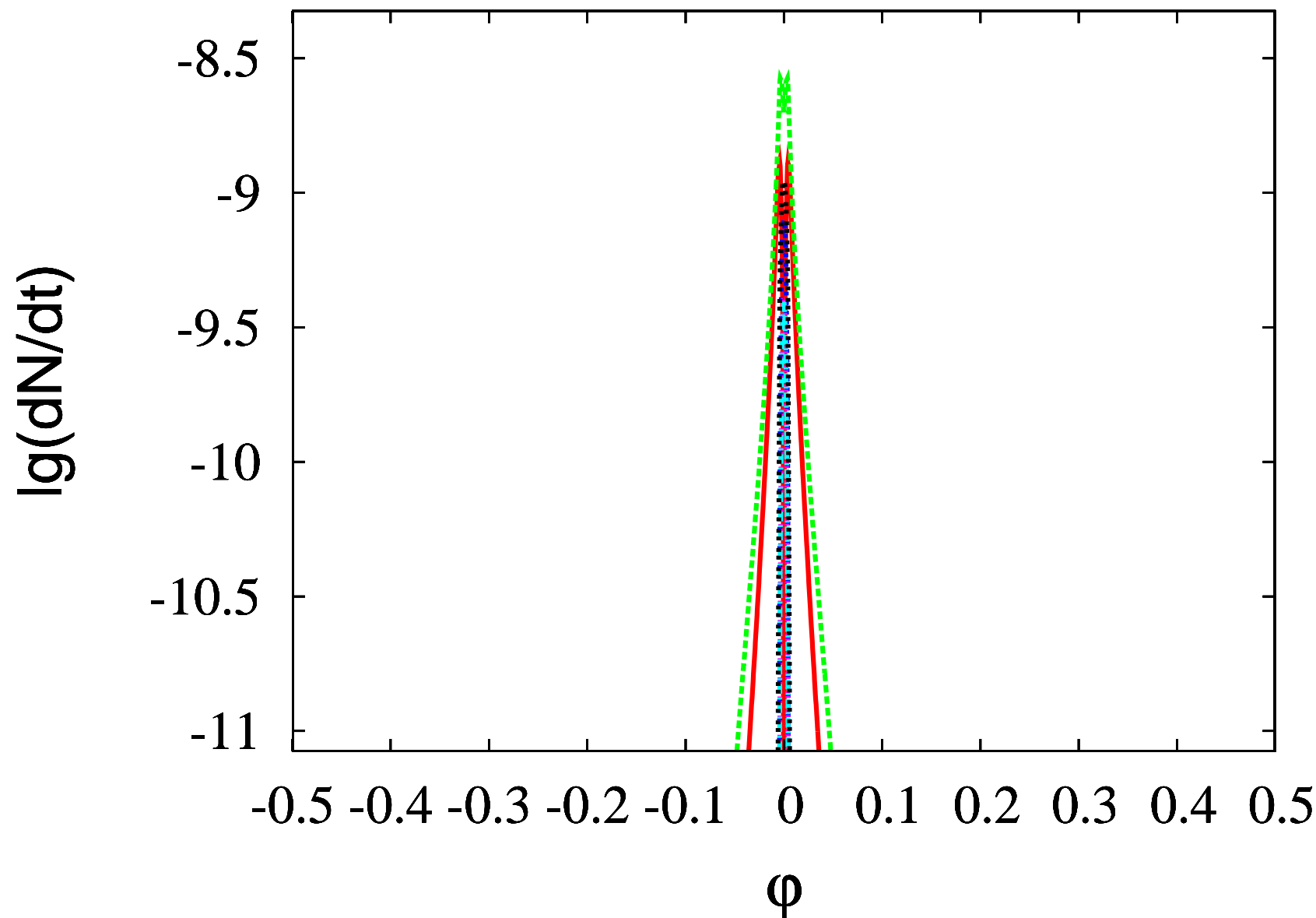
Энергия фотонов равна 10 кэВ.



То же, что на рис.5

$B = 0.2, P = 0.5, \chi = 10^\circ, k = 0.15, \Delta = 0.1, \gamma = \pi, d = 1.5$

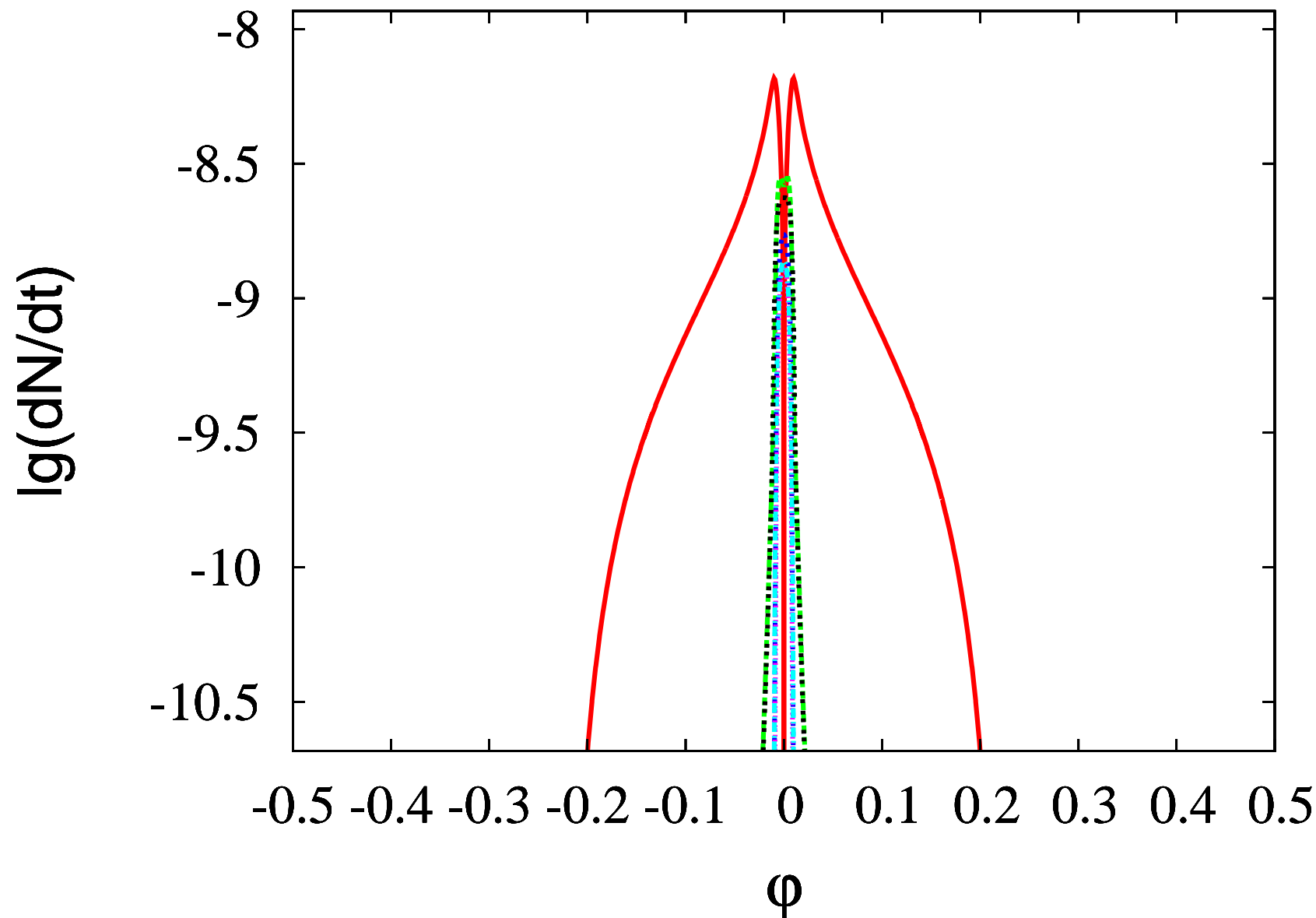
Энергия фотонов равна 10 кэВ.



То же, что на рис.5

$B = 0.2, P = 0.5, \chi = 10^\circ, k = 0.15, \Delta = 0.1, \gamma = \pi, d = 0.2$

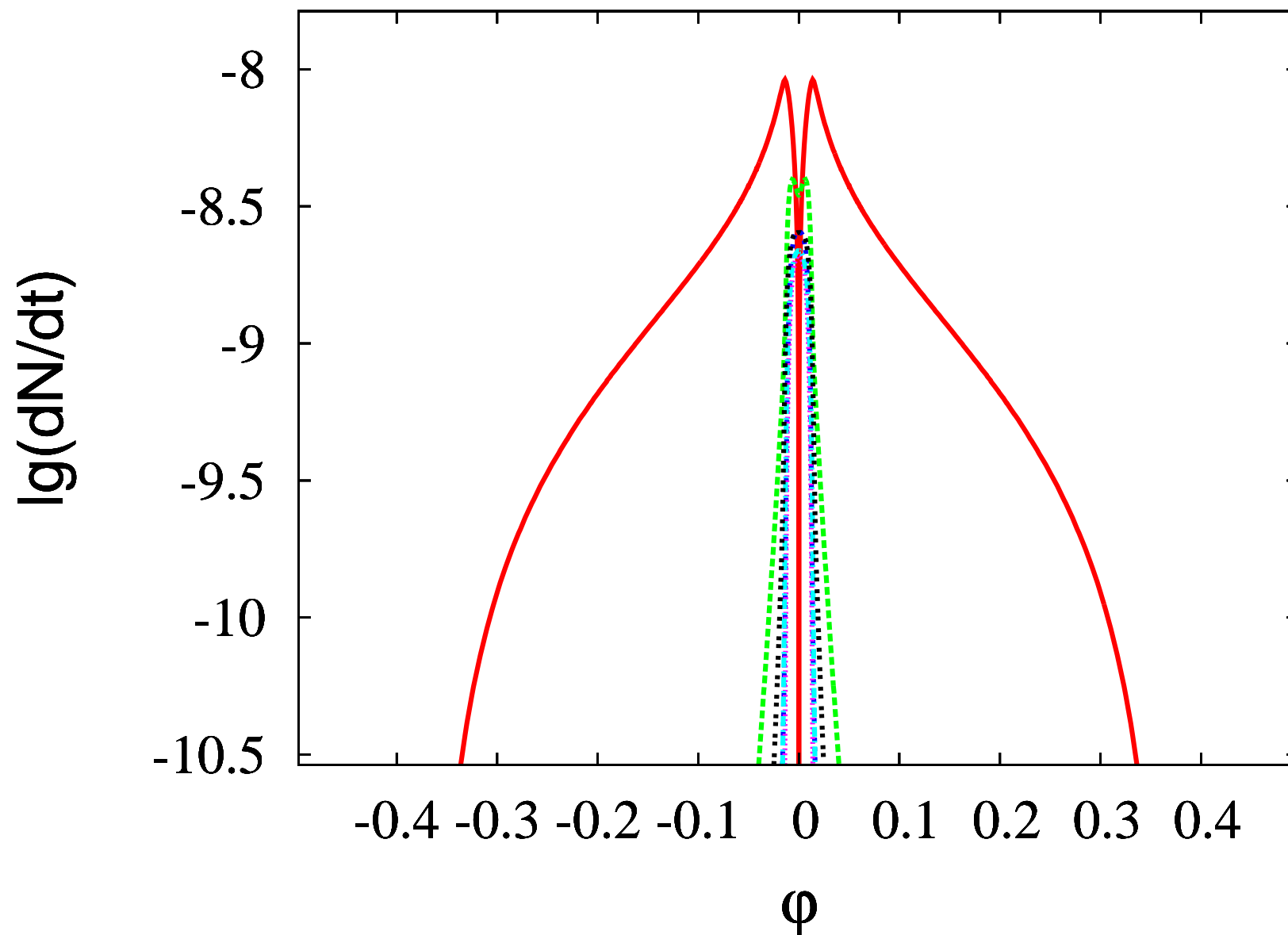
Энергия фотонов равна 100 кэВ.



То же, что на рис.5

$B = 0.2, P = 0.5, \chi = 10^\circ, k = 0.15, \Delta = 0.1, \gamma = \pi, d = 0.363, \frac{\Omega b}{c} = \frac{1}{3}$

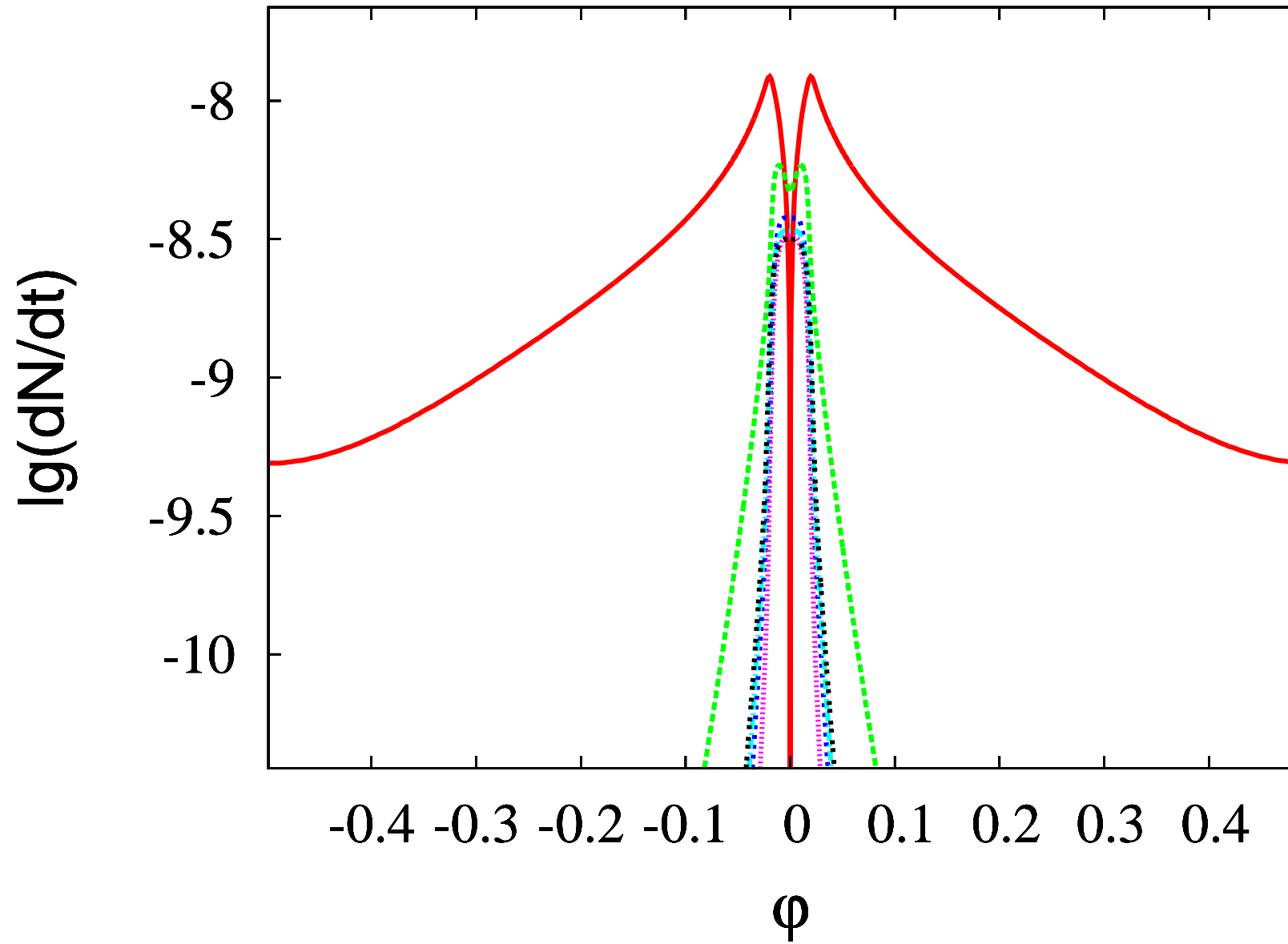
Энергия фотонов равна 100 кэВ.



То же, что на рис.5

$B = 0.2, P = 0.5, \chi = 10^\circ, k = 0.15, \Delta = 0.1, \gamma = \pi, d = 0.5$

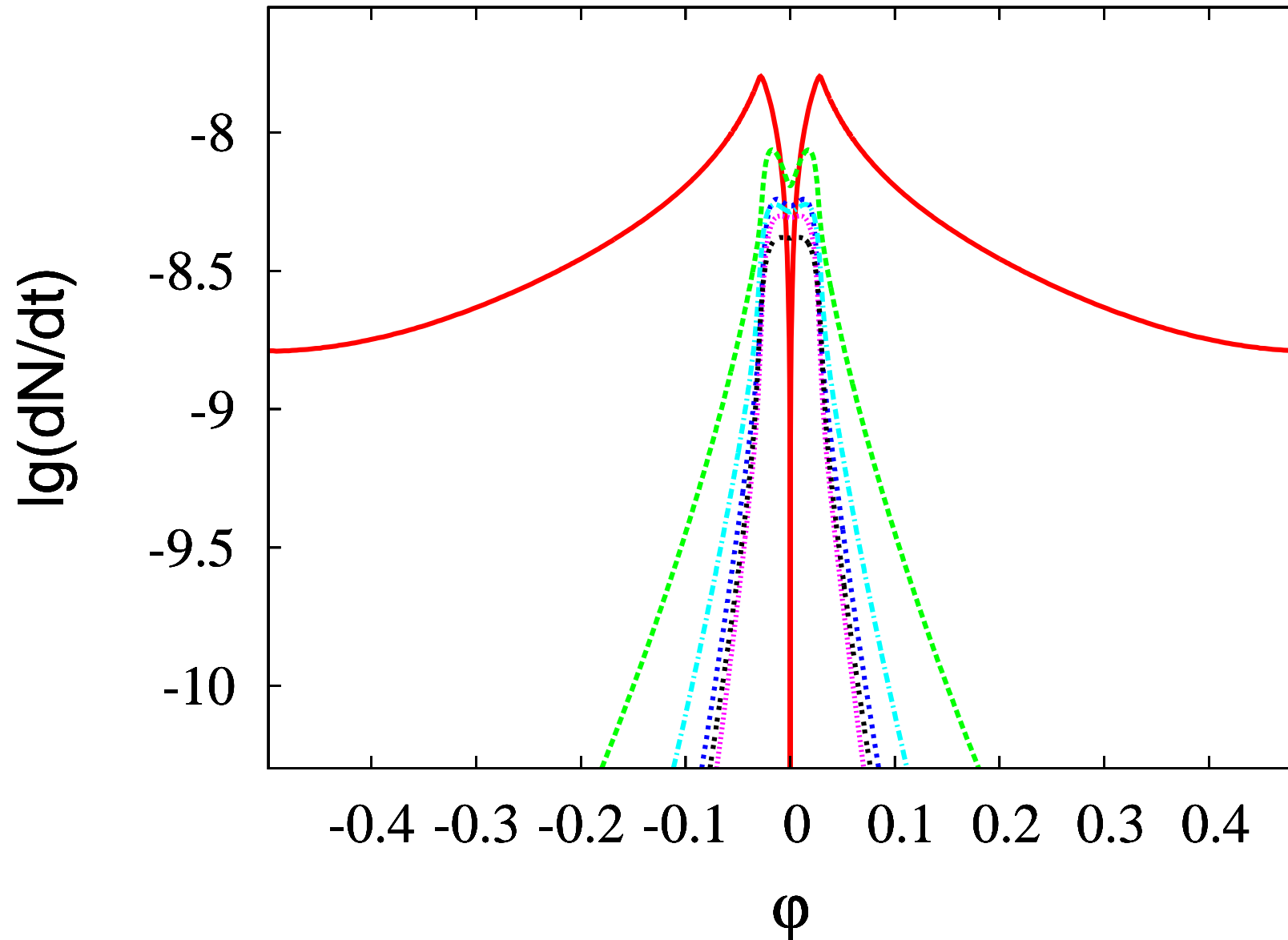
Энергия фотонов равна 100 кэВ.



То же, что на рис.5

$B = 0.2, P = 0.5, \chi = 10^\circ, k = 0.15, \Delta = 0.1, \gamma = \pi, d = 0.71, \alpha_b = \frac{1}{2}, \beta = \pi$

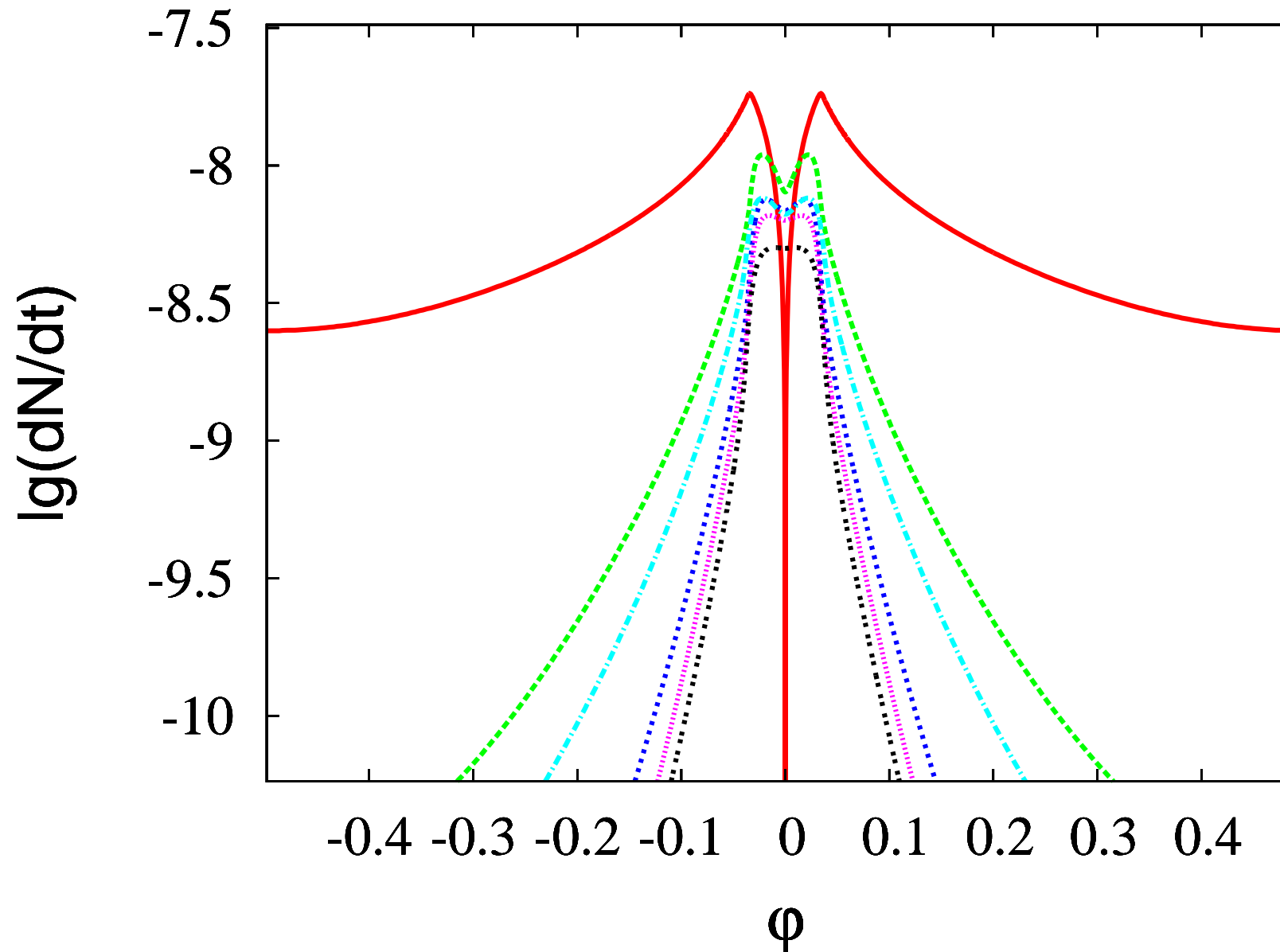
Энергия фотонов равна 100 кэВ.



То же, что на рис.5

$B = 0.2, P = 0.5, \chi = 10^\circ, k = 0.15, \Delta = 0.1, \gamma = \pi, d = 1.0$

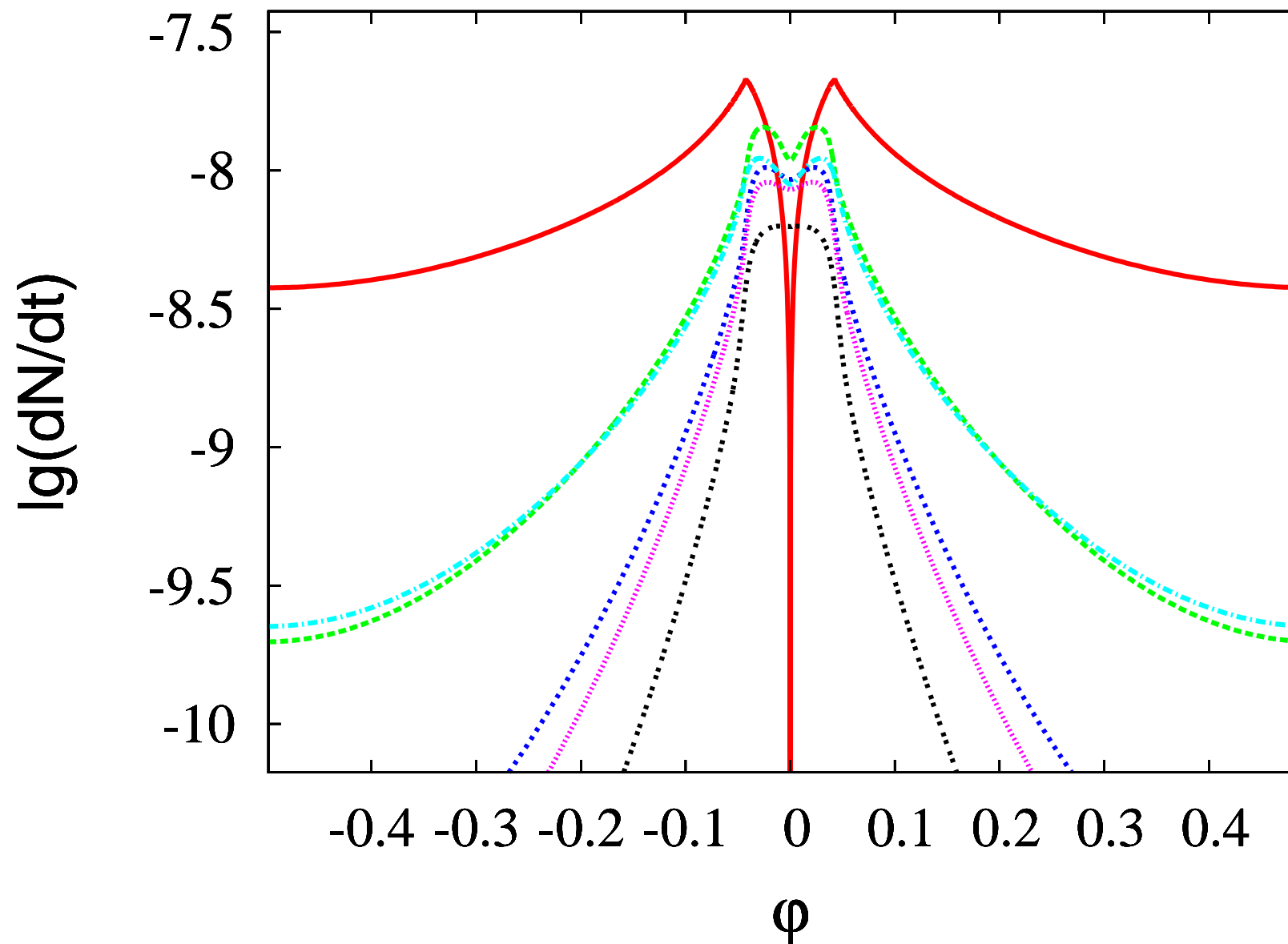
Энергия фотонов равна 100 кэВ.



То же, что на рис.5

$B = 0.2, P = 0.5, \chi = 10^\circ, k = 0.15, \Delta = 0.1, \gamma = \pi, d = 1.22, \alpha_b = \frac{1}{2}, \beta = 0$

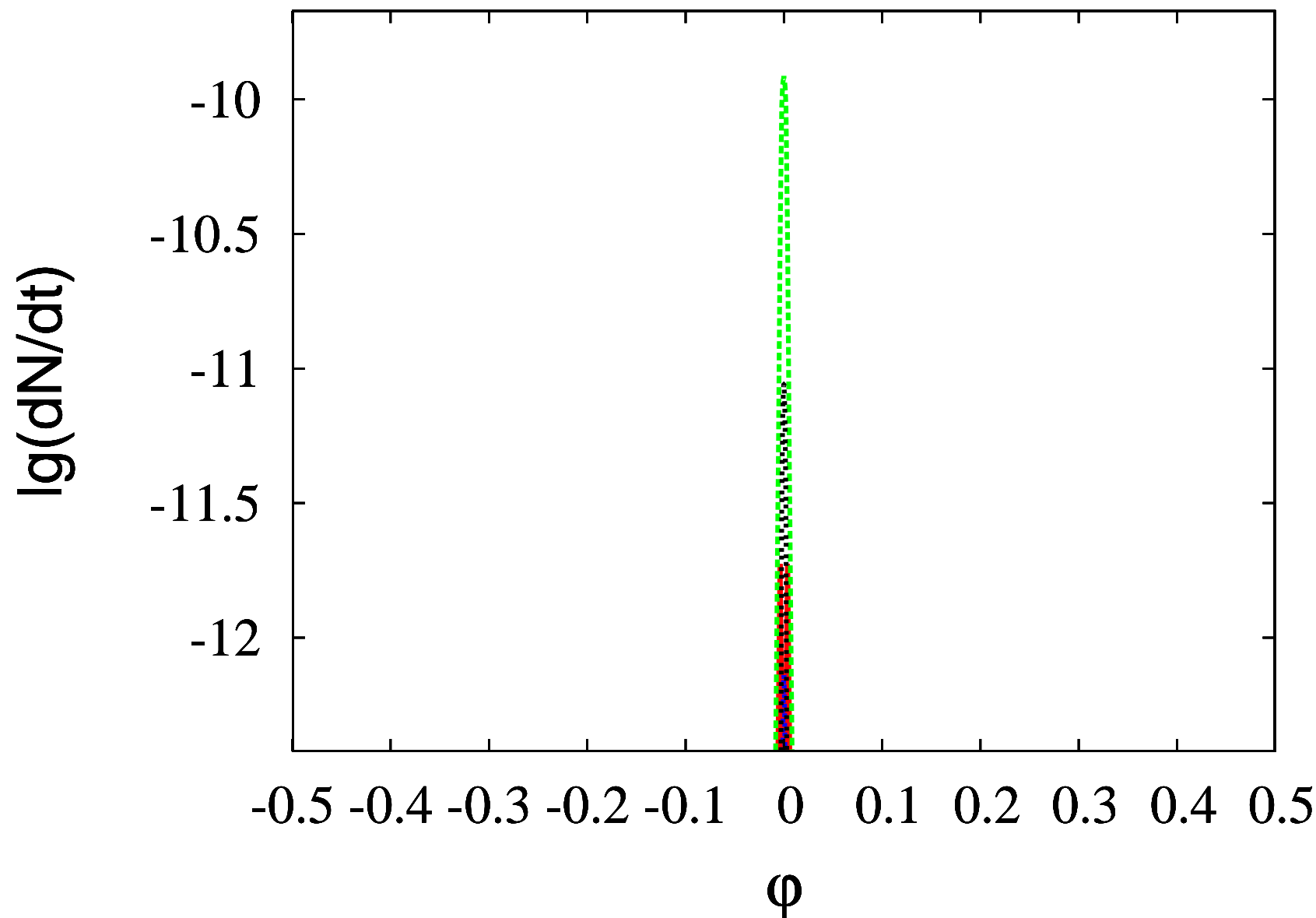
Энергия фотонов равна 100 кэВ.



То же, что на рис.5

$B = 0.2, P = 0.5, \chi = 10^\circ, k = 0.15, \Delta = 0.1, \gamma = \pi, d = 1.5$

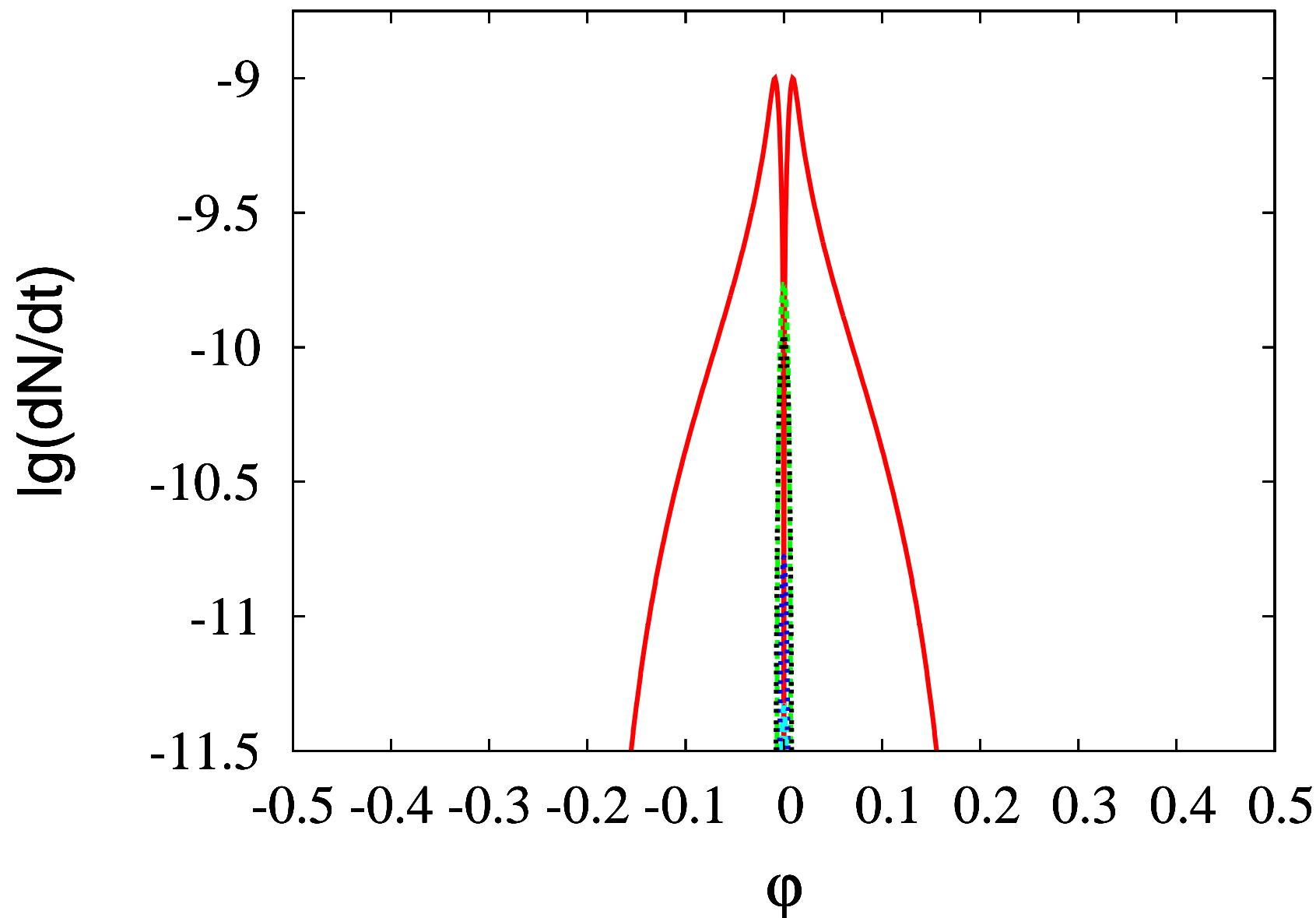
Энергия фотонов равна 100 кэВ.



То же, что на рис.5

$B = 0.2, P = 0.5, \chi = 10^\circ, k = 0.15, \Delta = 0.1, \gamma = \pi, d = 0.2$

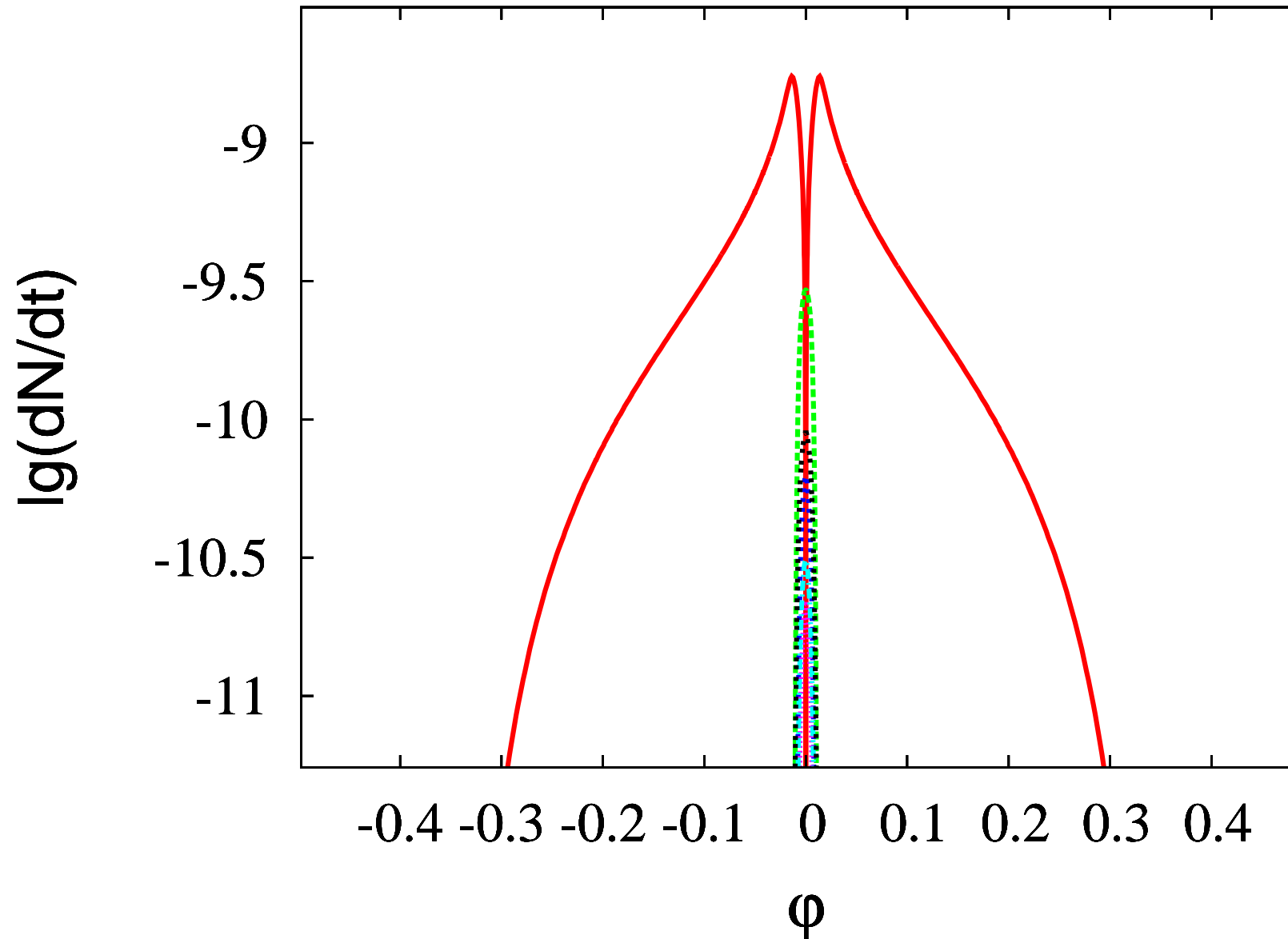
Энергия фотонов равна 1 МэВ.



То же, что на рис.5

$B = 0.2, P = 0.5, \chi = 10^\circ, k = 0.15, \Delta = 0.1, \gamma = \pi, d = 0.363, \frac{\Omega b}{c} = \frac{1}{3}$

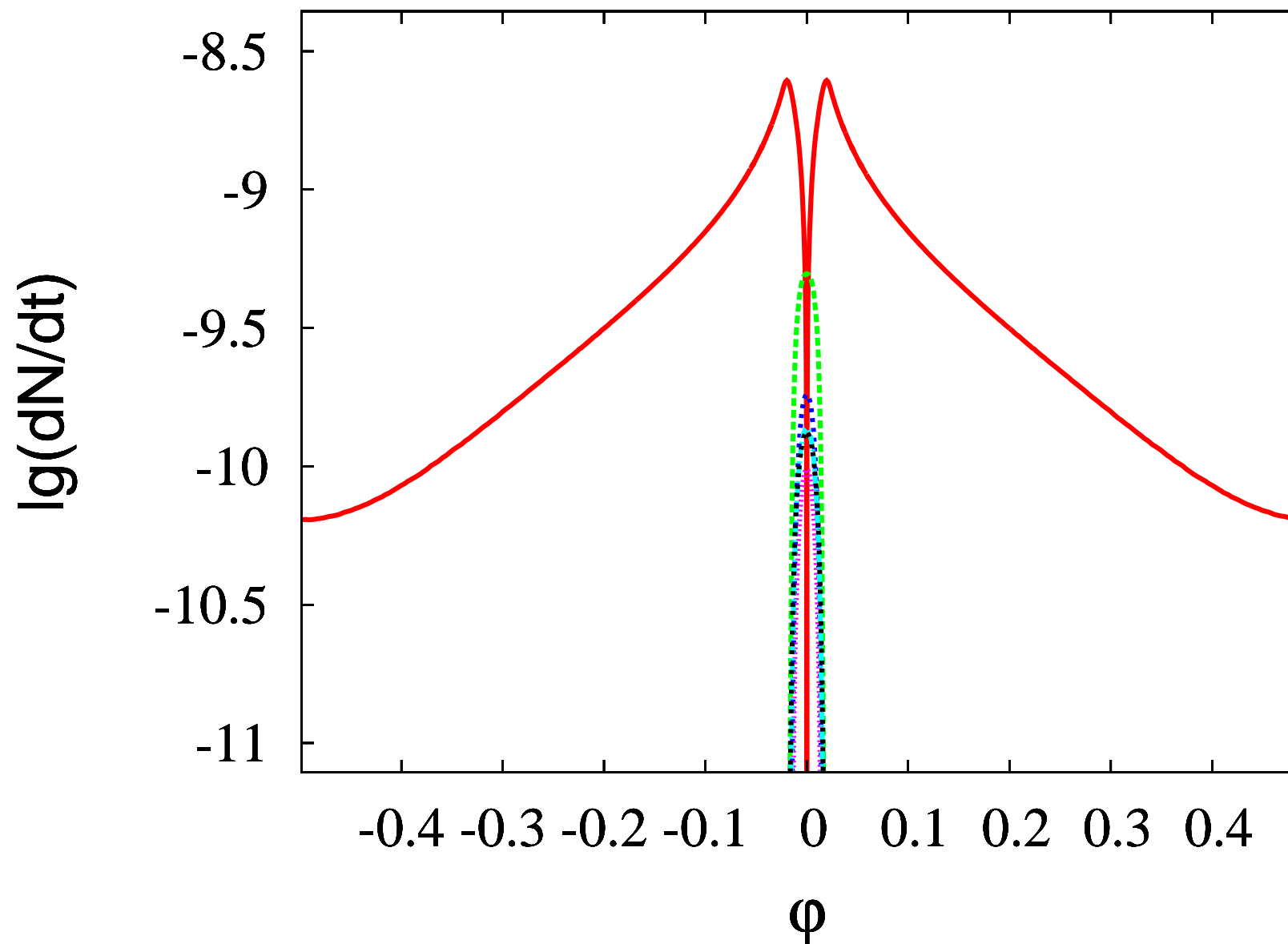
Энергия фотонов равна 1 МэВ.



То же, что на рис.5

$B = 0.2, P = 0.5, \chi = 10^\circ, k = 0.15, \Delta = 0.1, \gamma = \pi, d = 0.5$

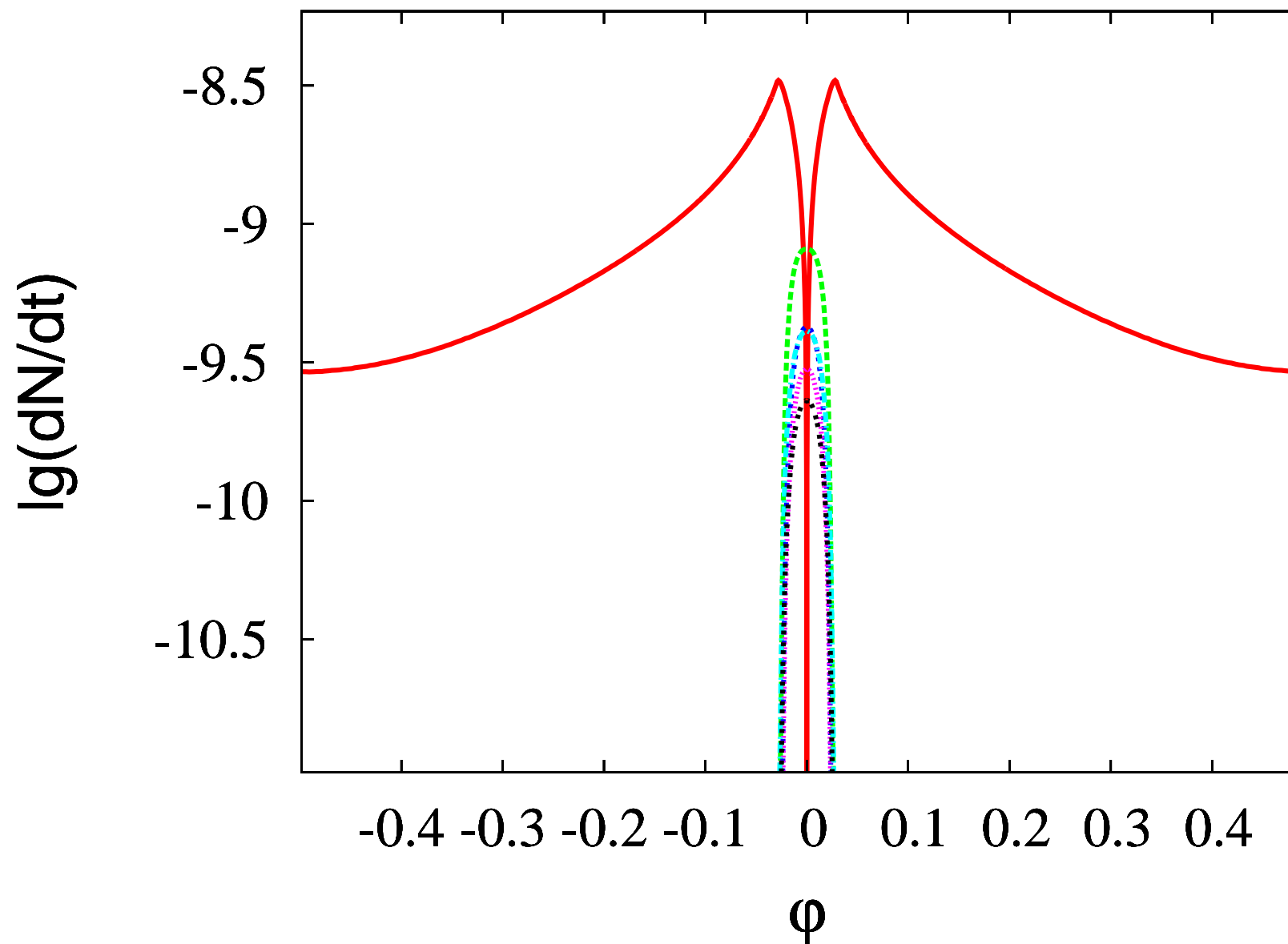
Энергия фотонов равна 1 МэВ.



То же, что на рис.5

$B = 0.2, P = 0.5, \chi = 10^\circ, k = 0.15, \Delta = 0.1, \gamma = \pi, d = 0.71, \alpha_b = \frac{1}{2}, \beta = \pi$

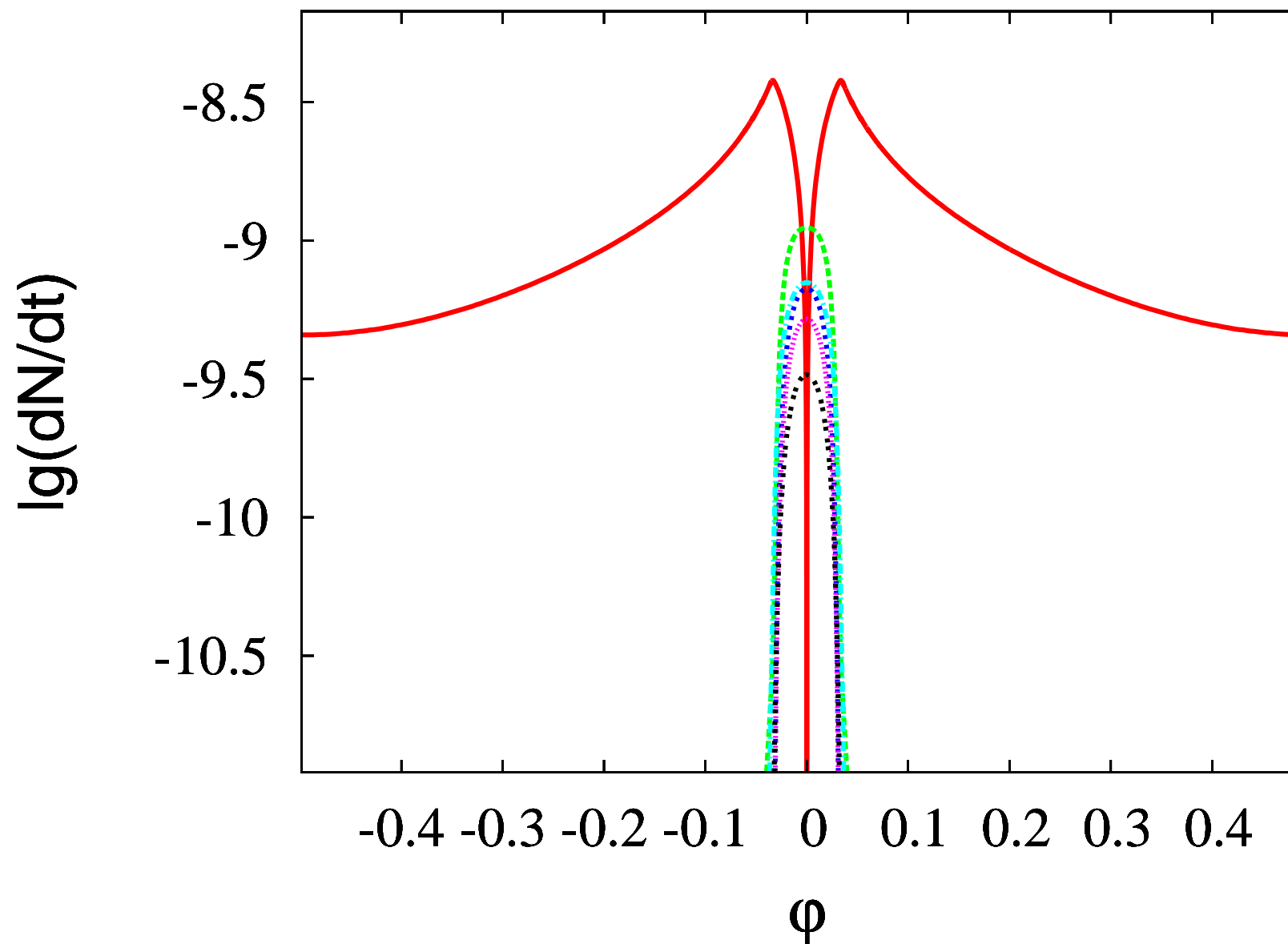
Энергия фотонов равна 1 МэВ.



То же, что на рис.5

$B = 0.2, P = 0.5, \chi = 10^\circ, k = 0.15, \Delta = 0.1, \gamma = \pi, d = 1.0$

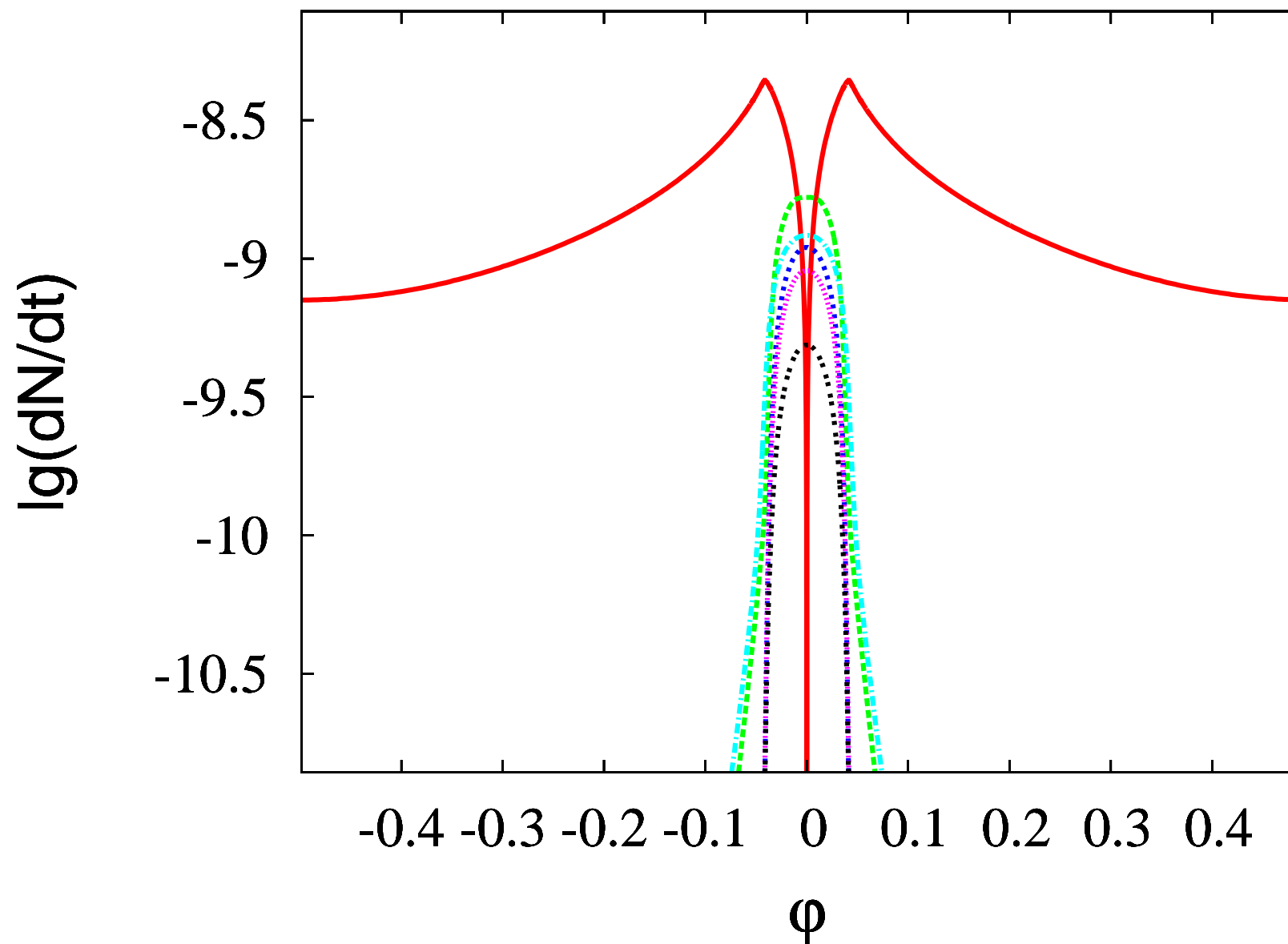
Энергия фотонов равна 1 МэВ.



То же, что на рис.5

$B = 0.2, P = 0.5, \chi = 10^\circ, k = 0.15, \Delta = 0.1, \gamma = \pi, d = 1.22, \alpha_b = \frac{1}{2}, \beta = 0$

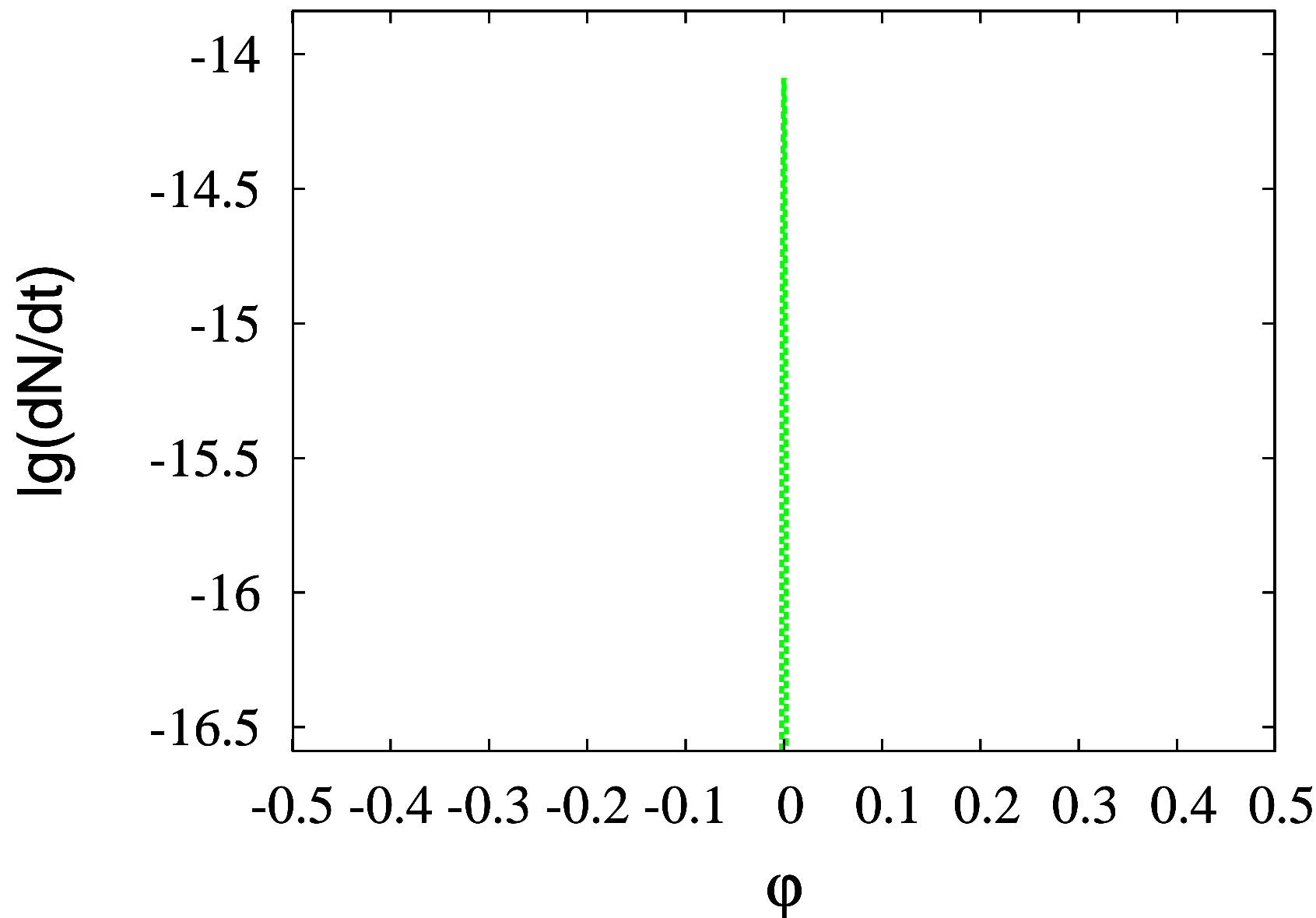
Энергия фотонов равна 1 МэВ.



То же, что на рис.5

$B = 0.2, P = 0.5, \chi = 10^\circ, k = 0.15, \Delta = 0.1, \gamma = \pi, d = 1.5$

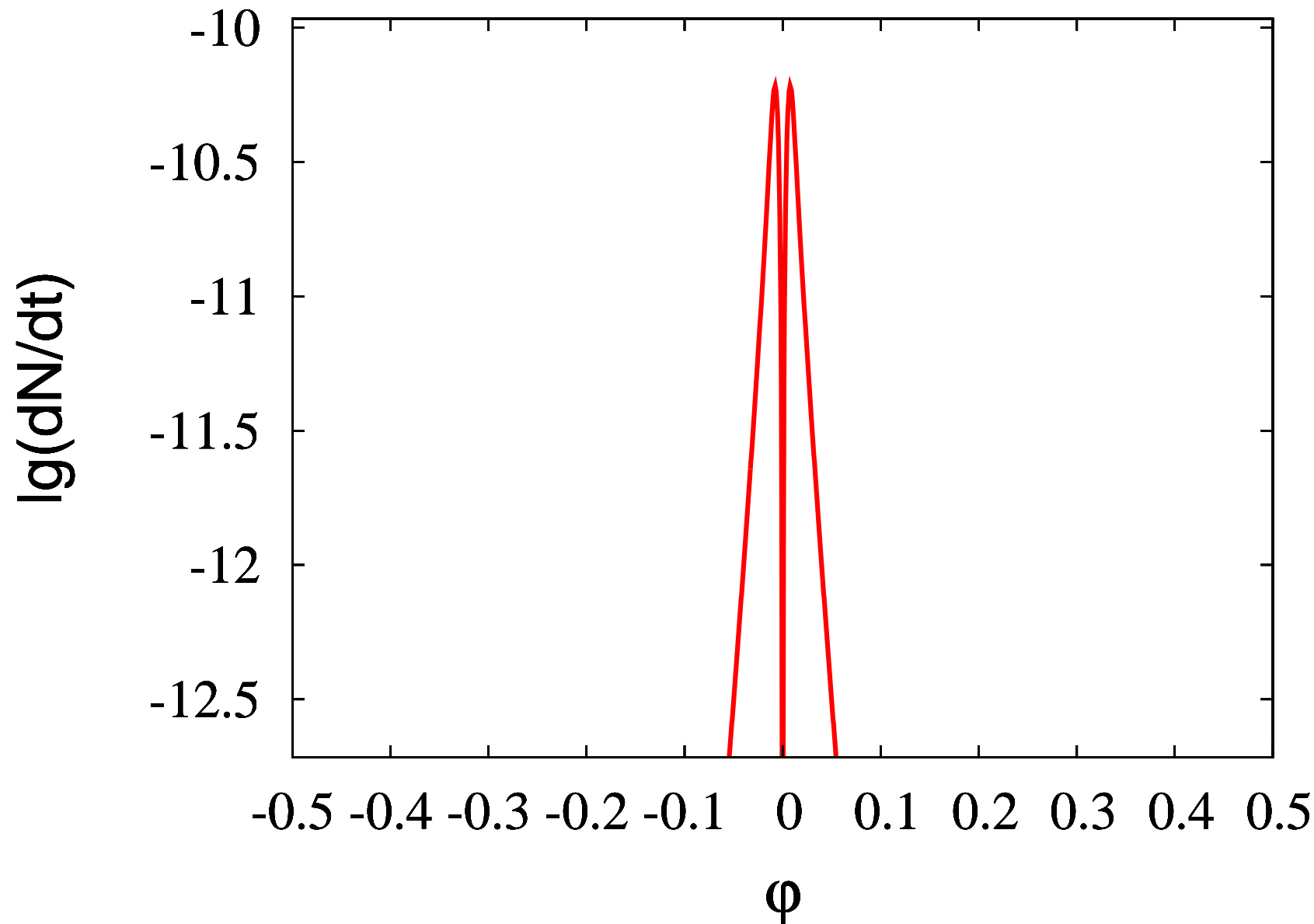
Энергия фотонов равна 1 МэВ.



То же, что на рис.5

$B = 0.2, P = 0.5, \chi = 10^\circ, k = 0.15, \Delta = 0.1, \gamma = \pi, d = 0.2$

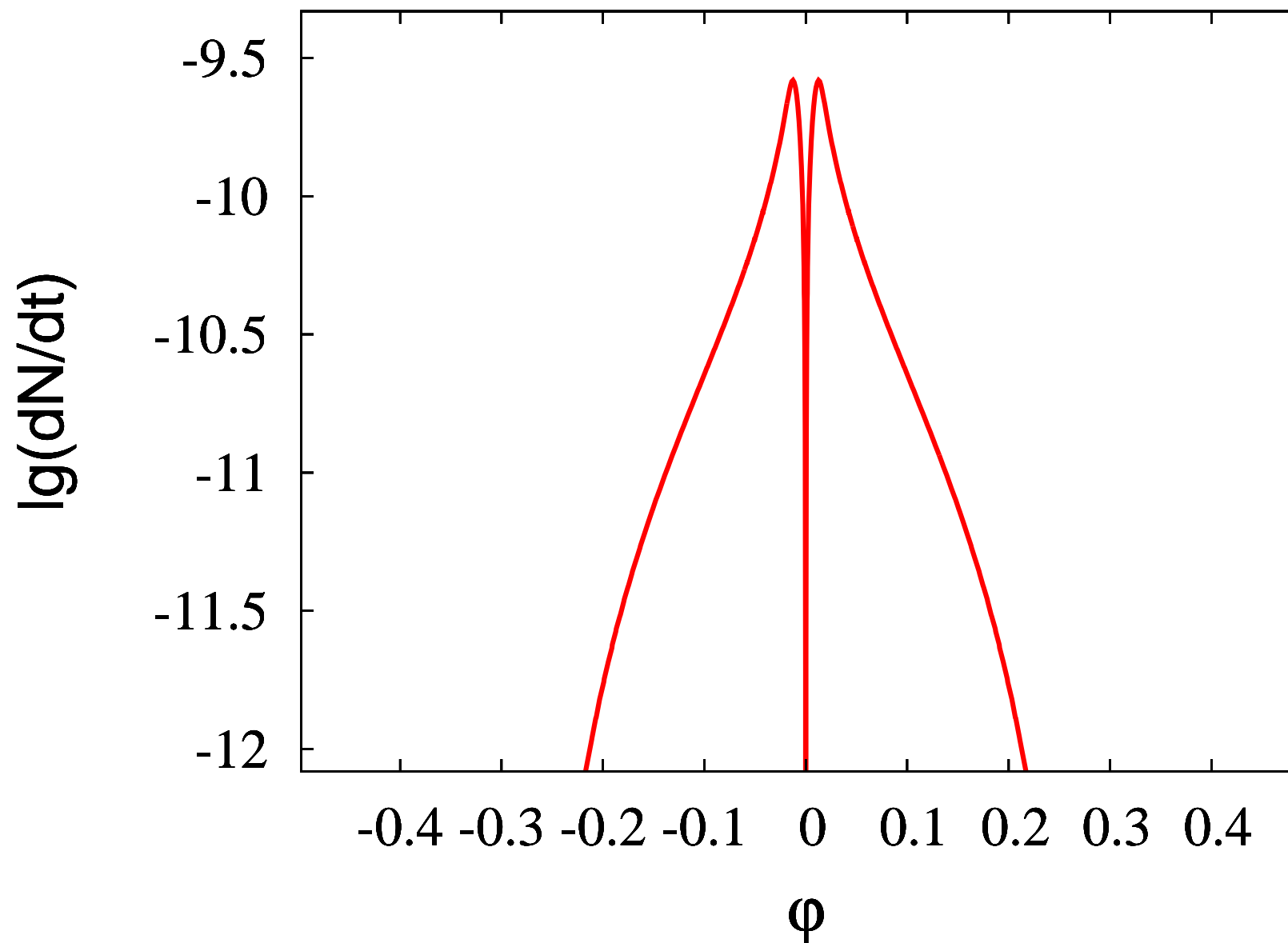
Энергия фотонов равна 10 МэВ.



То же, что на рис.5

$B = 0.2, P = 0.5, \chi = 10^\circ, k = 0.15, \Delta = 0.1, \gamma = \pi, d = 0.363, \frac{\Omega b}{c} = \frac{1}{3}$

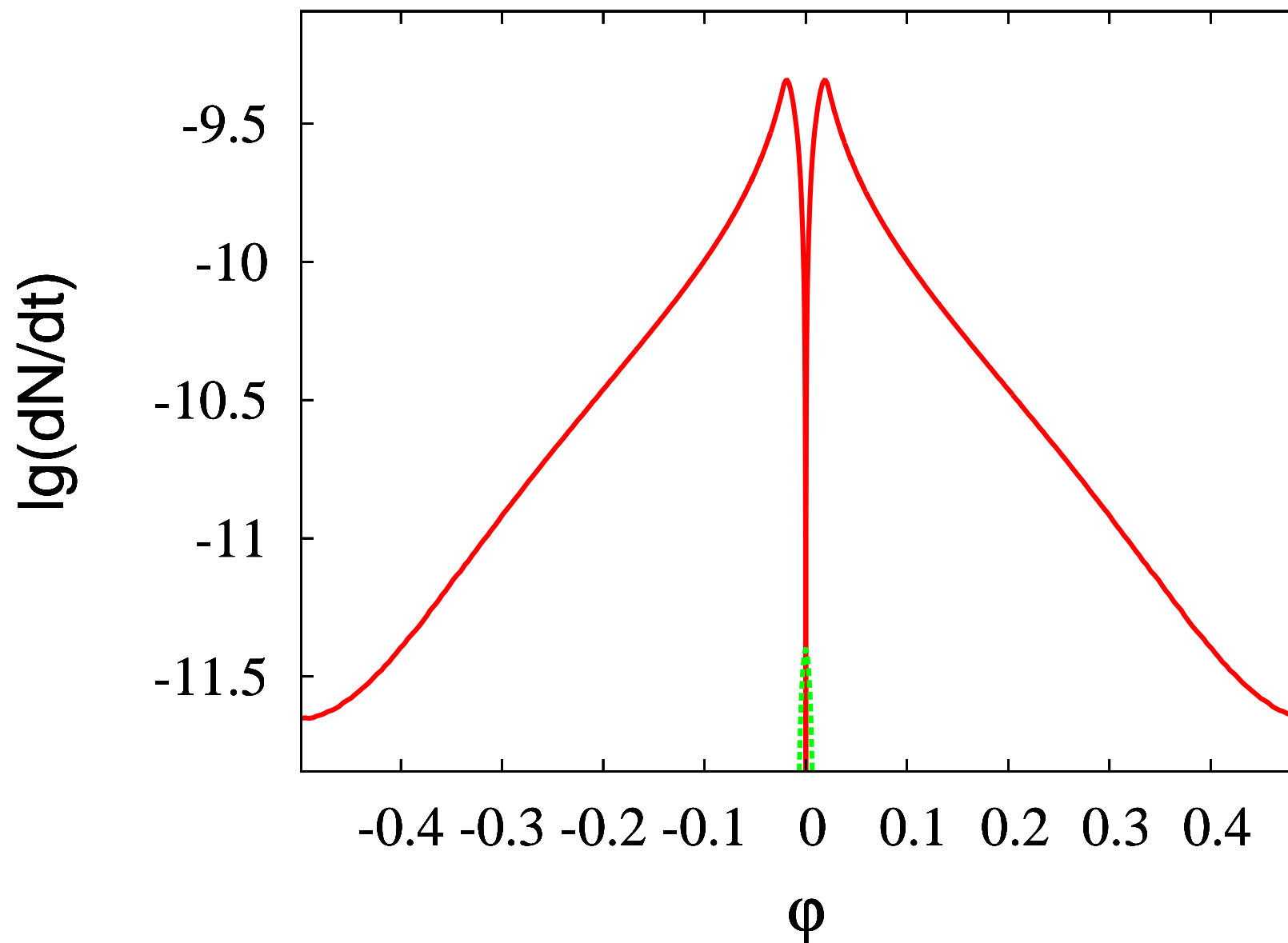
Энергия фотонов равна 10 МэВ.



То же, что на рис.5

$B = 0.2, P = 0.5, \chi = 10^\circ, k = 0.15, \Delta = 0.1, \gamma = \pi, d = 0.5$

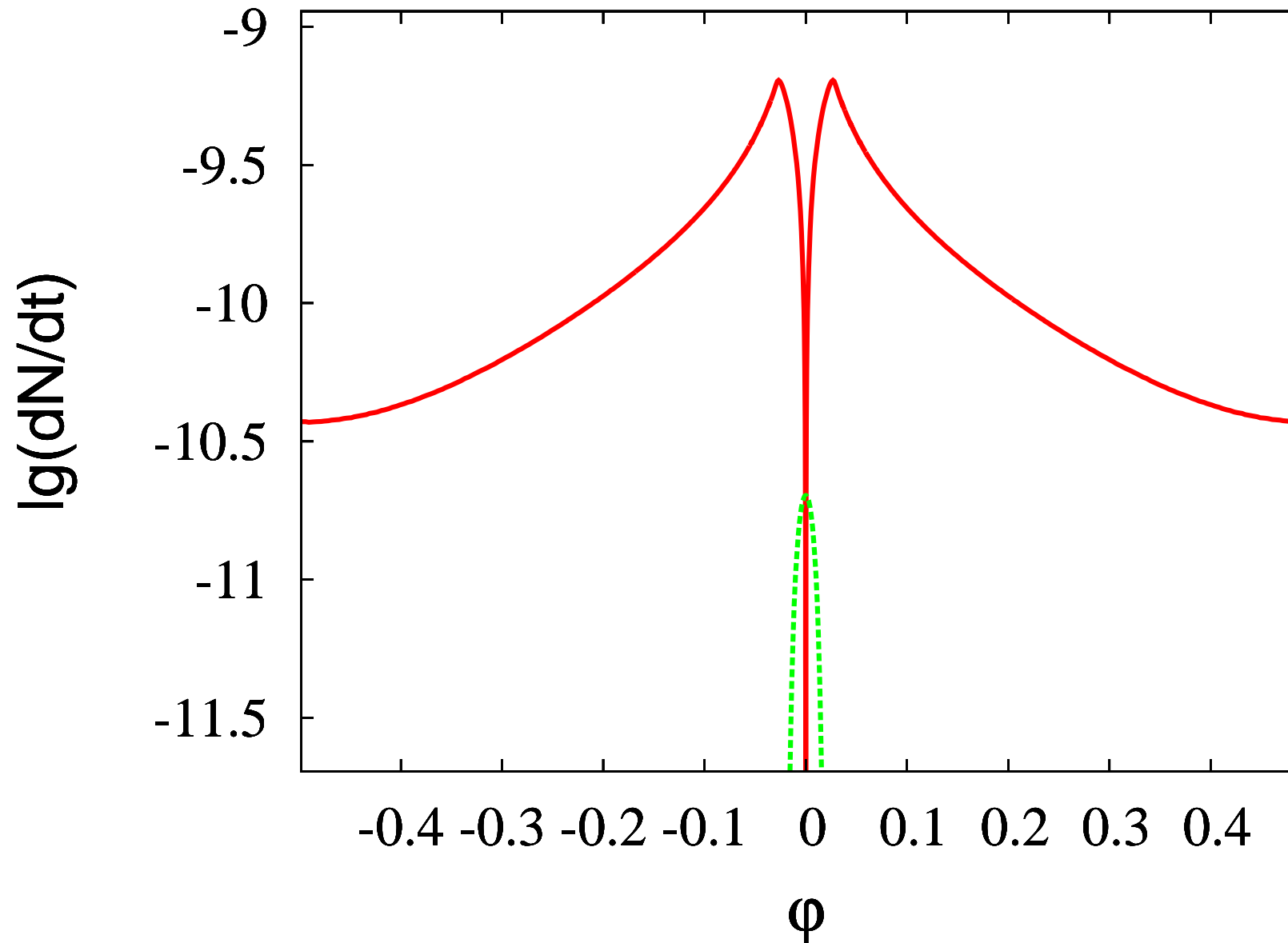
Энергия фотонов равна 10 МэВ.



То же, что на рис.5

$B = 0.2, P = 0.5, \chi = 10^\circ, k = 0.15, \Delta = 0.1, \gamma = \pi, d = 0.71, \alpha_b = \frac{1}{2}, \beta = \pi$

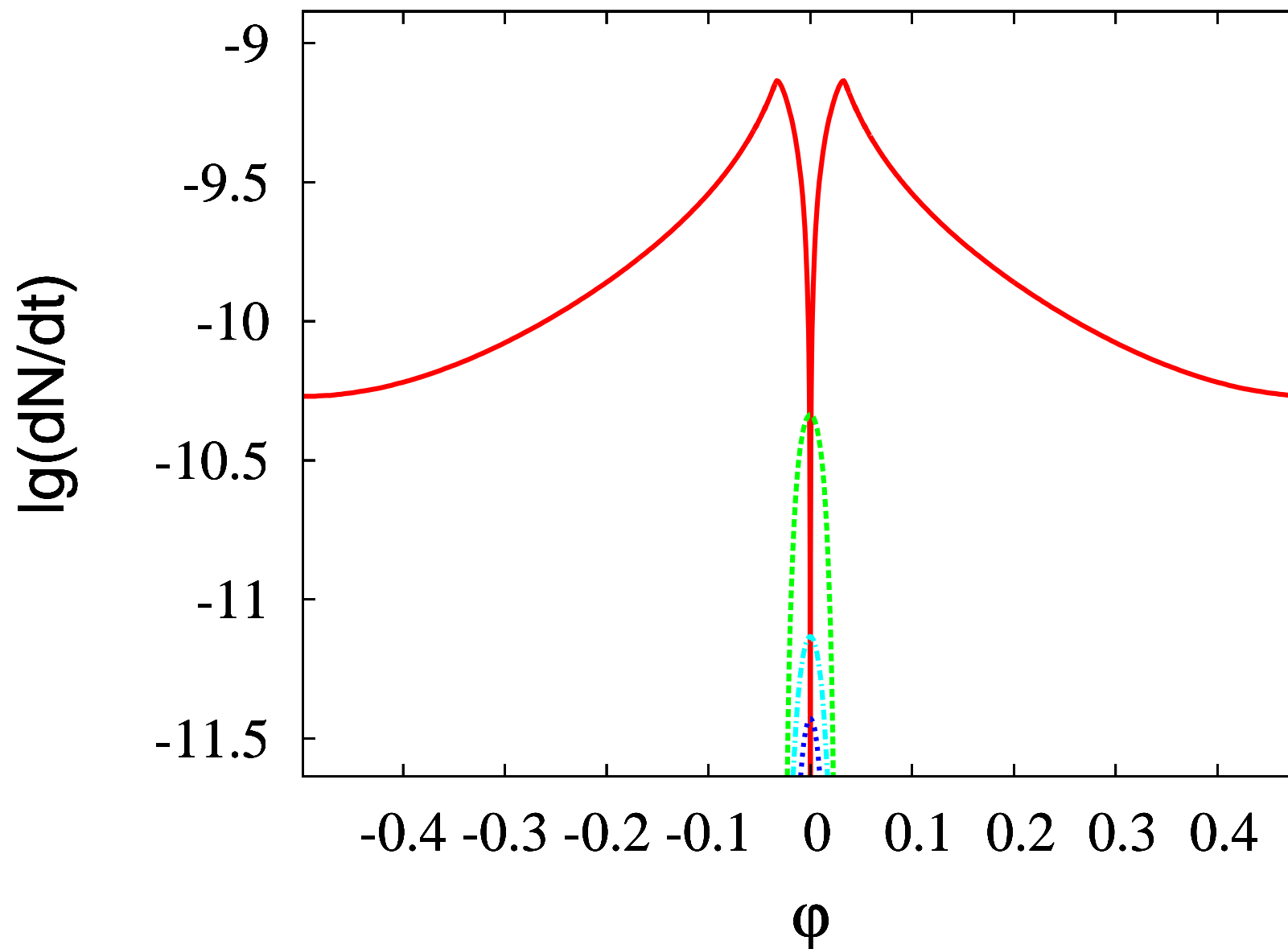
Энергия фотонов равна 10 МэВ.



То же, что на рис.5

$B = 0.2, P = 0.5, \chi = 10^\circ, k = 0.15, \Delta = 0.1, \gamma = \pi, d = 1.0$

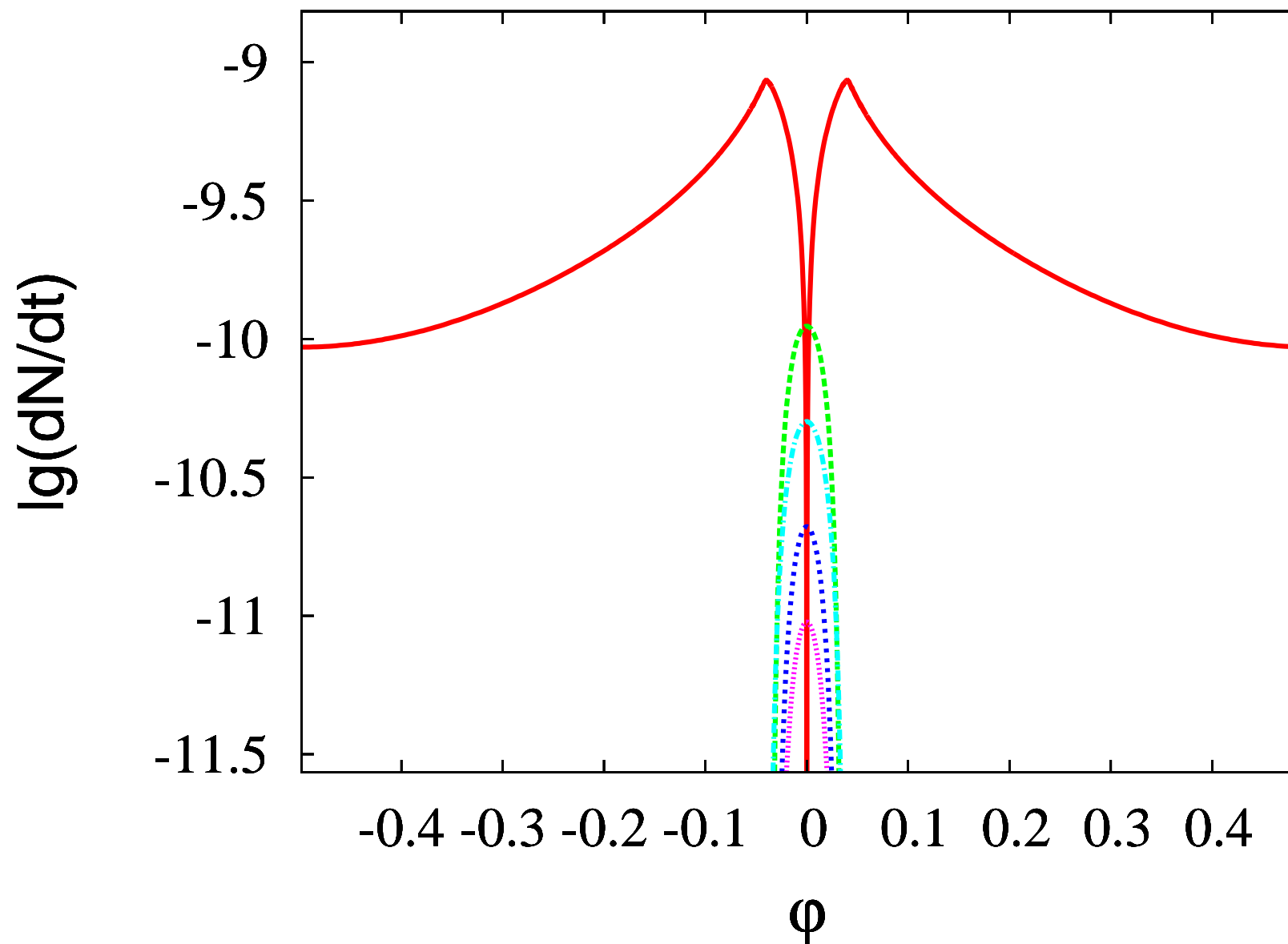
Энергия фотонов равна 10 МэВ.



То же, что на рис.5

$B = 0.2, P = 0.5, \chi = 10^\circ, k = 0.15, \Delta = 0.1, \gamma = \pi, d = 1.22, \alpha_b = \frac{1}{2}, \beta = 0$

Энергия фотонов равна 10 МэВ.

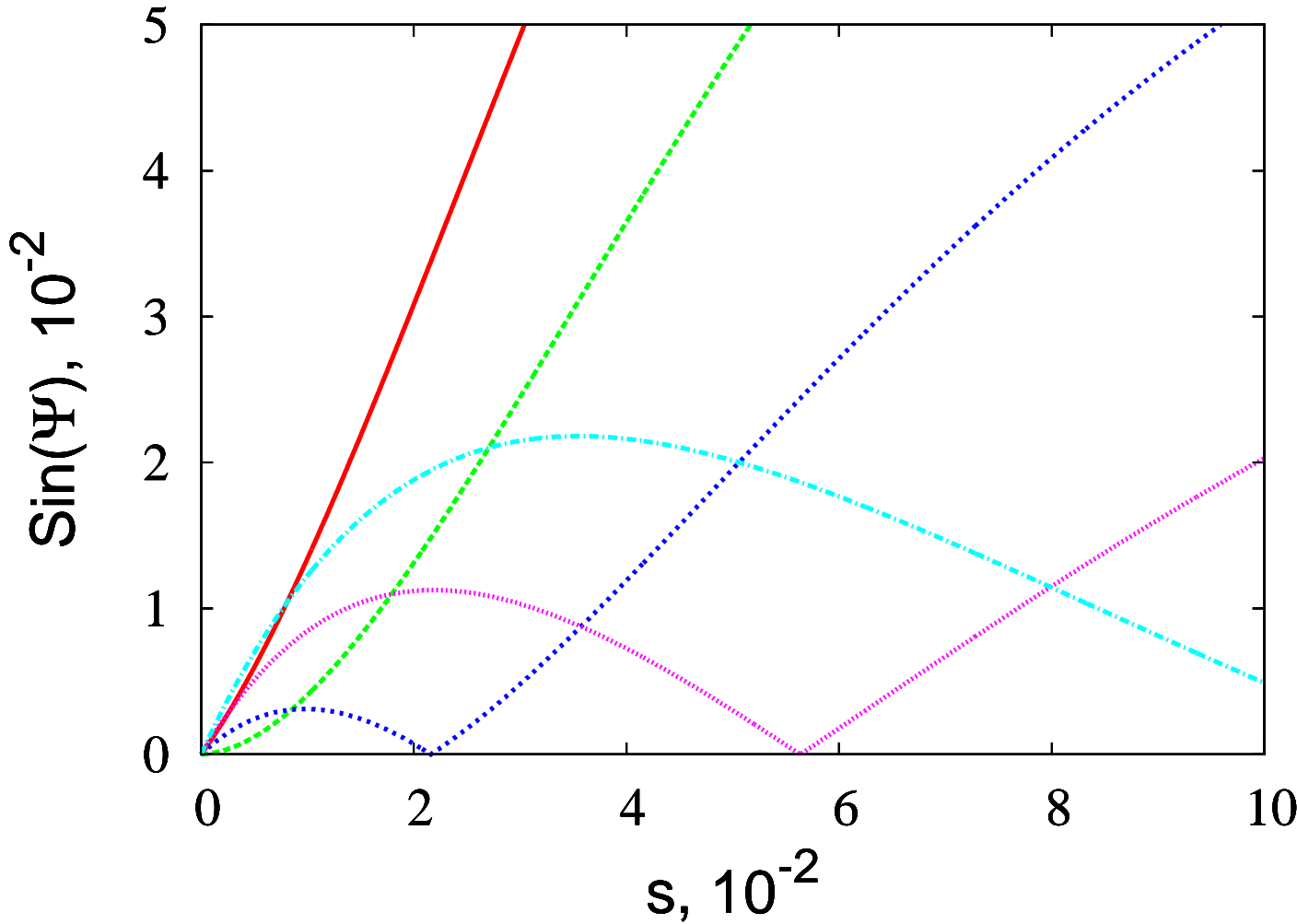


То же, что на рис.5

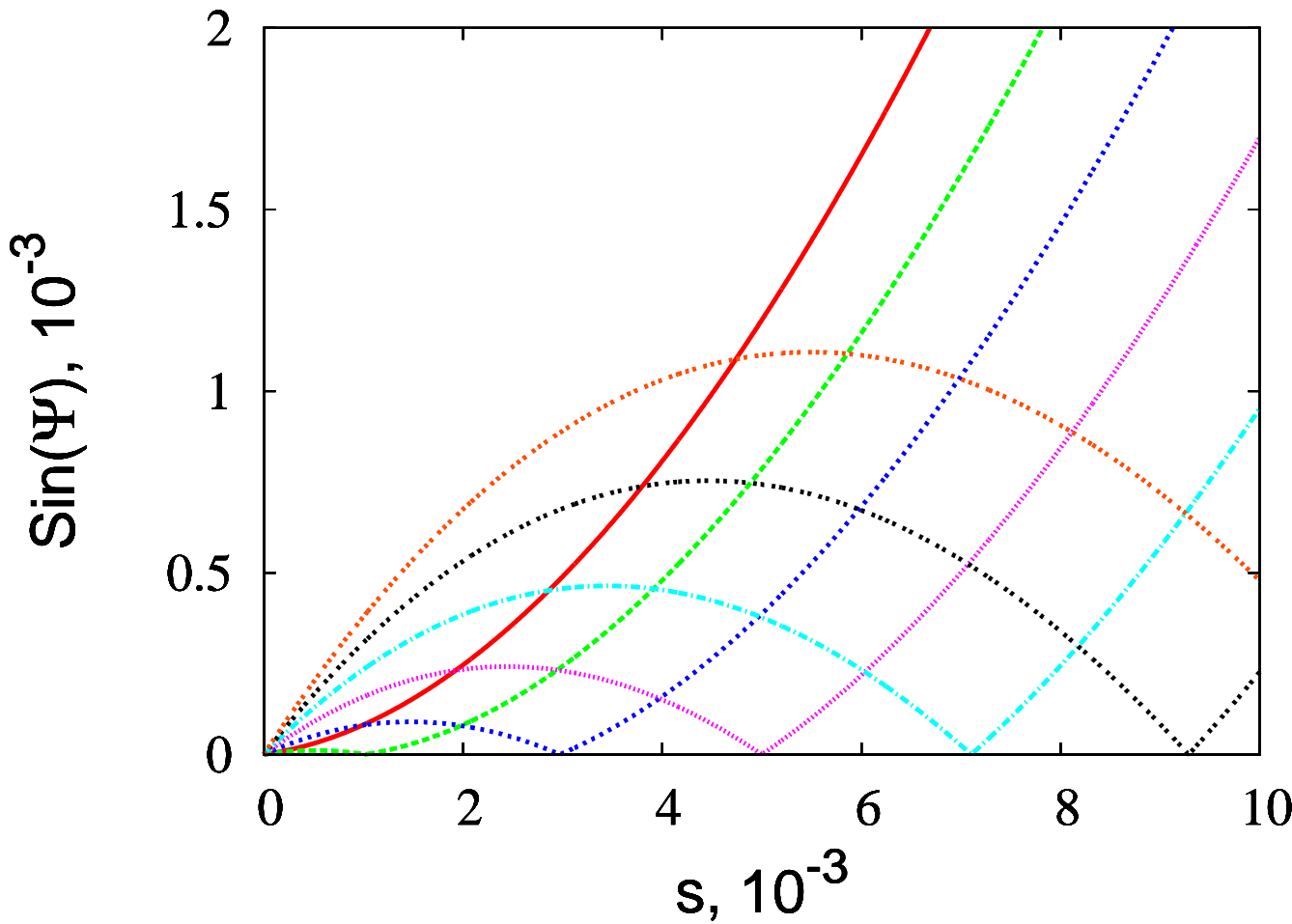
$B = 0.2, P = 0.5, \chi = 10^\circ, k = 0.15, \Delta = 0.1, \gamma = \pi, d = 1.5$

Энергия фотонов равна 10 МэВ.

Угол между импульсом фотона и магнитным полем



На рисунке показана зависимость угла между импульсом фотона и направлением магнитного поля от пройденного фотоном пути. Фотон стартует из точки $(z = 10^{-2}, \theta, \phi = 0)$.
Сплошная (красная) кривая соответствует точке старта с $\theta = 3 \cdot 10^{-2}$, штриховая с длинным штрихом (зеленая) – $\theta = 4 \cdot 10^{-2}$, штриховая с коротким штрихом (синяя) – $\theta = 5 \cdot 10^{-2}$, пунктирная (фиолетовая) – $\theta = 6 \cdot 10^{-2}$, штрих-пунктирная (сине-зеленая) – $\theta = 7 \cdot 10^{-2}$.
Параметры магнитного поля $B = 0.2$, $\nu = 0.6$, $\Delta = 0.1$
Длина пройденного фотоном пути измеряется в радиусах нейтронной звезды.



На рисунке показана зависимость угла между импульсом фотона и направлением магнитного поля от пройденного фотоном пути. Фотон стартует из точки ($z = 10^{-2}$, $\theta, \phi = 0$). Сплошная (красная) кривая соответствует точке старта с $\theta = 4.0 \cdot 10^{-2}$, штриховая с длинным штрихом (зеленая)— $\theta = 4.1 \cdot 10^{-2}$, штриховая с коротким штрихом (синяя)— $\theta = 4.2 \cdot 10^{-2}$, пунктирная (фиолетовая)— $\theta = 4.3 \cdot 10^{-2}$, штрих-пунктирная (сине-зеленая)— $\theta = 4.4 \cdot 10^{-2}$, пунктирная со сдвоенным штрихом (черная)— $\theta = 4.5 \cdot 10^{-2}$, пунктирная со строенным штрихом (красная)— $\theta = 4.6 \cdot 10^{-2}$.

Параметры магнитного поля $B = 0.2$, $\nu = 0.6$, $\Delta = 0.1$

Длина пройденного фотоном пути измеряется в радиусах нейтронной звезды.

Результаты

Рассмотрено влияние радиуса пульсарной трубы открытых силовых линий магнитного поля на изгибное гамма-излучение полярных областей радиопульсара с недипольным магнитным полем.

Показано, что наличие небольшой недипольности позволит радиопульсару не выключаться даже при значительном уменьшении радиуса пульсарной трубы. Например пульсар с $B = 10^{13}$ Гс и $P = 0.5$ сек при наличии 20% ($\nu = 0.2$) недипольности будет продолжать работать даже при уменьшении радиуса пульсарной трубы в 5 раз. Также показано, что в зависимости электростатического потенциала в диоде от параметра недипольности ν может наблюдаться максимум при значениях $\nu = 0.5 - 0.7$.

Показано, что профиль импульса в нетеплового рентгеновского излучения при $\nu = 0.5 - 0.7$ может выглядеть практически также, как при $\nu = 0.1 - 0.2$.

Авторы благодарят В.Д.Пальшина и А.И.Чугунова за помощь в численном счете, Е.М. Кантор, М.Е.Гусакова, М.В.Уланова и Ю.А.Шибанова за поддержку и ценные замечания, А.Н.Тимохина за поддержку.

Работа поддержана программой "Ведущие научные школы РФ"(грант НШ-9879.2006.2).

Список литературы

- [1] A.N.Timokhin, MNRAS, V.368, p.1055 (2006)
- [2] J.J.Aly, Astron. Astrophys., V.86, p.192 (1980)
- [3] A.I.Tsygan, MNRAS, V.292, p.317 (1997)
- [4] A.N.Timokhin, astro-ph/0607165 v2 (2006)
- [5] Бескин В.С. "Оссесимметричные стационарные течения в астрофизике", М. Физматлит 2006
- [6] В.Д.Пальшин, А.И.Цыган "Рентгеновское излучение полярных областей радиопульсаров. Недипольное поле." Препринт Физ.-тех. ин-та им. А.Ф.Иоффе №1718 (С.-Петербург, 1998)
- [7] A.Bardou, J.Heyvaerts, Astron. Astrophys., V.307, p.1009 (1996)
- [8] A.Bardou, MNRAS, V.306, p.669 (1999)
- [9] Е.М.Кантор, А.И.Цыган, Астрон. журн., т.80, с.665 (2003)
- [10] Д.П.Барсуков, Е.М.Кантор, А.И.Цыган, Астрон. журн., т.83, с.184 (2006)